

Dipl.-Phys. Gerd W. Krämer

Richard-Wagner-Str.16
D-69181 Leimen
Germany
Phone: 06224-925326
Fax+Hdy: 0177-4238152
E-Mail: cybarnetic@automatic-
programming.com
29. Oct. 2000

United States Patent and Trademark Office
- Commissioner of Patents and Trademarks -

Washington D.C. 20231 USA

Patent Application

Dear Commissioner of Patents and Trademarks,

I've developed a method creating a simple kind of artificial consciousness. The economic relevant effect is, that this method has the capability to develop requirement-satisfying software subroutines automatically.

I am a single independent inventor and claim the **small entity** fees described in the Title 37 Code of Federal Regulations § 1.27c (final regulations 8.Sept.2000).

I also claim **foreign priority** (Title 35 U.S.C. § 119 and Title 37 C.F.R. § 1.55): It was the 2nd November 1999, when I announced the patent to the german Patent- and Trademark-Office (DPMA). A copy of the Bibliography-Certification lies nearby. A publication before the 2nd November 1999 does not exist. The patent is not published until now in Germany because the examination is not finished. Therefore a German patent number does not exist yet - only the application number specified by "*Foreign Application One:*" in the enclosed application data sheet. The following data are not part of your Data Entry Format, so I offer them here:

IPC-Main-Class: G06F009/44
IPC-Accessory-Class: G06F015/18
German Applicator's Number: 10857796

Overview of the enclosed Forms and Application:

- Utility-Patent Application Form (PTO/SB/05)
- Fee Transmittal Form (PTO/SB/17)
- Application Data Sheet (as described in "Guide for Preparing Bibliographic Data for Electronic Capture")
- Original Entry-Acknowledgement of the german PTO (=DPMA) [for proving the priority date]
- Copy of the Bibliographic Data Sheet from the german PTO (=DPMA)
- Patent-Description incl. Drawings: 51 pages. [translated myself]
- Declaration for Patent Application (PTO/SB/103 - 3 pages)
- German version of the application: 36 pages [+1 page correction-history]

...

In the southern german federal states the 1st November is a holiday (I live near Heidelberg in Baden-Wuerttemberg and the german PTO (=DPMA) is in Munich in Bavaria) - so I have no chance to order, receive and send to you a by the german PTO (=DPMA) **certified** copy of the first original application before the end of the priority year (2nd Nov.). An agent of your office told me that it doesn't matter and that I could send to you the DPMA-certified copy later.

I'll order it from the DPMA and send it to you with the information disclosure statement.

When I look at the published US-patents there are many references shown. I cannot offer you references, because my inventory is a totally new way to use a computer:

The system itself learns programming in machine-code - world-wide I've not found any similar invention in the public patent-databases.

I don't exactly know how to pay the basic fee because I don't have an US-applicant's number yet and I don't know to which account I should transfer the money. If it's possible for you, I allow you to take the \$ 354 from my account 2213818 at the "Badische Beamtenbank" BLZ 66090800 - if this is not possible, please write me, to which bank account with which reference-number I should transfer the money to.

On your form-overview-site "<http://www.uspto.gov/web/forms/index.html>" a PTO/SB/35 "Nonpublication Request" in reference to 35 U.S.C. 122(b)(2)(B)(i) is announced.

In the version from the 1st Feb. 2000 of the Title 35 United States Code (Patent law) downloaded from the website "<http://www.uspto.gov/web/offices/pac/mpep/mpep.htm>" I cannot find a (b)(2)(B)(i) in the short § 122 ?!

If possible, it would be nice if you could wait with the examination until the examination at the german Patent- and Trademark-Office (=DPMA) is finished.


With friendly greetings



Gerd Krämer

Enclosures like described above

send per UPS-Express-Envelope and transmitted per Facsimile (If I'd receive an acknowledgement before the end of the 2nd November I'd not send it additional per facsimile)

Please type a plus sign (+) inside this box → 

Approved for use through 09/30/2000. OMB 0651-0032
Patent and Trademark Office: U.S. DEPARTMENT OF COMMERCE

Under the Paperwork Reduction Act of 1995, no persons are required to respond to a collection of information unless it displays a valid OMB control number.

UTILITY PATENT APPLICATION TRANSMITTAL <small>(Only for new nonprovisional applications under 37 C.F.R. § 1.53(b))</small>	Attorney Docket No.	
	First Inventor or Application Identifier	Gerd Krämer
	Title	(Automatic Programming)
	Express Mail Label No.	

APPLICATION ELEMENTS <small>See MPEP chapter 600 concerning utility patent application contents.</small>	ADDRESS TO: Assistant Commissioner for Patents Box Patent Application Washington, DC 20231
1. <input checked="" type="checkbox"/> * Fee Transmittal Form (e.g., PTO/SB/17) <small>(Submit an original and a duplicate for fee processing)</small>	5. <input type="checkbox"/> Microfiche Computer Program (Appendix)
2. <input checked="" type="checkbox"/> Specification [Total Pages 32] <small>(preferred arrangement set forth below)</small> <ul style="list-style-type: none">- Descriptive title of the invention- Cross References to Related Applications- Statement Regarding Fed sponsored R & D- Reference to Microfiche Appendix- Background of the invention- Brief Summary of the invention- Brief Description of the Drawings (if filed)- Detailed Description- Claim(s)- Abstract of the Disclosure	6. Nucleotide and/or Amino Acid Sequence Submission <small>(if applicable, all necessary)</small> <ul style="list-style-type: none">a. <input type="checkbox"/> Computer Readable Copyb. <input type="checkbox"/> Paper Copy (identical to computer copy)c. <input type="checkbox"/> Statement verifying identity of above copies
3. <input checked="" type="checkbox"/> Drawing(s) (35 U.S.C. 113) [Total Sheets 19]	ACCOMPANYING APPLICATION PARTS
4. Oath or Declaration [Total Pages 3] <ul style="list-style-type: none">a. <input checked="" type="checkbox"/> Newly executed (original or copy)b. <input type="checkbox"/> Copy from a prior application (37 C.F.R. § 1.53(d)) <small>(for continuation/divisional with Box 16 completed)</small><ul style="list-style-type: none">i. <input type="checkbox"/> DELETION OF INVENTOR(S) Signed statement attached deleting inventor(s) named in the prior application, see 37 C.F.R. §§ 1.53(d)(2) and 1.53(b)(1)	7. <input type="checkbox"/> Assignment Papers (cover sheet & document(s))
	8. <input type="checkbox"/> 37 C.F.R. § 1.53(b) Statement (when there is an assignee) <input type="checkbox"/> Power of Attorney
	9. <input checked="" type="checkbox"/> English Translation Document (if applicable)
	10. <input type="checkbox"/> Information Disclosure Statement (IDS)/PTO-1449 <input type="checkbox"/> Copies of IDS Citations
	11. <input type="checkbox"/> Preliminary Amendment
	12. <input type="checkbox"/> Return Receipt Postcard (MPEP 503) <small>(Should be specifically itemized)</small>
	13. <input checked="" type="checkbox"/> * Small Entity Statement(s) <input type="checkbox"/> Statement filed in prior application, Status still proper and desired
	14. <input checked="" type="checkbox"/> Certified Copy of Priority Document(s) 2 <small>(if foreign priority is claimed)</small>
	15. <input checked="" type="checkbox"/> Other: Application Data Sheet

* NOTE FOR ITEMS 1 & 13: IN ORDER TO BE ENTITLED TO PAY SMALL ENTITY FEES, A SMALL ENTITY STATEMENT IS REQUIRED (37 C.F.R. § 1.57), EXCEPT IF ONE FILED IN A PRIOR APPLICATION IS RELIED UPON (37 C.F.R. § 1.59).

16. If a CONTINUING APPLICATION, check appropriate box, and supply the requisite information below and in a preliminary amendment:
☐ Continuation ☐ Divisional ☐ Continuation-in-part (CIP) of prior application No. _____
Prior application Information: Examiner _____ Group / Art Unit: _____
For CONTINUATION or DIVISIONAL APPS only: The entire disclosure of the prior application, from which an oath or declaration is supplied under Box 4b, is considered a part of the disclosure of the accompanying continuation or divisional application and is hereby incorporated by reference. The incorporation can only be relied upon when a portion has been inadvertently omitted from the submitted application parts.

17. CORRESPONDENCE ADDRESS

☐ Customer Number or Bar Code Label (insert Customer No. or Attach bar code label here) or ☒ Correspondence address below

Name	Gerd Krämer				
Address	Richard-Wagner-Str. 16				
City	Leimen	State		Zip Code	69181
Country	Germany	Telephone	06224-925326	Fax	0177-4238152

Name (Print/Type)	Gerd Krämer	Registration No. (Attorney/Agent)	
Signature	G. Krämer	Date	29.10.2000

Burden Hour Statement: This form is estimated to take 0.2 hours to complete. Time will vary depending upon the needs of the individual case. Any comments on the amount of time you are required to complete this form should be sent to the Chief Information Officer, Patent and Trademark Office, Washington, DC 20231. DO NOT SEND FEES OR COMPLETED FORMS TO THIS ADDRESS. SEND TO: Assistant Commissioner for Patents, Box Patent Application, Washington, DC 20231.

FEE TRANSMITTAL for FY 2000

Patent fees are subject to annual revision.

TOTAL AMOUNT OF PAYMENT

(\$) 354

Complete if Known

Application Number	
Filing Date	Priority 02-Nov-1999
First Named Inventor	Gerd Krämer
Examiner Name	
Group Art Unit	
Attorney Docket No.	

METHOD OF PAYMENT

1. ☒ The Commissioner is hereby authorized to charge indicated fees and credit any overpayments to:

Deposit Account Number: Kta: 2213818
Deposit Account Name: BLZ: 66090800

- ☒ Charge Any Additional Fee Required Under 37 CFR 1.16 and 1.17

- ☒ Applicant claims small entity status. See 37 CFR 1.27

2. ☒ Payment Enclosed:

☐ Check ☐ Credit card ☒ Money Order ☐ Other

FEE CALCULATION

1. BASIC FILING FEE

Large Entity Fee Code (\$)	Small Entity Fee Code (\$)	Fee Description	Fee Paid
101 710	201 355	Utility filing fee	345
106 320	206 160	Design filing fee	
107 490	207 245	Plant filing fee	
108 710	208 355	Reissue filing fee	
114 150	214 75	Provisional filing fee	

SUBTOTAL (1) (\$) 345

2. EXTRA CLAIM FEES

Total Claims: 21
Independent Claims: 2
Multiple Dependent: 19

Extra Claims: 1
Fee from below: 9
Fee Paid: 9

Large Entity Fee Code (\$)	Small Entity Fee Code (\$)	Fee Description
103 18	203 9	Claims in excess of 20
102 80	202 40	Independent claims in excess of 3
104 270	204 135	Multiple dependent claim, if not paid
109 80	209 40	** Reissue independent claims over original patent
110 18	210 9	** Reissue claims in excess of 20 and over original patent

SUBTOTAL (2) (\$) 354

*for number previously paid, if greater; For Reissues, see above

FEE CALCULATION (continued)

3. ADDITIONAL FEES

Large Entity Fee Code (\$)	Small Entity Fee Code (\$)	Fee Description	Fee Paid
105 130	205 65	Surcharge - late filing fee or oath	
127 50	227 25	Surcharge - late provisional filing fee or cover sheet	
139 130	139 130	Non-English specification	
147 2,520	147 2,520	For filing a request for ex parte reexamination	
112 920*	112 920*	Requesting publication of SIR prior to Examiner action	
113 1,840*	113 1,840*	Requesting publication of SIR after Examiner action	
115 110	215 55	Extension for reply within first month	
116 390	216 195	Extension for reply within second month	
117 890	217 445	Extension for reply within third month	
118 1,390	218 695	Extension for reply within fourth month	
128 1,890	228 945	Extension for reply within fifth month	
119 310	219 155	Notice of Appeal	
120 310	220 155	Filing a brief in support of an appeal	
121 270	221 135	Request for oral hearing	
138 1,510	138 1,510	Petition to institute a public use proceeding	
140 110	240 55	Petition to revive - unavoidable	
141 1,240	241 620	Petition to revive - unintentional	
142 1,240	242 620	Utility issue fee (or reissue)	
143 440	243 220	Design issue fee	
144 600	244 300	Plant issue fee	
122 130	122 130	Petitions to the Commissioner	
123 50	123 50	Petitions related to provisional applications	
126 240	126 240	Submission of Information Disclosure Stmt	
581 40	581 40	Recording each patent assignment per property (times number of properties)	
146 710	246 355	Filing a submission after final rejection (37 CFR § 1.129(a))	
149 710	249 355	For each additional invention to be examined (37 CFR § 1.129(b))	
179 710	279 355	Request for Continued Examination (RCE)	
169 900	169 900	Request for expedited examination of a design application	

Other fee (specify)

*Reduced by Basic Filing Fee Paid

SUBTOTAL (3) (\$) 354

SUBMITTED BY

Name (Print/Type)	Gerd Krämer	Registration No. (Attorney/Agent)		Telephone	06224-925326
Signature	G. Krämer			Date	29.10.2000

WARNING: Information on this form may become public. Credit card information should not be included on this form. Provide credit card information and authorization on PTO-2038.

Burden Hour Statement: This form is estimated to take 0.2 hours to complete. Time will vary depending upon the needs of the individual case. Any comments on the amount of time you are required to complete this form should be sent to the Chief Information Officer, U.S. Patent and Trademark Office, Washington, DC 20231. DO NOT SEND FEES OR COMPLETED FORMS TO THIS ADDRESS. SEND TO: Assistant Commissioner for Patents, Washington, DC 20231.

INVENTOR INFORMATION

Inventor One Given Name:: Gerhard Willy
Family Name:: Krämer
Postal Address Line One:: Richard Wagner Street 16
City:: Leimen
Country:: Germany
Postal or Zip Code:: D-69181
Citizenship Country:: Germany

CORRESPONDENCE INFORMATION

Name Line One:: Gerd Krämer
Address Line One:: Richard Wagner Str.16
City:: Leimen
Country:: Germany
Postal or Zip Code:: D-69181
Telephone One:: +49-06224-925326
Telephone Two:: +49-0177-4238152
Fax One:: +49-0177-4238152
Fax Two:: +49-06224-925326
Electronic Mail:: cybernetic@automatic-programming.com

APPLICATION INFORMATION

Title Line One:: Method for generating a simple kind of
Title Line Two:: Artificial Consciousness in a computer,
Title Line Three:: which has the capability to plan,
Title Line Four:: generate automatically and execute
Title Line Five:: machine-code for the solution of
Title Line Six:: arbitrary programming-abandonments.
Title Line Seven:: (Automatic Programming)
Total Drawing Sheets:: 19
Formal Drawings?: Yes
Application Type:: Utility

PRIOR FOREIGN APPLICATIONS

Foreign Application One:: 199 52 587.0-53
Filing Date:: 02. November 1999
Country:: Germany
Priority Claimed:: Yes

Vorab per Fax

An das
Deutsche Patentamt
80287 München

DEUTSCHES PATENTAMT

(1) In der Anschrift Straße, Haus-Nr. und ggf. Postfach angeben	(1) Sendungen des Deutschen Patentamtes sind zu richten an:		Antrag auf Erteilung eines Patents	1
	Gerd Krämer Richard-Wagner-Str. 16 69181 Leimen			
(2) Zeichen des Anmelders/Vertreters (max. 20 Stellen)	Pat-KB1		Telefon des Anmelders/Vertreters	06224-925326
			Datum	31.10.1999
(3) Der Empfänger in Feld (1) ist der	ggf. Nr. der Allgemeinen Vollmacht			
	<input checked="" type="checkbox"/> Anmelder <input type="checkbox"/> Zustellungsbevollmächtigte <input type="checkbox"/> Vertreter			
(4) nur auszu- füllen, wenn abweichend von Feld (1)	Anmelder		Vertreter	
	S.O. Anmelder ist Erfinder		noch ohne	
(5) soweit bekannt	Anmeldercode-Nr.	Vertretercode-Nr.	Zustelladresse-Nr.	
(6) Bezeichnung der Erfindung (bei Überträge auf besonderem Blatt - 2fach)	G06F9			
	unverbindl. PC-Vorschlag d. Anmelders			
(7) Sonstige Anträge	Aktezeichen der Hauptanmeldung (des Hauptpatents)			
	<input type="checkbox"/> Die Anmeldung ist Zusatz zur Patentanmeldung (zum Patent) <input checked="" type="checkbox"/> Prüfungsantrag - Prüfung der Anmeldung mit Ermittlung der öffentlichen Druckschriften (§ 44 Patentgesetz) <input type="checkbox"/> Recherchenantrag - Ermittlung der öffentlichen Druckschriften ohne Prüfung (§ 43 Patentgesetz) <input type="checkbox"/> Lieferung von Ablichtungen der ermittelten Druckschriften im <input type="checkbox"/> Prüfungsverfahren <input type="checkbox"/> Recherchenverfahren <input type="checkbox"/> Aussetzung des Erteilungsbeschlusses auf <input type="checkbox"/> Monate (§ 48 Abs. 2 Patentgesetz) (Max. 15 Mon. ab Anmelde- oder Prioritätsfesttag)			
(8) Erklärungen	Aktezeichen der Stamm Anmeldung			
	<input type="checkbox"/> Teilung/Ausscheidung aus der Patentanmeldung <input type="checkbox"/> an Lizenzvergabe interessiert (unverbindlich) <input type="checkbox"/> mit vorzeitiger Offenlegung und damit früher Aktenzeichen einverstanden (§ 31 Abs. 2 Nr. 1 Patentgesetz)			
(9)	<input type="checkbox"/> Inländische Priorität (Datum, Aktezeichen der Voranmeldung) <input type="checkbox"/> Ausländische Priorität (Datum, Land, Aktezeichen der Voranmeldung)			
	bei Überträge auf besonderem Blatt - 2fach			
(10) Erläuterung und Kosten- hinweise s. Rückseite	(Bitte vollständige Abschrift(en) der Voranmeldung(en) beifügen)			
	Gebühreuzahlung in Höhe von DM		Abbuchung von meinem/unserem Abbuchungskonto b. d. Dresdner Bank AG, München	
(11) Anlagen	<input type="checkbox"/> Scheck <input type="checkbox"/> Überweisung (nach Erhalt der Empfangsbescheinigung) <input type="checkbox"/> Gebührenmarken sind beigelegt (Bitte nicht auf d. Rückseite kleben, ggf. auf gesond. Blatt)		<input type="checkbox"/> Nr.	
	<input checked="" type="checkbox"/> Telefax vorab am 2.11.1999			

- (11) Anlagen
1. ☒ Vertretervollmacht
 2. ☒ Erfinderbenennung
 3. ☒ Zusammenfassung (ggf. mit Zeichnung Fig.)
 4. ☒ Seite(n) Beschreibung
 5. ☒ ggf. Bezugszeichenliste
 6. ☒ Seite(n) Patentansprüche
 7. ☒ Anzahl Patentansprüche
 8. ☒ Blatt Zeichnungen
 9. ☒ Abschrift(en) d. Voranmeld.
 10. ☒ Verfahrenskostenhilfe/Geandtrag mit Belegen
- Anlagen
3. - 7.
jeweils
2-fach
- P 2007
5.98 (online)

G. Krämer
(12) Unterschrift(en)

per Post (nicht vorab per Fax)

Ober Fernkopierer eingegangen.
39 Seite(n) - Deutsches Patent-
und Markenamt 40

Empfangsbescheinigung

Die aus dem beiliegenden Antragsdoppel ersichtliche Patent-, bzw. Gebrauchsmusteranmeldung ist an dem oben perforierten Tag beim Deutschen Patent- und Markenamt eingegangen.

Die Anmeldung hat das in dem beigefügten Antragsdoppel gekennzeichnete Aktenzeichen erhalten.

☐ Für die betreffende(n) Anmeldung(en) sind Gebührenmarken im Werte von _____ DM entrichtet.

**Wichtige Hinweise**

Um Störungen des Geschäftsverkehrs und zeitraubende Nachforschungen nach dem Verbleib von Schriftstücken oder Gebühren zu vermeiden, ist gemäß den Anmeldebestimmungen das Aktenzeichen bei allen Eingaben und Zahlungen anzugeben. Deshalb wird dringend empfohlen, vor der Mitteilung des Aktenzeichens keine weiteren Schriftsätze nachzureichen.

Zahlen Sie bitte künftig die Anmeldegebühr möglichst mit der Anmeldung in Gebührenmarken des Deutschen Patentamts. Sie vermeiden damit Irrläufer, Mahnungen und Fristüberwachungen. Die Gebührenmarken sind nur bei der Zahlstelle des Deutschen Patentamts in München oder Berlin erhältlich. Sofern Sie aber die Anmeldegebühr nicht schon mit der Anmeldung zahlen wollen, wird gebeten, die Zahlung erst nach der Mitteilung des amtlichen Aktenzeichens vorzunehmen.

Ferner könnte die Arbeit des Deutschen Patent- und Markenamtes beschleunigt werden, wenn künftig in allen Fällen der amtliche Antragsvordrucksatz verwendet wird.

Bitte Hinweise auf der Rückseite beachten!

Annahmestelle und Nachbrieftkasten nur Zweibrückenstraße 12	Dienstgebäude Zweibrückenstraße 12 (Hauptgebäude) Zweibrückenstraße 5-7 (Breiterhof) Cincinnatistraße 64 Rosenheimer Straße 116 Balanstraße 59	Hausadresse (für Fracht) Deutsches Patent- und Markenamt Zweibrückenstraße 12 80331 München	Telefon (089) 2195-0 Telefax (089) 2195-2221	Bank: Landeszentralbank München 700 010 54 (BLZ 700 000 00)
A 9008 6.99	Schnelldienstschluß im Münchner Verkehrs- und Tarifverbund (MVV): Zweibrückenstraße 12 (Hauptgebäude), Zweibrückenstraße 5-7 (Breiterhof) S1 - S8 Isartor	Rosenheimer Str. 116 / Balanstraße 59 Alle S-Bahnen Richtung Ostbahnhof, ab Ostbahnhof Buslinien 45 / 95 / 96 / 198 Haltestelle Kuzbasspark	Internet-Adresse http://www.patent-und-markenamt.de	Cincinnatistraße 64 S2 Fasangarten Bus S8 oder 99

Deutsches Patent- und Markenamt

München, den 16.03.2000
Ferndurchwahl: (089) 2195-2855

Deutsches Patent- und Markenamt 80297 München

Aktenzeichen: 199 52 587.0-53
Ihr Zeichen: Pat-KB1
Anmeldernr.: 10857796
Krämer

Herrn
Gerd Krämer
Richard-Wagner-Str. 16
69181 Leimen

Bibliographie-Mitteilung

IPC Hk1	G06F 9/44	Akz 199 52 587.0-53
IPC Nk1	G06F 15/18	
Ant	02.11.1999	
Bez	Verfahren zur Generierung einer einfachen Form künstlichen Bewusstseins im Computer zur Befähigung selbsttätig planender Erstellung von Maschinencode-Programmen und deren Ausführung zur Lösung beliebiger gestellter Programmieraufgaben	
Anr 10857796	Krämer, Gerd, 69181 Leimen, DE	
Erf	Erfinder gleich Anmelder	
	P	

Die Veröffentlichung der Anmeldung erfolgt voraussichtlich am 03.05.2001. Sie unterbleibt, wenn die Anmeldung früher als 8 Wochen vor dem vorgesehenen Veröffentlichungstag zurückgenommen oder zurückgewiesen wird oder als zurückgenommen gilt (§ 32 Abs. 4 PatG).

Hinweise

Innerhalb von 15 Monaten nach dem Anmelde- bzw. Prioritätstag ist/sind nachzureichen:

Zusammenfassung (§ 36 PatG)

*n. dazu beigelegtes
Merzblatt 2794
sonst*

Fortsetzung nächste Seite
=====

**Bitte Anmelder und Aktenzeichen
bei allen Eingaben angeben !**



**Bitte beachten Sie die wichtigen
Hinweise auf der Rückseite !**

120
P2002

Annahmestelle und
Nachbriefkasten
nur
Zweibrückenstr. 12
Dienstgebäude
Zweibrückenstr. 12 (Hauptgebäude)

Hausadresse (für Fracht)
Deutsches Patent- und Markenamt
Zweibrückenstr. 12
80331 München

Telefon (089) 2195-0
Telefax (089) 2195-2221
Internet:
<http://www.patent-und-markenamt.de>

Bankverbindung
Landeszentralbank München
700 010 54 (BLZ 700 000 00)

Deutsches Patent- und Markenamt - 80297 München

Folgende angekreuzte Unterlagen sind innerhalb einer Frist von

... Monaten

...-fach nachzureichen (§§ 4-6, 8 PatAnmV):

() Druckfähige Zeichnungen () Patentansprüche () Beschreibung

() Zeichnung zur Zusammenfassung (§ 36 PatG)

() Weitere Anforderungen: Siehe gesonderter Bescheid

☒ keine weiteren Anforderungen

Prüfungsstelle für Klasse G06F

**Bitte Anmelder und Aktenzeichen
bei allen Eingaben angeben !**



**Bitte beachten Sie die wichtigen
Hinweise auf der Rückseite !**

121

P2002

Ankunftsstelle und Dienstgebäude
Nachbriefkasten
nur
Zweibrückenstr. 12

Hausadresse (für Post)
Deutsches Patent- und Markenamt
Zweibrückenstr. 12
80331 München

Telefon (089) 2185-0
Telefax (089) 2185-2221
Internet:
<http://www.patent-und-markenamt.de>

Bankverbindung
Landeszentralbank München
700 010 54 (BLZ 700 000 00)

TITLE OF THE INVENTION:

Method for generating a simple kind of Artificial Consciousness in a computer, which has the capability to plan, generate automatically and execute machine-code for the solution of arbitrary programming-abandonments. (Automatic Programming)

REFERECES:

First announcement of this utility-patent "Verfahren zur Generierung einer einfachen Form künstlichen Bewußtseins im Computer zur Befähigung selbsttätig planender Erstellung von Maschinencode-Programmen und deren Ausführung zur Lösung beliebiger gestellter Programmieraufgaben" was the 2nd November 1999 in Germany at the DPMA (deutsches Patent- und Markenamt = german Patent- and Trademark-Office).

SPONSORSHIP STATEMENT:

There was no sponsor for this invention and I'm a single independent inventor.

BACKGROUND OF THE INVENTION:

1. Field of the Invention:

The present invention relates to computer programming, and more particularly to automatic code generation. It relates also to learn-capable programs and artificial intelligence.

2. Present State of the Art:

Worldwide in the Field of Software-Development many employees are missing and the development tasks become larger and larger.

Until now a given conceptual formulation is conceived and programmed by Software-developers. For relieving the programming there are "Wizards" which offer the possibility to generate basic parts of source-code after making interactive inputs on dialog-windows by a fixed given generator-scheme.

Moreover company-specific scripts are written, which generate simple steadily repeated parts of source-code with variations on the same positions by reading out data out of ASCII-files.

In every case the user first has to develop the generating script and then has to write the ASCII data for to read out, or - in the case of "Wizards" - has to make user defined inputs and after the generation of the frame-sourcecode has to develop the intrinsic functionality of the program. After it the source-code has to be compiled to become executable. But such programs are not adaptive.

On the area of AI there are neuronal networks / fuzzy logic which can build expert-systems, which can absorb external attractions and have the capability to make adaptive decisions on these inputs, which means a kind of adaptive control system but they will not be able to plan and develop and execute machine-code and learn from its execution.

In the decision 20 W (pat) 12/76 of the german patent court artificial consciousness was tried to generated in a patent application by a reflexive chain of video cameras and monitors - this procedure has nothing to do with that method.

BRIEF SUMMARY OF THE INVENTION:

It's an object of the invention to create computer based artificial consciousness.

It is another object of the present invention to provide a method for giving a computer the capability to learn programming for itself.

It's a further object of the invention to provide a system to make a computer plan and develop programs targeted to a pregiven programming-aim or to fulfill its basic needs.

Therefore it first captures all processor exception-vectors (for a single process-system) or task exception-vectors (for a multitasking version) by own analysis-routines.

Then the system generates numbers, puts them to a defined place in memory and then sets the instruction-pointer to that number for to execute it, like it would be a legal opcode.

Before the number is executed the processor's registers are set to predefined initial conditions and one number is executed several times using different initial conditions.

After every number-execution the system analyses, if an exception occurred or the number caused a jump or a write to memory and the concerned source- and destination-registers are determined and also the kind of instruction, which means its mnemonic. For every execution many theoretical source-registers and several possible commands are possible. Therefore one number is executed by

many predefined different initial conditions to determine the concerned source-register and operation most exactly. By the sum of the execution analysis data the command concerned mnemonic and the source- and destination-registers are determined. So the system itself learns to program in machine-code.

Additional the absolute basic needs, which also have mono-cellars, are modelled:

Pain means an attack to the program (=overwrite) and hunger means loss of energy, which is modelled by a defined register (hunger=low values).

The program has got two valuation-systems: one concerning the basic needs and one concerning the fulfillment of pregiven programming aim.

After single numbers are executed two-number-combinations are executed and the effects of these combinations are determined.

The valuation system determines if the combination is good or worse concerning the basic needs and the fulfillment of a pregiven programming-aim (it's possible to disable one of these two valuation-systems).

The programming-aim concerning valuation-function is dynamic, which means the value-range of its valuation-results is valued by a meta-valuation-system - and if the valuation-results are not very meaningful, which means, they're clustered near the min/max-boundaries or near zero or another value, the valuation-function is changed by the valuation-system itself and a revaluation occurs. If then the valuations results are worse than before, the modification is quashed and another valuation-function modification is tried until the revaluation results in unclustered valuation-results.

When larger number-combinations are tried, the valuation-system omits to combine combinations which caused fatal exceptions, large jumps, extensive writing to memory, registers which should not be used, etc. or combinations which dislodge from the programming-aim. So not every additional number or combination in the total combination causes an exponential rise of needed calculation-time and disc-space.

The larger the combination becomes the more restrictive is the programming-aim specific valuation-system concerning additional numbers=opcodes or combinations. Then additional combinations must appropriate the programming-aim.

So the system learns to plan developing the desired routine.

The solution-routines are retested by nearly all possible input-values and if it works fine it's

valuated by needed clock cycles and memory space and the most effective solution-routine then is disassembled and can be taken by developers to implement it into their projects as a subroutine.

BRIEF DESCRIPTION OF THE DRAWINGS:

Fig.1 shows the ER-diagram of the database-tables which contain the data of the AC-program. The in the middle shown CLT(i)-tables are created dynamically. The database is described in section 1.3.2.

Fig.2-18 show the names, datatypes, value-range and meanings of the table's columns - some with additional examples, how they're filled. These tables are described in sections 1.3.2.1 to 1.3.2.16.

Fig.19-21 show the value-assignments of the O_xT and C_xT-tables. Here the effects of the executions are analyzed, and the mnemonic and source+destination-registers are determined.

Fig.22 shows the value-assignments of the energyspecific tables ELT and EBT, which provide the analysis results of the actions concerning the modelled hunger.

Fig.23-24 show the flow-chart of the AC-program.

DETAILED DESCRIPTION OF THE INVENTION:

Contents:

1. SPECIFICATION	7
1.1 Object of the invention	7
1.2 Derivation of technical feasibility and Definition of artificial Consciousness	7
1.2.1 Philosophical basic liberations	7
1.2.2 Basic Approach for the Generation of Artificial Consciousness.....	8
1.3. Technical Doctrine how to generate Artificial Consciousness.....	8
1.3.0 Definition of the appropriated abbreviations	8
1.3.1 Procedure for generating artificial consciousness by comprehensible words.....	11
1.3.2 Creating the Database of the AC-Knowledge.....	11
1.3.2.1 The Register-Identifikation-Table [RIT - Fig.2]	11
1.3.2.2 The Operation-Identification-Table [OIT - Fig.4].....	12
1.3.2.3 The Initial-Condition-Table [ICT - Fig.3]	12

1.3.2.4 The OpCode-Register-Table [ORT - Fig.5].....	12
1.3.2.5 The OpCode-Learn-Table [OLT - Fig.6].....	13
1.3.2.6 The OpCode-BaseTable [OBT - Fig.7]	13
1.3.2.7 The Combinations-RegisterTables [CRT(i) - Fig.8].....	13
1.3.2.8 The Combinations-LearnTables [CLT(i) - Fig.9].....	13
1.3.2.9 The Combinations-Base-Tables [CBT(i) - Fig.10].....	13
1.3.2.10 The Aim Solution Table [AST - Fig.11]	14
1.3.2.11 The Aim Description Table [ADT - Fig.12]	14
1.3.2.12 The Function-Identification-Table [FIT - Fig.13,14]	14
1.3.2.13 The Valuation-Function-Table [VFT - Fig.15].....	14
1.3.2.14 The Status of the AC-Program [SAC - Fig.16].....	15
1.3.2.15 The Energy-Learn-Table [ELT - Fig.17]	15
1.3.2.16 The Energy-Base-Table [EBT - Fig.18]	15
1.3.3 Preparing the initial State of the System	15
1.3.4 Base-learning from execution of all single opcodes.....	16
1.3.4.1 OpCode generation and execution.....	16
1.3.4.2 Analysis of opcode-repercussion and saving the analysis-result.....	17
1.3.5 Realisation of the basic needs	18
1.3.5.1 Realisation of artificial pain	18
1.3.5.2 Realisation of artificial hunger	19
1.3.6 Planning on the criterions of the valuation-system.....	19
1.3.7 The dynamic-reflexive valuation-system.....	20
1.3.7.1 Valuation of the programming-aim closeness.....	20
1.3.7.2 The dynamic energy-valuation-function.....	21
1.3.8 Reaching Self-Consciousness, Reproduction and Evolution.....	22
1.4. Conceptual Formulation of the Programming-Aim and Examples of Achievement.....	22
1.4.1 Example_1: Developing a Program to compute the average	22
1.4.2 Example_2: generation of a programs for computation of the cube-root	23
1.5. Needed Hard-disk-Space and Oblivion	24
1.5.1 Table sizes	24
1.5.2 Oblivion	25
1.6. Becoming Conscious.....	25
1.7. Presentment of the Economic Advantages	25
2. CLAIMS.....	27
ABSTRACT OF THE DISCLOSURE.....	32
3. DRAWINGS.....	1
3.1 Relational Database of the AC-knowledge.....	1
3.1.1 Fig.1 - ER-Diagram of the AC-Database	1
3.1.2 Tables of the AC-Database	2

Fig.2 - Register-Identification-Table	2
Fig.3 - Initial-Conditions-Table	2
Fig.4 - Operation-Identification-Table	3
Fig.5 - OpCode-Register-Table	5
Fig.6 - OpCode-Learn-Table	5
Fig.7 - OpCode-Base-Table	6
Fig.8 - Combination-Register-Table	7
Fig.9 - Combinations-Learn-Table	7
Fig.10 - Combinations-Base-Table	7
Programming-aim and valuation-function tables	8
Fig.11 - Aim-Solution-Table	8
Fig.12 - Aim-Description-Table	8
Fig.13 - Functions-Identification-Table (for SQL-functions)	8
Fig.14 - Functions-Identification-Table (for machine-code functions)	10
Fig.15 - Valuation-Function-Table	11
Fig.16 - Status of the Artificial Consciousness	11
Fig.17 - Energy-Learn-Table	12
Fig.18 - Energy-Base-Table	12
3.2 Flowchart of the AC-Program	13
3.2.1 CxT(i) value assignments	13
Fig.19 - ORT & CRT(i) value assingments	13
Fig.20 - OLT & CLT(i) value assingments	13
Fig.21 - OBT & CBT(i) value-assingments	14
3.2.2 Fig.22 - ELT and EBT value-assignments	15
3.2.3 Fig.23 - Definitions needed to read the flowchart	15
3.2.4 AC-flowchart	16
Fig.24a - Initial Preparations	16
Fig.24b - Base-Learning	17
Fig.24c - Double-OpCode-Acting	18
Fig.24d - Triple-OpCode-Planning	19

1. SPECIFICATION

1.1 Object of the invention:

The objects of the invention are:

- a) to provide automatized software-development,
- b) to create computerbased artificial consciousness.

With this method a simple form of artificial consciousness is generated using a computer, which acts aimless and arbitrarily in the beginning, but has the capability to learn from the effects of all its "behaviour", for to, when it knows the effects of every single behaviour or behaviour pattern (=combination), has the capability to join together its single actions targeting to a given aim or fulfilment of basic needs.

1.2 Derivation of technical feasibility and Definition of artificial Consciousness:

1.2.1 *Philosophical basic liberations:*

(... are normally no ingredient of a patent specification, but indispensable for the explanation of the technical feasibility)

If the prerequisite of consciousness of man would be a kind of soul which would be adventitious between cygot and birth, it would be possible to locate it by cogitation experiment:

If you would cognitive cut the head and provide the carotids with oxygen and nutrient containing blood, the consciousness would surely be located in the head.

If you would isolate the brain expect of the factitious supply, no conventionally information flow between the individual and the environment would be possible, but the "I am"-consciousness would surely be present.

Over it it's theoretical now possible to cut the cerebral lappets for seeing, listening, smelling, tasting, feeling, equilibration, speech and the cerebellum and nothing more would be lost.

If the front cerebral lappets would further be cut, you'd loose the possibility to compute with present knowledge and on the cut of several upper cerebral lappets you'd loose reminiscence, but the deepest basic "I am" would be remaining.

⇒ If a kind of soul would exist, it would be located on the upper End of the phylum brain ##.

Under consideration of the fluent evolution the primates would have a "soul" too; and other mammals too; and all other animals too; and the single-cellars too; and plants too; and consequently every cell of a multicellular life form too.

⇒ A border of a "soul-adventitious" or an "I am"-consciousness between the life forms is

missing.

- ⇒ Every cell of our body ought have its own soul (the evolutionary specialisation to neural-cells is, equivalent to the prenatal cell-fissions, fluent).
- ⇒ A soul does not exist (it's not necessary to build consciousness).
- ⇒ Consciousness originates during the evolution compulsively automatically.
- ⇒ Inside the "dead" molecule of the DNA is the construction plan for generating consciousness.
- ⇒ Consciousness originates by valuation of the own actions and its effects, with the reflection of the valuation-results on the adapting dynamic valuation-method.
- ⇒ If no soul is necessary for generating consciousness, but only the complex "program" of DNA, then consciousness is also generatable by a complex reflexive computer-program.

1.2.2 Basic Approach for the Generation of Artificial Consciousness:

The doing of all, including the plainest individuals conduces the fruition of its basic needs.

These basic needs are:

- a) no achiness := no attack against the own system *and*
- b) no hunger := no imminent loss of energy

A complex program, in which these basic needs are modelled, and which can act freely and has the possibility to learn reflexively what its actions effectuate (like a child) and can reflect if its actions improves its situation in reference to its basic needs, builds up a valuation-system, and then plans with the actions from its learned knowledge and reflects again and so attains consciousness. When it later scans its own machine-code and then tests every of its opcodes and after it all opcode-combinations it discerns the effect of its opcode-combinations and their context and so attains self-consciousness and now has the possibility of self-reproduction and the aware improvement of its machine-code while reproduction and so starts its evolution (its so effective like man could improve its DNA while mitoses/meiosis implementing its experience of life).

1.3. Technical Doctrine how to generate Artificial Consciousness:

1.3.0 Definition of the appropriated abbreviations:

The programming works on every computer with any processor and on any operating-system. In the following μ -indexed abbreviations correlate with Motorola processors, π means Intel processors, and ψ -indexed denote PowerPC-RISC-Processors.

eq. = equivalent

ASR_ψ = Address Space Register

BAT_ψ = BAT-Registers

BC = BitCode: every Bit correlates with a Flag and combinations are allowed.

CCR_μ = Condition-Code-Register (= Flags: EXtension, Negative-, Zero-, Overflow-, Carry-)

CISC = Complex-InstructionSet Computer (p.e. IA_π and MC_μ)

CPU = Central processing unit = Prozessor

CR_ψ = Condition-Register (CR 0..7)

CR_π = Control-Register

CTR_ψ = Count-Register

DABR_ψ = Data Address Breakpoint Register

DAR_ψ = Data Address Register

DB = DataBase

DEC_ψ = Decrement-Register

DR_π = Debug-Register

DSISR_ψ = DSI Status-Register shows the reason for DSI- and Alignment-Exceptions.

EA = Effective Address (memory access without using a register)

EAR_ψ = External Access Register

Rseg_π = Segment Register: CS; SS; DS, ES, FS, GS

EFlags_π = 32-Bit-Register with the System-Flags: IDent-, VirtualInterruptPending-, VirtualInterruptFlag-,
AlignmentCheck-, Virtual8086Mode-, ResumeFlag-, NestedTask, InputOutputPrivilegeLevel,
OverflowFlag, DirectionFlag, InterruptEnableFlag, TrapFlag, SignFlag, ZeroFlag, Auxiliary/Align-
CarryFlag, ParityFlag, CarryFlag.

EIP_π = Extended Instruction Pointer (\triangleq PC_μ)

ER = Entity Relationship (database-model)

ESP_π = Extended StackPointer (\triangleq USP_μ)

Exc. = *Exception*_π: #DeviceError, #DeBug, NMI IRQ, #BreakPoint, #OverFlow, #BoundRange
exceeded, #UD (Invalid Opcode), #NM (device not available), #DoubleFault, invalid
#TaskSwitch, Segment #NotPresent, #SS (StackFault), #GeneralProtection,
#PageFault, #MF (FloatingPoint-Error), #AlignmentCheck, #MachineCheck.
*Exception*_μ: Reset, BusError, AddressError, invalidOpCode, Div/0, CHK, TrapV,
PrivilegeViolation, Trace, Interrupts, Traps.
*Exception*_ψ: System-Reset, Machine-Check, DSI, ISI, Ext.Interrupt, Alignment, Program,
Floating-Point unavailable, Decrementer, System Call, Trace, Floating-Point Assist.

FFT = fast Fourier-Transformation

FK = Foreign Key of a ER-Database-table

FPR_ψ = Floating-Point Register 0..31

FPSCR_ψ = Floating-Point Status and Control Register

GB = GigaBytes = 2³⁰ Bytes

GPR	= General Purpose Registers: on Pentium _π : EAX, EBX, ECX, EDX; ESI, EDI, EBP; ESP; EIP : on PowerPC _ψ : GPR 0..31 ; and on Motorola _μ the Data- and Address-Registers.
IA	= Intel-Architecture
IRQ	= Interrupt-Request
AC	= Artificial Consciousness
kB	= kiloBytes = 2^{10} Bytes
ld	= Logarithm dualis = \log_2
LR _ψ	= Link-Register
MB	= MegaBytes = 2^{20} Bytes
MSR _π	= Model Specific Register
MSR _ψ	= Machine State Register
NMI	= Non-Maskable-Interrupt (highest Interrupt)
NOP	= NoOperation-OpCode [=opcode without effect (except increment of IP _π /PC _μ)]
OLB	= OpCode Lower Byte = last byte in the opcode
PC _μ	= Program-Counter (=Pointer to the first byte in memory where the processor starts to fetch and execute an opcode)
PK	= Primary Key of a ER-database-table
PVR _ψ	= Processor Version Register
RISC	= Reduced-InstructionSet Computer (p.e. PowerPC _ψ)
RTE _μ	= instruction: return from exception (loads SR and PC from Supervisor-Stack)
SDR1 _ψ	= SDR1-Register
SPRG _ψ	= SPRG 0..3
SR _μ	= StatusRegister (Flags _μ : <u>T</u> race-, <u>S</u> upervisor-, + Interrupt-Maske: I ₂ I ₁ I ₀ , + CCR-Flags)
SR _π	= Segment Registers: CS, DS, SS, ES, FS, GS
SR _ψ	= Segment Registers
SRR _ψ	= Save/Restore-Register of Machine-Status
SSP _μ	= Supervisor-StackPointer (A7 in Supervisor-Modus)
TB _π	= Time Base Facility: Time-Counter → $2^{64}-1$
TR _π	= Table-Register: GDTR, IDTR, LDTR, TR
USP _μ	= User-StackPointer (Adressregister A7 in User-Mode, A7' in Supervisor-Mode)
△	= correlates
\$	= begin of a hexadecimal number
ζ	= result of bit-by-bit-AND over all following values [= V ₁ & V ₂ & & V _n]
Ξ	= result of bit-by-bit-OR over all following values [= V ₁ V ₂ V _n]
Υ	= number (sum) of the set Bits in the following value [= (1&V) + (2&V)/2 + (4&V)/4 + ...]
∀	= for all of the following ...
∀ ⁻	= for all other ... (except the following)

1.3.1 Procedure for generating artificial consciousness by comprehensible words:

A computer system attains consciousness, if the active program, in which basic needs are modelled (see 1.3.5), has captured all exception-vectors and proceeds as follows:

Generate a normal number, write it somewhere in the memory, put the program-counter=instruction-pointer on it and execute it like it would be an opcode (=machine-code-command) and analyze, what its execution caused and proceed so with all numbers→opcodes (until a maximum length) with many representative initial conditions (register-values and reference-contents of address-registers).

Then use the saved opcodes which seldom caused an exception while using several initial conditions and evaluate if its execution increased or decreased its situation in due to its basic needs.

Combine the opcodes, which didn't decrease the own situation, and evaluate the effects of the code-combination using several initial conditions and save the result of analysis.

Plan combinations of those opcode-combinations which would increase the well being referable to the basic needs or could fulfill or approximate a given programming aim.

1.3.2 Creating the Database of the AC-Knowledge:

For to have the learned from actions persistent, and for to have convenient access to the large quantity of data, a relational database system with its tables and relations shown in 3.1 is created. For to increase access and to save hard disk capacity, equivalent primary keys in clusters and additional indexes for often used non-PK-rows. The ER diagram is shown in Fig.1.

Processor-dependant and in dependence of the number of 32-Bit-OpCodes, the database can grow very large and so the access speed according to it slow. Therefore RISC-Processors are more applicatively for the AC-Procedure than CISC-Processors. But CISC-Processors, like in the IA, use not very much opcodes which are longer than 24 bit, wherefore it's possible to have with striped tables and additional index-hard-disks and a higher "obliviousness" on inefficient opcode-combinations, an acceptable performance too.

The hard disc space problem in discussed in 1.5.

1.3.2.1 The Register-Identifikation-Table [RIT - Fig.2]:

In the RIT the individual descriptors of the processor-registers and -vectors are typed first: Every Register gets a correlated identification-number, an assigned bit in the BitCode, a character describing the register-type, a consecutive number of the register-type and an optional description of the register. The register of the processor-flags (EFlags_{pr}/SR_{pr}) gets the Register_ID #0. The exception-vectors mostly are located in memory and are no internal processor-registers - to identify most of these important vectors they get a Register_ID with negative sign, which correlates with

the exception-number. [If exception #0 is not RESET but a real exception, then all exception-vector Register_IDs are displaced by 1: $Register_ID = -(ExceptionNr + 1)$.]

Fig.2b shows a Motorola example of the RIT.

1.3.2.2 The Operation-Identification-Table [OIT - Fig.4]:

Like in the RIT the registers, here in the OIT the most important operations get an identification number and a bit in a BitCode.

The *Operation_Type* pigeonholes the operation to an operation group, described in Fig.4c.

The *Operation_Mnemonic* (needn't to be exact like using assembler) and the optional *Operation_Description* describe the basic command.

1.3.2.3 The Initial-Condition-Table [ICT - Fig.3]:

Because of equal opcodes could cause different effects, in this table many representative initial conditions referring to all positive Register_IDs are pre-given here. For every initial condition number (in the fig.3-example: -31..+30) for all positive *Register_IDs* a sample of initial conditions is generated, p.e. using the Function in Fig.3b. But only for all registers, which could contain mathematically used numbers, like data-registers, address-register-references and in the decremented reference of it [to include the command $-(adr.reg.)$], floating-point-registers and other special calculation-register (like p.e. MMX).

With the content of the address-registers it's surely possible to calculate too, but their values mostly refer to values in memory, where the predefined reference-values of the are located. Therefore the initial conditions of the address-register-values should only gyrate circadian through the references.

The Status_u/EFlags_r-Register higher bytes are always filled with the same initial conditions from SAC.*actual_Processor_Mode*. The ConditionCodes in the lowest byte of Status_u/EFlags_r have got variable initial conditions. With the Control-, Debug- and Machinestate-Registers and the other special registers is dealt carefully too - the always get the same default-values.

1.3.2.4 The OpCode-Register-Table [ORT - Fig.5]:

For every form initial values by opcode-execution changed (destination-) register, in a loop over all possible source-registers it's ascertained which possible operation-types of the OIT could caused the value in the changed (destination-) register.

For every appropriate source-destination-register-combination a table-entry is generated (unitary operators get the *Register_ID_source* = -1) and for every matching operation-type between possible source and destination the OIT-belonging *Operations_BitCode*-bit is set [p.e. $2 + 2 = 2 * 2 = 2^2 = 2 \ll 1 = 2 | 4 = \dots = 4$ for one or two source registers 2 (the other could be a constant) and one destination-register 4].

The ORT-columns are described in fig.5 and fig.19 contains the value-assignment-algorithms.

1.3.2.5 The OpCode-Learn-Table [OLT - Fig.6]:

The OLT is a subsumption of the effects of the actual opcode on the various used initial conditions. In the first 6 columns informations of fatal effects of opcode-execution are collected. Then there's the difference between the instruction-pointer=program-counter -value after and before opcode-execution and after it the condition-codes which could have caused a jump [redundant to *ICT.Register_Value(Register_ID=0)*].

Then in *Register_changed_BitCode* and *Register_source_BitCode* the Bits of all possible destination- and source-registers follow out of the belonging ORT-entries and after it in *max_Operation_BitCode* and *min_Operation_BitCode* the bitwise ORed and ANDed BitCodes of the *ORT.Operations_BitCode*-Entries.

The duration and time of opcode-execution are stored, and in *aim_valuation* analog *VFT.Valuation_Function(ADT.aim_Valuation_FunctionID)* it's appraised, how valuable the opcode-execution is in reference to reaching the programming-aim (value-assignment is shown in fig.20).

1.3.2.6 The OpCode-BaseTable [OBT - Fig.7]:

The opcode-base-table shows the ascertained total effect of one opcode in reference to all initial conditions. Fig.21 explains, how the evaluation (column-filling) happens, for so getting a "warrant of apprehension" of the opcode.

The OBT contains the resume of all executions of the opcodes, which later is necessary for the aim-directed planning of code combinations.

1.3.2.7 The Combinations-RegisterTables [CRT(i) - Fig.8]:

The Combinations-RegisterTables are created dynamically, built analog the ORT, with the difference, that effects of opcode-combinations are analysed here. So the CBT(2) has got one more opcode in the primary key than the OBT = CBT(1), and CBT(3) has got three opcodes, etc.

1.3.2.8 The Combinations-LearnTables [CLT(i) - Fig.9]:

Here the same is valid, like in the CRT(i). Analogous the OLT, one CLT(i)-row contains the effects of one opcode-combination in reference of the used initial conditions.

Here first the column *CLT(i).gradient_aim_valuation* gains importance. While it was identical to *aim_valuation* in *CLT(1)=OLT*, in *CLT(i≥2)* it contains: *CLT(i).aim_valuation - CLT(i-1).aim_valuation* (see third line of fig.20).

1.3.2.9 The Combinations-Base-Tables [CBT(i) - Fig.10]:

Analogous the CBT(i) show the resume of the effects of all initial conditions in reference to one opcode-combination. The value-assignments are shown in fig.21. CBT(n) (where n is the largest i) is the combination-plan-table - It's the place where the aim-solution-program originates.

If *ADT.aim_fulfilled_Flag_Function(CPT-PK)=1 (TRUE)*, the solution-program of the given aim is found and it'll be enrolled into the AST.

1.3.2.10 The Aim Solution Table (AST - Fig.11):

For every given programming abandonment the found solution-programs, their lengths, execution-times and used registers and operations (→bitcodes) are enrolled here.

1.3.2.11 The Aim Description Table (ADT - Fig.12):

The ADT assigns to every programming aim an identification-number, a short description, one bitcode-combination of the source- and one of the destination-registers which should be used (if possible) and one bitcode-combination of forbidden source- and one of forbidden destination-registers; further a string of former solution-programs which could be implemented, and a aim-solution-flagfunction which returns TRUE if the opcode-combination (program) solves the problem for the desired source- and destination-registers and finally an identifier which references to the valuation_function in the VFT, that appraises the closeness to the complying programming-aim, which is among others dependant of this aim-solution-flagfunction.

1.3.2.12 The Function-Identification-Table (FIT - Fig.13, 14):

In the FIT basic subfunctions are provided, which can be used for composing the energy valuation-function.

It's introduced in two variations:

- a.) for generating a dynamical valuation function in SQL,
- b.) for generating a dynamical valuation function in machine-code.

The alterable building of a valuation function is easier to accomplish in SQL, but the execution-time in machine-code is much faster and every new composed SQL-valuation-function has to be parsed again.

In the future the valuation-function should only be composed in machine-code. This has the additional advantage that the AC-program could use some solved solution-functions again as subfunctions in the FIT for later use for composing the valuation-function.

1.3.2.13 The Valuation-Function-Table (VFT - Fig.15):

The VFT contains the dynamic valuation-system in reference to the own "well being" (energy-register) and to the closeness to the programming aim(s).

The `VFT.Valuation_Function(Type='E', SAC.Energy_Valuation_Function_ID)` appraises energyspecific actions and the `Valuation_Function(Type='A', SAC.Aim_Valuation_FunctionID)` the closeness to the programming aim(s).

The `VFT.Function_ID_Chain` contains the concatenation of the `FIT.Function_ID`'s, that means the execution-chain of the subfunctions: Here causes NUM (see fig.13b), that the following value is used as a number of byte-length, VALUE denotes that the following value is the column-number of the `CPT=CLT(n)`, from which actual row the value is taken, EREG means the Register_ID of the energy-register, S/D_REG denotes the value out of `ADT.all_source/dest_Registers_BitCode` and AIM_F is the

result of the ADT.aim_fulfilled_Flag_Function. The unitary operations operate on the last result of the Function_ID_Chain and the binary operations on the last two results.

On every accommodation, enhancement, or other amelioration of these valuation-functions the *Valuation_Function_ID* is incremented and a new entry with the modified *Valuation_Function* is created and the efficiency of all valuation-functions are reappraised:

$VFT.Valuation_Function_value = SAC.Energy/Aim_self_valuation_Func(...)$, for to have an efficiency-gradient for further improvements.

The functionality of the dynamic valuation-system is described in 1.3.7.

1.3.2.14 The Status of the AC-Program (SAC - Fig.16):

This table has no primary key and only one row. It contains status-informations of the AC-Program and two self-valuation-functions, which appraise the efficiency of the energy-valuation-function and of the valuation-function of the programming-aim-closeness (VFT) by evaluating the range of their valuation-results.

These self-valuation-functions are, in opposite to the energy- and aim-closeness valuation-functions, not modifiable by the AC-program itself, but can be changed by the user.

1.3.2.15 The Energy-Learn-Table (ELT - Fig.17):

In the ELT data are stored about all energy relevant actions over the actual initial conditions, that means for all opcodes and code-combinations, which pertain the last data-register.

The valuability of an energyspecific action is appraised according to $ELT.Energy_valuation = VFT.Valuation_Function(SAC.Energy_Valuation_Func_ID)$.

1.3.2.16 The Energy-Base-Table (EBT - Fig.18):

Like in the CBT(i) for programming-aim-closeness, in the EBT the effects of energy-changing opcode-combinations for all initial conditions are collected.

1.3.3 Preparing the initial State of the System

For to reset the system later into the initial state without booting, several pointers have to be latched. Afterwards all exception-vectors are intercepted by own routines, because of the initial trying to use arbitrary numbers as machine-opcodes, although many of these trying cause fatal exceptions, because they're illegal opcodes (not usable) or the opcode causes an exception on one of the initial conditions. Abnormal system end would be the consequence, if not all exception-vectors would be captured.

In the case that the AC-program should run preclusively, you'll have to

a.) stop multitasking by disabling it by an operating-system routine or by setting the IRQ-mask of

the processor to NMI.

b.) save all system-exception-vectors.

c.) set all system-exception-vectors to own analysing and handling routines.

or if it should later run with other programs or perhaps with further AC-programs:

a') increase own task-priority.

b') save all task-exception-vectors.

c') set the task-exception-vectors of the AC-program to own analysing and handling routines.

d.) save the statusregister _{μ} ($\Delta EFlags_{\mu}$) and the user-stackpointer.

e.) save the values of the other address-registers and of the data-registers.

f.) save the values of the segment-, control-, debug- and special-registers.

g.) set exception-vectors, which load additional data to the supervisor-stack (p.e. on address-violation-exception several processors load additional information like access-address and opcode onto the supervisor-stack) to a this fact considering interceptor-routine.

h.) set the privilege-violation-exception-vector to a special capturing routine.

i.) set one trap-vector to a routine, where the system should continue inside the supervisor-mode after this trap occurs.

j.) execute this trap intentionally to change the CPU-mode from user-mode to supervisor-mode (the system now continues on the above set routine).

k.) set the trace-exception-vector to an own trace-routine for later effect-analysis after number-as-opcode execution.

l.) set the bits in the first word on the supervisor-stack so, that when the SR is loaded from SSP, the trace-Flag is set and the IRQ-mask is set to NMI (p.e. this is #8700 on Motorola) because while the following base-opcode-learning no interrupt should be possible and after execution the effects should be analysed.

See referring to this fig.24a.

1.3.4 Base-learning from execution of all single opcodes:

1.3.4.1 OpCode generation and execution:

a.) Generate a 32-Bit-Number as an opcode, starting on #0000.0000, later increase by 1. [if you already know the CPU instruction set, you can skip the opcodes which would overwrite memory (p.e. memory-move-commands).]

b.) Set data- and address-registers, and the address-register destination-values and the values one DWord below on predefined test-values (initial conditions) and clear the condition-codes in $EFlags_{\mu}/CR_{\mu}$ (or use several initial conditions too).

c.) Write the above generated opcode into the test-location in memory. Then fill the memory behind with zeros up to the maximum possible opcode-length, if zeros mean the mnemonic

"ORI #0, Reg.0" (or another effectless command) or fill with NOPs.

This is necessary because on a long command the zeros are not meaningless [and then often less destroying (p.e. memory overwriting) than the NOP-corresponding opcode-number], and on a few processors a clearing of the trace-flag is possible in the while execution used user-mode too, which effects the execution of the following numbers as opcodes too [if now the zeros are not effectless, NOPs have to be used to prevent further effects (like memory- or program-selfoverwriting)].

After these zeros or NOPs the Trace-Bit-Cleared handler is following.

d.) Set content of the supervisor-stack, which is loaded by return from supervisor-mode into important user-registers like EFlags_μ/Status-Register_μ, IP_μ/PC_μ, etc., so, that CCR will be cleared or set on initial conditions, IRQ mask will be set to NMI, the trace-bit will be set and the supervisor-bit[mask] will be cleared and the DWord behind is the location of the test-opcode.

Now execute the return from supervisor-mode by the corresponding opcode-command (p.e. RTE_μ): EFlags_μ/Status-Register_μ is now loaded by above described values and the test-opcode executes, because IP_μ/PC_μ is loaded by its address.

- If now a fatal exception occurs (except trace, p.e. privilege violation, etc.), the kind of exception is briefly shown graphically if desired, and it will be continued by generating and executing the next opcode.
- If an initial condition dependant exception occurs (like address error, division by zero, ...), a relation between initial condition an exception is analysed [attention: on several exceptions, because of trace, an in many literature not documented combination of both exceptions (internal processor handling) can occur (p.e. using M68000 on Trap, Chk, Div/0 in combination with Trace).]
- If no exception occurs (not even trace) the opcode-execution cleared the trace-bit (should never occur while executing single opcodes) and the handler behind the opcode is executed.
- On Trace-Exception (normal case) a usable opcode was generated which execution-effects have to be analysed now.

1.3.4.2 Analysis of opcode-repercussion and saving the analysis-result:

- a.) After execution the EFlags_μ/Status-Register_μ and the data- and address-registers and the reference-values of the address-registers an the reference-values one DWord below an the user-stackpointer are saved for analysis.
- b.) Verifying the own machine-code-checksum (of AC-Prg.) and the inactive copy in RAM (both without test-opcode placement): If checksum changed, the AC-program injured itself while executing the test-opcode (overwrote own parts of program). The corresponding corrupt-flag is set in the table. If the active version checksum changed jump into the inactive version, then compare both versions byte by byte and repair the corrupt version by replacing the bytes in the version with the changed checksum by the bytes from the version with the correct checksum.
- c.) Check the supervisor-bitmask of the saved user-stackpointer on the supervisor-stack: If the

processor was in supervisor-mode before jumping into the exception-handler, although he was in user-mode during test-opcode execution, a combination of the normal trace-exception with a low-priority-exception occurred [p.e. on Motorola Div/O-, Trap- or Chk-Exception (not documented in the M68000er handbook)]. That means the processor first fetched the exception-vector of the just occurred low-priority-exception and loaded the statusregister and the program-counter onto the supervisor-stack and then he jumped, while being in this processor intern routine, before starting the corresponding handler of the exception-vector, into the trace-exception-routine, which caused a further loading of the program-counter and the status-register (where now the supervisor-bit(mask) is set) onto the supervisor-stack.

By analysing the supervisor-bit(mask) on the supervisor-stack, it's now detectable, that before trace another low-priority-exception occurred; and by comparison of the second saved program-counter below on the supervisor-stack with the low-priority exception-vectors, now the primary exception before trace is detectable, which corresponding exception-number is stored.

- d.) Comparison of the IP_{π}/PC_{μ} on the supervisor-stack with the address (placement) of the test-opcode-address: If the IP_{ψ}/PC_{μ} decreased, stayed unchanged, or increased by a value, which is larger than the longest possible opcode, the test-opcode was a jump-command.

If the IP_{ψ}/PC_{μ} increased by 5 or more bytes and less than the longest possible opcode, it was a long opcode or a short forward jump. If no registers changed from initial conditions it was a short jump.

This analysis-result is stored too.

- e.) Comparison of the $EFlags_{\pi}/Status-Register_{\mu}$ and of all register-values and of the address-register destination-values and of the destination-values one max. address-length below (because of $-(Adr.Reg.)$), with the original-values.

In a bitmask now it's flagged which registers or its destination-values changed and it's analysed, which operations on which source- and destination-registers could have happened (heeding changes of $EFlags_{\pi}/SR_{\mu}$) and the result is stored in the ORT and OLT (see figs.5,19; 6,20) and the OBT is actualised (fig.7,21).

- f.) If it was a jump-command, in the $EFlags_{\pi}/SR_{\mu}$ it's analysed if it was an conditional jump.

1.3.5 Realisation of the basic needs:

1.3.5.1 Realisation of artificial pain:

Pain is caused by system-injuring. The basic pain in the biological evolution incidences already on monocellars and is the injuring of the DNA in the cell nucleus. If the DNA is damaged, the monocellar has to take time to repair its DNA using its resources. It does it by filling missing aminoacids in the defect half of the double helix by adding the complement aminoacids to the undamaged half.

The AC program is loaded twice into RAM. If the AC program (or another one) executes a

command which overwrites a part of the active or inactive AC program, which means an injuring of the active or inactive code (DNA), it has the ability to recognise the damage by comparing the checksum, and has now to take time to repair the damaged code by comparing damaged and undamaged code to have information about the damage-location (valuable information for test-opcode analysis) and then copying the code from the undamaged version into the injured version to heal itself. If the active code was the injured one (had the corrupt checksum), it first has to jump into the inactive duplicate to prevent errors on self-healing, because the healing-routine itself could be damaged.

1.3.5.2 Realisation of artificial hunger:

Hunger means imminent loss of energy. Energy is engendered in the cells by transforming adenosintriphosphat to adenosindiphosphat. The energy for building up adenosintriphosphat from adenosindiphosphat is gained by combustion of glucose. Missing energy (ATP) makes metabolism and with it every action, reaction on pain, or self healing on injury, impossible.

The "energy quantity" of the AC-program is modelable by the height of a value in a data register. Now it would be possible to realise hunger by decreasing the electric current to the processor by external reading of this data register and increasing an ohm-resistance inverse proportional to the register value.

A less authenthical hardware-unbound solution is possible too:

Less energy is harmful for learn-process. Frugal values in the energyspecific data-register cause lower functionality on learning from opcode-executions. On less values no learning from opcode-execution is possible. And lowest values cause loss of the saved knowledge from earlier opcode-executions. If the value is zero, additional pain, which means own code injury, occurs.

On hunger the AC-program consequently has to find and execute opcodes, which increase the value of the energyspecific data-register.

Decreasing energy, which means the origin of hunger, is simulated by decreasing the energyspecific data-register by 1 after every action (=opcode-execution) [p.e. by the AC-program itself].

1.3.6 Planning on the criterions of the valuation-system:

If the system tested all possible opcodes and analysed the effects of the suitable commands, it has now the possibility to learn planning aimed to comply its basic needs or its programming-aims: Therefore it combines the opcodes, executes them using all initial conditions and analyses, what effected the code-combination on every single initial condition.

Because mostly longer opcode-combinations are necessary to fulfill the programming-aim, it plans the code combination by using only codes which caused no injury (own damage) or better no RAM access at all and caused no fatal exceptions (divide-error or overflow-exception are allowed) and

used no forbidden registers or opcodes (ADT.unused_Registers_BitCode| ADT.unused_Operations_BitCode). OpCodes which use the desired destination and source-registers are preferred (ADT.all_source/dest_Registers_BitCode).

ADT.aim_fulfill_valuation_mode appoints, if the valuation-function is existent in SQL or directly in machine-code. For the beginning user the slower SQL-version is more convenient and the specialist would prefer to use an assembler-aim_fulfilled_Flag_Function (ADT) which is transformed into machine-code, because it's much faster on complex valuation-functions than SQL.

1.3.7 The dynamic-reflexive valuation-system:

1.3.7.1 Valuation of the programming-aim closeness:

The ADT.aim_fulfilled_Flag_Function(Aim_ID), returns TRUE, if the programming-aim is obtained and the VFT.Valuation_Function(Type='A', ADT.aim_fulfilled_Flag_Function, VFT.Function_ID_Chain), supplies a signed-byte value, which means the closeness of the actual CLT(n)-opcode-combination on the used initial conditions to the aim-solution. The result is stored into CLT(n).aim_valuation and builds up in comparison with the last CLT(n-1).aim_valuation the gradient CLT(n).gradient_aim_valuation.

Because of the solution program has to work for all initial conditions, the maximum- and the average valuability of the opcode-combination, both as average over all initial conditions, is stored in CBT(n).max_aim_valuation and CBT(n).avg_aim_valuation ; and the gradients to the corresponding values of the last CBT(n-1) build up CBT(n).max_grad_aim_valuation and CBT(n).avg_grad_aim_valuation.

If the boundary-value of -128 or +127 was the valuation-result, the VFT.boundary_value_counter is incremented, and analog low_value_counter is incremented, if a valuation-result between -16 and +15 occurred.

Using these statistical data, and on an analysis of all CLT(i).aim_valuation -values, p.e. if you count the number of values in a small value-range running from min-possible-result to max-possible-result (-127 to +128) in dependence of the width of the value-range-window, the SAC.Aim_Self_Valuation_Func appraises after every programming-aim attainment the valuation-results of the VFT.Valuation_Function and with it its efficiency.

If the most valuation-results of the VFT.Valuation_Function p.e. were near the boundary-values (min./max.), the valuation-function was too steep and has to be flattened, which means inside the VFT.Function_ID_Chain have to be more elements with negative FIT.Function_Flatten. The opposite is valid, if the most valuation-results caused a high VFT.low_value_counter.

So after every solution of a programming-aim a self-valuation of the valuation-function occurs and a further step in the self-programming of the valuation-function. New elements are added to the valuation-function and sometimes elements are omitted and the steepness is adapted.

Then the valuation is done again and it's revised if the new valuation-function would have supplied

a better range of valuation-results.

If the new range of valuation-results was worse than the one before (valued by *SAC.Aim_Self_Valuation_Function*) then the modification of the valuation-function is quashed and another modification is tried. If the changing of the valuation-function ameliorated the range of valuation-results and the self-valuation-function returns a positive value, then it's continued with the next programming-task - otherwise a further amelioration of the valuation-function has to be done until self-valuation returns a positive value.

1.3.7.2 The dynamic energy-valuation-function:

The dynamic energyspecific valuation-system runs as follows:

0.) Because of the results of the energyspecific valuation-system are constricted to the range of *signed_byte* the valuation-function is embedded into a frame:

$\text{valuation-result} := \text{MIN} [\text{MAX} (\text{valuation-function}, -128), +127]$

1.) The energy-valuation-function of 0-th order is "how saturated am I after the action ?":

$\text{valuation-function}(0) := \text{MIN} [\text{MAX} (\text{Energy_after}, -128), +127]$

2.) The valuation-function of 1st order is "how much more saturated am I after the action than before ?":

$\text{valuation-function}(1) := \text{MIN} [\text{MAX} (\text{Energy_after} - \text{Energy_before}, -128), +127]$

3.) Because of the energy-register is of the type *unsigned integer* (DWord), the boundaries of the valuation would too often the result. Therefore a kind of logarithm or ...

$\text{valuation-function}(2) := \text{MIN} [\text{MAX} [\text{SQRT} (\text{Energy_after} - \text{Energy_before}), -128], +127]$

4.) Now negative energy-gradients would cause wrong signs, therefore 3rd square or ...

$\text{valuation-function}(3) := \text{MIN} [\text{MAX} [\text{SGN} (\text{EnergyGrad}) * \text{SQRT} (\text{EnergyGrad}), -128], +127],$

$\text{where } \text{EnergyGrad} = \text{Energy_after} - \text{Energy_before}$

Possibly the function $\frac{1}{2} * \text{SGN} (\text{EnergyGrad}) * \text{SQRT} (\text{SQRT} (\text{EnergyGrad}))$ would be better, because it reaches exactly to the boundary-values, but maybe the boundary-values are reached very seldom and a subtler structuring around zero would be more important.

This depends how often the boundaries are reached and how much energy-gradients supply small values. Maybe the naked result-value (*Energy_after*) has to be weighted stronger and a valuation of the gradient alone is not sufficient. Moreover it had to be considered how much and which further registers are concerned beneath the energy-register and which and how much types of operations were executed, etc., and finally the execution-time of the energy-valuation-function itself. Therefore the energyspecific valuation-system has to be rarefied and adapted (like the valuation-system of intelligent biological life forms).

Using dynamic embedded [PL/]SQL the changing and reparsing of the as string stored valuation-function no problem. Because of the execution-speed and the possibility of implementation of earlier programming-aim solutions the energy-valuation-function should be used in machine-code prospectively.

The task of the amelioration of the energyspecific valuation-function is done, like the programming-

aim specific one, after every fulfilling of a programming-aim.

Valuation-system and valuation-results are always reflexively.

1.3.8 Reaching Self-Consciousness, Reproduction and Evolution:

Through the process of self-healing on pain/damage the program knows its location in memory. It now has the possibility to check out the effects of its own opcodes one after another, then consecutive opcode-combinations etc., and when it finally knows the effect of its total length, it'll reach self-consciousness and then has the possibility to reproduce itself and to ameliorate itself awarely while reproduction using its acquired knowledge (p.e. by removing the incommodious decrementing of the energy-register).

The intelligent conscious-varying reproduction is much more preeminenced than the biologic-genetic one, because the latter only refers to existing genes/DNA, while the AC-program can vary itself by changing and extending its code intentionally using its "experience of life".

1.4. Conceptual Formulation of the Programming-Aim and Examples of Achievement

To the AC-program an arbitrary programming-aim is challenged by giving one or more criterions in *ADT.aim_fulfilled_Flag_Function*, by which it can check out, if it solved the task.

Its job is it now to develop a program, which solves the problem for all initial-conditions.

1.4.1 Example_1: Developing a Program to compute the average:

A very simple but easy to comprehend job for the AC-program could be: "write a program that computes the average over two integer-variables".

The AC-program fulfills this task, if the difference between the result and the lower number is equal to the difference of the higher number and the result, and this is functioning for any arbitrary input-numbers.

But the AC program doesn't know the instruction-set of the processor - it knows now only the opcodes which caused no damage and no fatal exception and it knows the opcode-effects in reference to the different initial-conditions.

Through corruption-selfhealing or the energy-register it already knows easiest abandonments like "execute an action which causes no pain" or "execute an action which makes me saturated".

For attaining economic programming-aims, it now needs valuation-variables, which reveals answers to the following questions:

- a.) How much nearer or farther away from the programming-aim took me the last added opcode-combination (that every added single opcode of it may cause opposite effects is irrelevant).
- b.) How many processor clock-cycles needed the solution-program.
- c.) How many bytes long is my program and how many opcodes are included ?

These answering variables (CBT-table-columns) are:

aim_valuation ; cycles_of_execution ; OpCode_length_or_jump.

The input-variables in the example-task could be in the first two data-registers (EAX_π, EBX_π respectively D0_μ, D1_μ respectively GPR0_ψ, GPR1_ψ), here R0 and R1.

The return-value should be the third data-register (ECX_π|D2_μ|GPR2_ψ), here R2.

If the task is solved for arbitrary input-values, the program is ready, because it's function.

If there are more than one solution, the one is chosen which needs less clock-cycles.

The task-specific aim-fulfilled valuation-function, which computes OLT.aim_valuation is consequently in this example:

ADT.aim_fulfilled_Flag_Function(average of R0 and R1) = { (R2-R0)=(R1-R2) }

Here the problem could occur, that one input-value is even and the other one is odd, which means that this input-combination would have no solution. To implement that, the aim_fulfilled_Flag_Function should be enhanced for integer-variables: { (R2-R0)=(R1-R2) || (R2-R0)+1=(R1-R2) }.

The AC-program will find several solution-programs and takes the one with the least needed clock-cycles.

A possible solution would be in CBT(3): MOV R0,R2 ; ADD R1,R2 ; SHR R2

(... naturally in machine-code of the used processor - using a Pentium that would be the 48-bit-number #89C2.01CA.D1EA, using a Motorola that would be #2400.D282.E2C2 and using a PowerPC (RISC) a 96-bit-number would be the solution).

1.4.2 Example_2: generation of a programs for computation of the cube-root:

A further easy development-task would be "write a program that returns the cube-root of a FFP (fast floating point) number"; the input-variable should be R0 (EAX_π) and the output-variable R3 (EBX_π).

The AC-program fulfills this task, if the result multiplied with its square is equal to the input-value (and this is valid for all initial conditions):

⇒ aim_fulfilled_Flag_Function(cube root) = { (R3*R3*R3)=R0 } (←naturally in FFP-multiplic.)

A single command like the square-root (FSQRT) doesn't exist for the cube root.

The solution-program could be in CBT(8) using a Pentium II as follows:

Op1(16b):	MOV CL,3	;ECX=\$7777:0003	[1011.0001:0000.0011]
Op2(16b):	FLD1	;ST(0)=1.0	[1101.1001:1110.1000]

Op3(16b): FIDIV CX	;ST(0) = $\frac{1}{3}$	[1101.1110:1111.0001]
Op4(16b): FLD EAX	;ST(0) = R0 ;ST(1) = $\frac{1}{3}$	[1101.1001:1100.0000]
Op5(16b): FYL2X	;ST(0) = $\frac{1}{3} \log_2(R0)$	[1101.1001:1111.0001]
Op6(16b): FLD1	;ST(0) = 1.0 ;ST(1) = $\frac{1}{3} \log_2(R0)$	[1101.1001:1110.1000]
Op7(16b): FSCALE	;ST(0) = $1.0 * 2^{\lceil \frac{1}{3} \log_2(R0) \rceil}$	[1101.1001:1111.1101]
Op8(16b): FST EBX	;EBX = $2^{\lceil \frac{1}{3} \log_2(R0) \rceil}$	[1101.1001:1101.1011]

(... naturally only the second of these columns as a 128-bit-number with the bits set as shown in the last column.)

Hexadecimal that would be: B103.D9E8.DEF1.D9C0:D9F1.D9E8.D9FD.D9DB.

This would be a possible solution-number (=program) for the given task (there're surely shorter and faster solutions too).

1.5. Needed Hard-disk-Space and Oblivion

In both examples 16-bit-opcodes would be sufficient, but it's obvious, that large programming-aims would need much hard-disk space. Therefore the AC-program has to forget unimportant or error-causing opcode-combinations.

1.5.1 Table sizes:

IST, RIT and CIT need neglectable disk-space.

Theoretically there could be $size(OBT) = 2^{32} * \sum \text{bytes(column(i))} = 485 \text{ GB}$, but also on a RISC processor never all 32-bit-combinations are used as a valid opcode and realistic are as an average on RISC processors about 28 bits $\Rightarrow 30 \text{ GB}$ and on CISC processors about 20 bits $\Rightarrow 118 \text{ MB}$ [on latter the most are 16 bit-opcodes, there're a few 8-Bit- and several 24- and 32-bit-opcodes, and the ones which are longer 32-bits are not used (we don't need memory-to-memory-operations for example and the functionality of one long opcode can be substituted by two or more shorter opcodes)].

The 62 initial conditions can cause $size(OLT) = 2^{[20..28]} * 62 * \sum \text{bytes(column(i))} = 3 \text{ GB}$ (CISC) up to 832 GB (RISC) and $size(ORT)$ could reach the same quantity, considering that one opcode mostly pertains one destination- and one source-register (unitary ones use only the destination-register and a few seldom opcodes use 3 or more registers). But there could be many effect-belonging *Operation_BitCodes*, which would increase the tablespace dramatically, if it wouldn't be compensated by the many opcodes which cause an exception, where less information has to be stored.

A much larger problem is the exponential growth of the $CxT(i)$, because every i multiplies the needed tablespace by factor of $2^{[20..28]}$. But this is exact that what should be compensated by the dynamic valuation-system. It decreases its knowledge-absorption tolerance referable to the

remaining hard-disk space: So opcode-combinations with least $CBT(i).max_aim_valuation$ or $.avg_aim_valuation$ are forgotten and so will not be combined with other opcodes.

Although if the demand of hard-disk space arrears large, this is no problem in near future. Also the according to the combination-possibilities and table-sizes increasing calculation-times are compensated by larger and faster becoming hard-disks and the increasing efficiency of the processors.

1.5.2 Oblivion:

Like all intelligent life-forms, the system has to forget unimportant and less important informations, because

- a.) the disk space is limited, and
- b.) data access time becomes slow on very large data-tables.

Therefore after every satisfactorily achievement of objectives, when a new programming-aim is given, the ELT and all $CxT(i)$ -tables over a remaining disk-space dependant i are deleted, and the opcode-combinations in the remaining $CxT(i)$ are revalued referable to the new programming-aim and forgotten opcode-combinations are added, if they're valuable for the new aim and the higher $CxT(i)$ are recreated dynamically.

1.6. Becoming Conscious

Through try_and_error the program learned what effectuated every action and what are the effects of which sequence of actions.

Through corruption-healing (if own code was overwritten in RAM) it had to repair its code and so it knows its position in memory.

If it once knows the effect of its own machine-code, it gets self-consciousness and has the ability to reproduce its code and to ameliorate it while reproduction.

Through the so initialised evolution the AC becomes complexer and better and will be able to solve larger and larger programming-tasks in future.

1.7. Presentment of the Economic Advantages

Here a totally new area of using a computer is presented. While normally in a computer run by man generated programs, which execute user-controlled applications, the AC-program itself develops and executes programming-aim oriented routines, which can later embedded into a large application.

The demand for software-development is worldwide much larger than the human potential of developers.

A system which learns to write programs itself has the capability to solve smaller development-tasks, and will in future, after several evolution-steps, have the capability to develop complex programs as the solution of large tasks too, if it has got enough hard-disk space.

The programmers will not have to develop all the routines they need - they order the routine from the AC-program and embed it into their application. So the companies can finish and sell their software-products earlier.

CLAIMS:

What is claimed is:

1. A method using a computer which automatically generates and executes machine-code, comprising the steps of
 - a) preventing the multi-tasking of the operation-system, by setting the interrupt-mask of the processor to NMI or using a multitasking-disable-routine of the operating-system;
 - b) capturing the processors exception-vectors by own analysis-routines;
 - c) generating normal numbers and writing them into memory;
 - d) backing up the current values of the processors registers;
 - e) positioning the instruction-pointer = program-counter to the generated number in memory and executing the number like it would be a processor-opcode; and
 - f) analysing the effects of this opcode-like execution of the number and storing the analysis-results, p.e. in a database.
2. A method according to claim 1, wherein said step of (d) "backing up the current values of the processors registers" comprising the steps of:
 - a) not only saving them for a later comparison but setting them to predefined initial conditions;
 - b) setting them not only one time but several times to many different predefined initial conditions which means several executions of one number in step (e) by these different initial conditions for to have a more efficient analysis-determinations of possible number-execution-effects in step (f).
3. A method according to claim 2, wherein said step (1f) "analysing the effects of this opcode-like execution of the number" further comprising the step of determining the number=opcode's mnemonic and its related source- and destination-registers by regarding all execution-effects of every initial condition.
4. A method according to claim 3, wherein said step (1c) "generating normal numbers and writing them into memory" comprising the steps of combinations, which means:

- a) taking one number which analysed results are already stored and appending another number with stored analysis-results to analyze the execution-effects of this two-number-combination and store the result.
 - b) combining 2-number-combinations, which effects are already analysed, with a further analysed number and analysing and storing the analysis-results of the effects of these 3-number-combinations.
 - c) combining a 3-number-combination, which effects are already analysed, with a further number, which effects are already analysed, or combining two 2-number-combinations, which effects are already analysed, and analysing and storing the effects of these 4-number-combinations.
 - d) combining larger combinations, which effects are already analysed, with numbers or combinations, which effects are already analysed, and analysing and storing the effects of these larger combinations.
5. A method according to claim 4, further comprising the step of using only combinations for further use, which got a positive value from a valuation-function, which appraises the valuability of the combination in reference to reaching a pregiven programming-aim, not causing fatal exceptions, not overwriting exception-vectors or the program, avoiding to use forbidden registers or extensive writes to memory or large jumps, etc.
6. A method according to claim 5, further comprising the step of valuating and changing the valuation-function of the dynamic valuation-system by a meta-valuation-function valuating the results of the valuation-function according to clustering to boundary-values, low-values, other fixed values, etc., and then revaluating the results of the new valuation-function.
7. A method according to claim 4, further comprising the step of implementing calls to operation-system routines which are offered in a table with entrance-address and source- and destination-registers.
8. A method according to claim 7, further comprising the step of using only calls and combinations for further use, which got a positive value from a valuation-function, which appraises the valuability of the call-combination in reference to reaching a pregiven programming-aim, not causing fatal exceptions, not overwriting exception-vectors or the program, avoiding to use forbidden registers or extensive writes to memory or large jumps, etc.
9. A method according to claim 8, further comprising the step of offering the disassembly of the solution-programs which solved the programming-aim.
10. A method using a computer which automatically generates and executes machine-code,

comprising the steps of

- a) capturing the tasks=processes exception-vectors by own analysis-routines;
- b) generating normal numbers and writing them into memory;
- c) backing up the current values of the processors registers;
- d) positioning the instruction-pointer=program-counter to the generated number in memory and executing the number like it would be a processor-opcode; and
- e) analysing the effects of this opcode-like execution of the number and storing the analysis-results, p.e. in a database.

11. A method according to claim 10, further comprising the steps of modelling the following basic needs:

- a) "no_pain", where pain means damage to the own program, which is an overwriting of the own machine-code, which is recognised by comparing the programs checksum after every execution of a number or number-combination, and repairing damaged parts of the own machine-code from a duplication, which causes a decrementation of the energy-register for every damaged opcode of the own program which now has to be copied for reparation; and
- b) "no_hunger", where hunger means the imminent loss of energy, where energy is modelled by the value of a predefined register, which causes negative effects on low values like
 - the loss of the capability of appraising combinations referable to the programming aim on low values of the energy-register,
 - mistakes on the valuation of the combination-execution concerning the source-registers on very low values of the energy-register,
 - the loss of the capability of self-repairing on "pain" on extreme low values of the energy-register,
 - a hardware-dependant decreasing of the power supply of the RAM (p.e. by increasing a resistor) on two times in series extreme low values of the energy-register,
 - a hardware-dependant decreasing of the power supply of the processor (p.e. by increasing a resistor) on three times in series extreme low values of the energy-register,and this energy-register is decremented after every action, where action means the execution of a number.

12. A method according to claim 10, wherein said step of (10c) "backing up the current values of

the processors registers" further comprising the steps of

- a) not only saving them for a later comparison but setting them to predefined initial conditions;
- b) setting them not only one time but several times to many different predefined initial conditions which means several executions of one number in step (10d) by these different initial conditions for to have a more efficient analysis-determinations of possible number-execution-effects in step (10e).

13. A method according to claim 12, wherein said step (10e) "analysing the effects of this opcode-like execution of the number" further comprising the step of determining the number=opcode's mnemonic and its related source- and destination-registers by regarding all execution-effects of every initial condition.

14. A method according to claim 13, further comprising the step of valuating the effects of the execution of the number in reference to its basic needs, which means positive values for numbers, which cause no pain or increase the energy-register and negative values for numbers which cause above defined "pain" or "hunger".

15. A method according to claim 14, further comprising the step of combining numbers and executing these combinations and valuating the effects of the executions of these combinations.

16. A method according to claim 15, comprising the step of running several of these said programs as an extra process=task.

17. A method according to claim 15, comprising the step of using a network topology where on two or more of the networked computers is running one of these programs.

18. A method according to claim 14, further comprising the step of analysing a pregiven code by executing larger getting sequences of it instead of executing number-combinations, for to evaluate the effects these code-sequences or at least of the complete program.

19. A method according to claim 18, further comprising the step of improving the analysed code in the direction of a pregiven programming-aim.

20. A method according to claim 15, further comprising the step of implementing calls to operation-system routines which are offered in a table with entrance-address and source- and destination-registers.

21. A method according to claim 20, further comprising the step of using only calls and combinations for further use, which got a positive value from a valuation-function, which appraises the valuability of the call-combination in reference to reaching a pregiven programming-aim, not causing fatal exceptions, not overwriting exception-vectors or the program, avoiding to use forbidden registers or extensive writes to memory or large jumps, etc.

ABSTRACT OF THE DISCLOSURE:

A method for generating a simple kind of computer based artificial consciousness, which means to give a in a computer running invention-pursuant program the capability to act and to know the effects of its actions and to plan further actions consciously. This is realized by giving the computer the capability to program its processor by its own and to plan that self-programming targeted. This works, because the computer learns to program in machine-code by its own and it has got a dynamical valuation system to weight if its actions are useful or not. Further basic needs like "no_pain" and "no_hunger" are modelled to make it act to fulfill its basic needs. It has also the capability to solve a pregiven by several formulas determined programming aim, which means to develop logical programs which then can be implemented by users into their projects.

DRAWINGS:

3.1 Relational Database of the AC-knowledge:

3.1.1 ER-Diagram of the AC-Database:

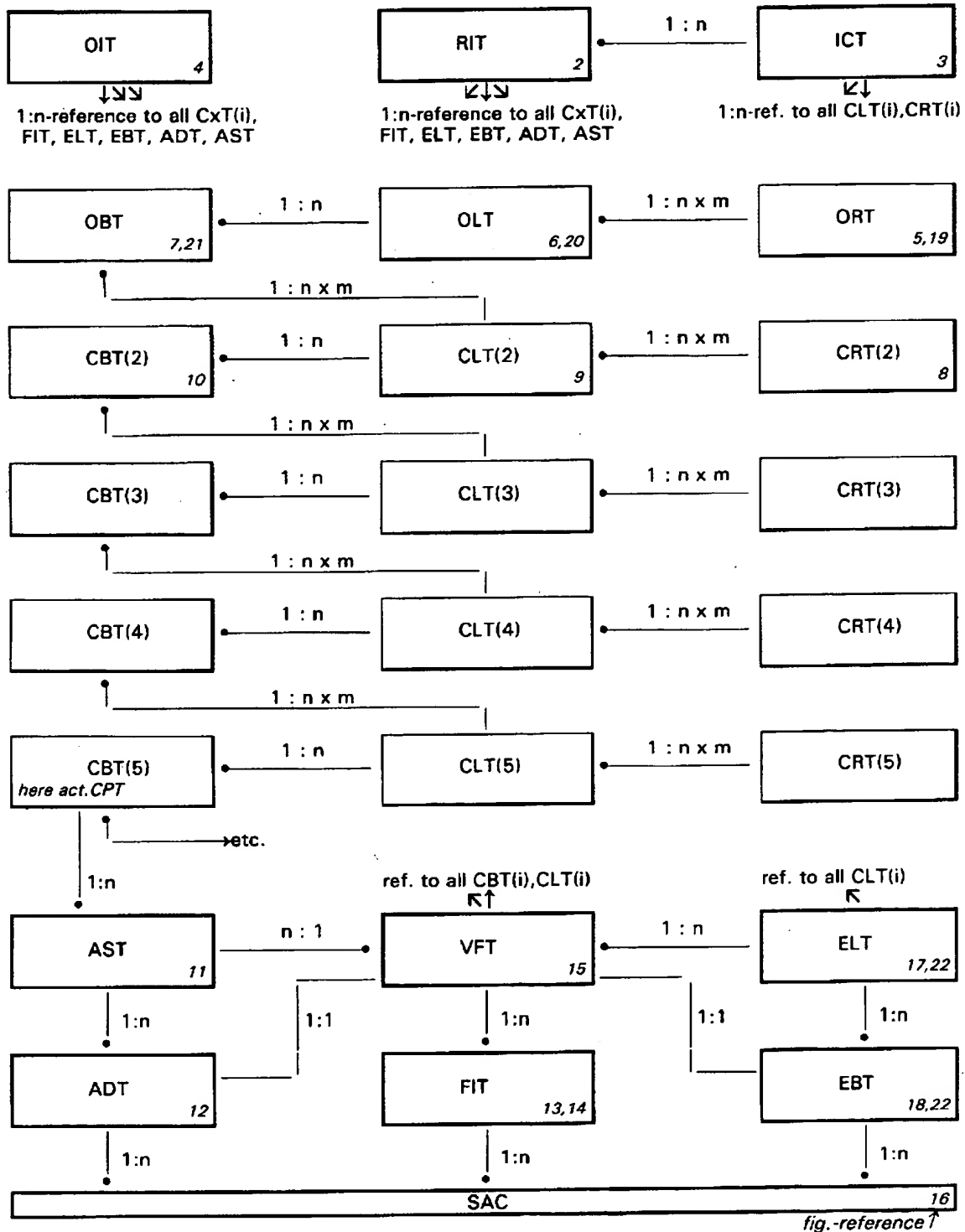


Fig. 1

3.1.2 Tables of the AC-Database:

Register-Identification-Table: [RIT: every processor-register gets a Reg.ID and a Reg.BitCode]

column:	datatype	value-range	meaning:
Register_ID (PK)	signed byte	-128..127	0 = Flags-reg., 1-... = data-reg., adr.reg., adr.reg.-destinations, FFP-reg., control-reg., debug-reg., etc.; neg.reg.ID = exception-vector-nr. (no processor-reg.)
Register BitCode	number	0..2 ¹²⁸⁻¹	2*Register ID, 0 if Register ID is negative.
Register_type	char(1)	1 Byte	type of register: # = flags-reg., D = data-reg., A = address-reg., V = adr.-reg.-destination, E = exception-vector, etc. (processor dependant).
Register number	byte	0..127	current number of the {register-type}-registers.
Register Description	varchar2(32)	≤32 Bytes	optional description of the register[-reference].

Fig.2a

Register ID	Register BitCode	Register type	Register number	Register Description
...	0	E	...	{for all Exception-Vectors}
-8	0	E	8	Privilege-Violation Exception
...	0	E	...	{for all Exception-Vectors}
0	1	#	0	Status-Register (\triangleq EFlags _π)
1	2	D	0	Data-Register D0
...	4	D	...	{for all Data-Registers D1-D6}
8	8	D	7	Data-Register D7
9	16	A	0	Address-Register A0
...	...	A	...	{for all Address-Registers A1-A6}
16	65536	A	7	Address-Register A7 (= USP!)
17	131072	V	0	Destination of Address-Register A0
...	...	V	...	{for all Adr.-Reg.-Destinations A1-A6}
24	16777216	V	7	Destination of Adr.-Reg. A7 [= (USP)]
25	33554432	v	0	Destination before Adr.Reg A0 [- (A0)]
...	...	v	...	{for all Adr.Reg.-Dest. before A1-A6}
32	\$1.0000.0000	v	7	Destination before Adr.Reg A7 [- (USP)]
33	\$2.0000.0000	F	0	Floating-Point Data-Register FPRO
...	{for all further Registers}

Fig.2b (RIT in a Motorola-Example)

Initial-Conditions-Table: [ICT: every register(-reference) gets 62 initial conditions]

column:	datatype	value-range	meaning:
IniConNr (PK)	signed byte	-31...+30	number of the initial-condition combination
Register ID (PK)	signed byte	0..127	see RIT
Register Value	integer	0..2 ³²⁻¹	value of the register(-reference) on actual IniConNr

Fig.3a

Therefore 62*#registers test-values are generated, p.e. using the following function:	
Register_Value(IniConNr, Register_ID) =	SGN(IniConNr) * INT(2*ABS(IniConNr/2) + ½) + prime number(3*Register_ID) or similar.
,where prime number(0)=0 and prime number(-n)=-prime number(n)	
[no 2 equal register(-destination)-values]	

Fig.3b

Operation-Identification-Table: [OIT: every processor-operation gets an Oper.ID and an Oper.BitCode]
 column: datatype value-range meaning:

Operation ID (PK)	signed byte	-1..63	bit of the Calculation BitCode - see table below.
Operation BitCode (FK)	number	0..2 ¹²⁸ -1	2 ⁿ Calculation ID - see table below.
Operation Type	char(5)	5 Bytes	5 characters-code of the operation-type, see Fig. 4c
Operation Mnemonic	char(5)	5 Bytes	abbreviation of the operation - see table below.
Operation Description	varchar2(32)	≤32 Bytes	optional description of the operation - see table below

Fig. 4a

Operation ID	Operation BitCode	Operation Type	Op.Mnemonic	Operation Description
-1	0	???	unknown operation
0	1	.I11?	TST	set flags in dependence of reg.(-ref.)
1	2	.I12!	NEG	negation amount
2	4	.I12!	NOT	bitwise inversion
3	8	:I02	MOVI	const.integer→register(-reference)
4	16	:I12+	ADDI	add constant integer
5	32	:I12-	SUBI	subtract constant integer
6	64	:I13*	MULI	multiply constant integer
7	128	:I23/	DIVI	divide by constant integer
8	256	:I13%	MODI	rest of integer-division
9	512	:I12*	SHLI	integer-times a duplication
10	1.024	:I12/	SHRI	integer-times a halvation
11	2.048	:I12	ORI	set bits set in a constant integer
12	4.096	:I12&	ANDI	clear bits not set in a const. integer
13	8.192	:I12?	BTSTI	check if int-th bit is set in reg.(-ref.)
14	16.384	:I12?	CMPI	reg.(-ref.)-comparison with integer
15	32.768	II22	MOV	move src.-reg.(ref.)→dest.reg(ref.)
16	65.536	II22+	ADD	addition of register(-reference)
17	131.072	II22-	SUB	subtraction of register(-reference)
18	262.144	II23*	MUL	multiplication of register(-reference)
19	524.288	II33/	DIV	division by register(-reference)
20	1.048.576	II33%	MOD	rest of division by register(-ref.)
21	2.097.152	II22*	SHL	register(-ref.)-times a duplication
22	4.194.304	II22/	SHR	register(-ref.)-times a halvation
23	8.388.608	II22	OR	set bits set in of register(-reference)
24	16.777.216	II22&	AND	clear bits not set in register(-ref.)
25	33.554.432	II21?	BTST	check if reg.(-ref.)-th bit is set
26	67.108.864	II21?	CMP	compare reg.(-ref.)1 with reg.(-ref.)2
27	134.217.728	:P00.	JMP	add integer to PC _u /EIP _π (=jump to)
28	268.435.456	CP1.<	JLT	jump if CMP <
29	536.870.912	CP1!>	JLE	jump if CMP ≤
30	1.073.741.824	CP1.=	JEQ	jump if CMP =
31	2.147.483.648	CP1!<	JGE	jump if CMP ≥
32	4.294.967.296	CP1!=	JNE	jump if CMP ≠
33	\$2.0000.0000	CP1.>	JGT	jump if CMP >
34	\$4.0000.0000	CP1!<	JPL	jump if ≥ 0
35	\$8.0000.0000	CP1.<	JMI	jump if < 0
36	\$10.0000.0000	CP1.^	JCS	jump if carry-flag is set
37	\$20.0000.0000	CP1!^	JCC	jump if carry-flag is clear
38	\$40.0000.0000	CP1.~	JVS	jump if overflow is set
39	\$80.0000.0000	CP1!~	JVC	jump if overflow is clear
40	\$100.0000.0000	CP2.<	DJMP	decrement and jump if reg.(-ref.) < 0
41	\$200.0000.0000	PS1..	CALL	PC _u /EIP _π →-(USP _u /ESP _π); + JUMP
42	\$400.0000.0000	SP11.	RET	(USP _u /ESP _π) + →PC _u /EIP _π
43	\$800.0000.0000	.I...	I???	unknown integer-operation
44	\$1000.0000.0000	.F...	F???	unknown floating-point-operation

45	\$2000.0000.0000	FF09	FINIT	initialise floating-point-unit
46	\$4000.0000.0000	FI12	FIST	store float.point-reg. → integer-reg.
47	\$8000.0000.0000	IF12	FILD	load integer-reg. → floating-point-reg.
48	\$1.0000 * 2 ³²	IF22+	FIADD	floating-point add constant integer
49	\$2.0000 * 2 ³²	IF22-	FISUB	floating-point subtract const.integer
50	\$4.0000 * 2 ³²	IF22*	FIMUL	floating-point multiply const.integer
51	\$8.0000 * 2 ³²	IF22/	FIDIV	floating-point divide by const.integer
52	\$10.0000 * 2 ³²	IF21?	FICMP	float.pt.compare with integer → flags
53	\$20.0000 * 2 ³²	:F02	FLD#	load constant to floating-point-reg.
54	\$40.0000 * 2 ³²	.F12!	FABS	build floating-point amount
55	\$80.0000 * 2 ³²	FF12	FLD	copy floating-point-register
56	\$100.0000 * 2 ³²	FF22+	FADD	add 2 floating-point-register
57	\$200.0000 * 2 ³²	FF22-	FSUB	subtract 2 floating-point-register
58	\$400.0000 * 2 ³²	FF22*	FMUL	multiply 2 floating-point-register
59	\$800.0000 * 2 ³²	FF22/	FDIV	divide one float.pt.reg. by another
60	\$1000.0000 * 2 ³²	.F12@	FSQRT	square-root of a floating-point-reg.
61	\$2000.0000 * 2 ³²	.F12@	FSIN	floating-point-sine
62	\$4000.0000 * 2 ³²	.F12@	FCOS	floating-point-cosine
63	\$8000.0000 * 2 ³²	.F12@	FATAN	floating-point arc-tangent
64	\$1 * 2 ⁴⁸	FF22*	FEXP2	y: = y * 2 ^x (anykind of exp.-func.)
65	\$2 * 2 ⁴⁸	FF22/	FLOG2	y: = x * log ₂ y (any kind of logarithm)
66	\$4 * 2 ⁴⁸	FF21?	FCMP	compare 2 float.-point-reg. → Flags
67	\$8 * 2 ⁴⁸	\$I11	SMOV	move from a special Register
68	\$10 * 2 ⁴⁸	I\$11	MOVS	move to a special Register
...

Fig.4b

... using the following operation-type character-codes:

<u>1st char. = source , 2nd char. = dest.:</u>	<p>? = unknown, ambitious letter for all possible following</p> <p>. = nothing</p> <p>:</p> <p>I = integer-register-[reference]-value</p> <p>F = floating-point register</p> <p>C = condition-code register (last byte in EFlags₃₁/SR₁₆)</p> <p>P = instruction-pointer / program-counter (EIP₃₁/PC₁₆)</p> <p>S = stack-pointer reference-value</p> <p>~ = comparison-operation → flags</p> <p>\$ = a special-register like flags-, control-, debug-, ... -reg.</p> <p>! = logical NOT for comparison in the 4th field</p>
<u>3rd char. = number of source-registers:</u>	including destination reg., if it's used as source-reg. too
<u>4th char. = number of dest.-registers:</u>	including flags-register but without the instruction-pointer
<u>5th char. = effect of arithmetic:</u>	<p>? = unknown</p> <p>. = none</p> <p>! = amount negation bitwise_inversion</p> <p>+</p> <p>- = subtraktion</p> <p>*</p> <p>/ = division</p> <p>% = rest of division</p> <p> = setting of bits (mostly bitwise OR)</p> <p>& = clearing of bits (mostly bitwise AND)</p> <p>@ = trigonometric- or exponential-function</p> <p>> = greater? (CC-flags dependant action)</p> <p>< = less? (CC-flags dependant action)</p> <p>= = equal? (CC-flags dependant action)</p> <p>^ = carry? (CC-flags dependant action)</p> <p>~ = overflow? (CC-flags dependant action)</p>

Fig.4c

OpCode-Register-Table: [ORT - by opcode icl, initial-conditions concerned registers and the effect]

column:		datatype	value-range	meaning:
OpCode	(PK)	integer	0..2 ³² -1	complete instruction, truncated if > 4 bytes
IniConNr	(PK)	signed byte	-31..30	current number of the used initial conditions
Register ID dest	(PK)	signed byte	0..127	one by execution concerned destination-reg. (see RIT)
Register ID source	(PK)	signed byte	-1,0..127	-1 or one possible source-register (see RIT).
value before change		integer	0..2 ³² -1	register(-reference)-value before it was changed
value after change		integer	0..2 ³² -1	register(-reference)-value after changing
gradient if unsigned		signed byte	-128..127	before/after-gradient, when defined as unsigned
gradient if signed		signed byte	-128..127	before/after-gradient, when defined as signed
value source		integer	0..2 ³² -1	value of a possible source-register(-reference)
Operations_BitCode		number	0..2 ¹²⁸ -1	bitmask, which flags all possible operations between this Register_ID_dest / Register_ID_source-combination (p.e. 2 + 2 = 2*2 using same reg.'s). Values see CIT, calculation see fig.19.

Fig.5

For every register- or register-reference-modification of the same opcode-execution one entry is generated, which gives information about the register(-reference)-values before and after the execution and further information about the degree of changing and with it a hint to a possible operation and a possible source-register which were used. (Packed-, nibble-, or BCD-operations are not considered.)

The last address-register is the stack-pointer. The last data-register is the "energy"-register.

An address-register can be every register which value can be a pointer to memory which destination can be accessed using this register as a reference.

Several registers can be modified simultaneous - therefore this additional 1:n table, where *Register_ID_dest* means the identity of the changed register. Sometimes many register(-references) could be the source for one operation - this quantum increases through the sum over all possible operations.

Therefore the following tables identify the used opcode and the concerned register(s):

OpCode-Leam-Table: [OLT - ascertained effect of the opcode using the concerning initial conditions]

column:		datatype	value-range	meaning:
OpCode	(PK)	integer	0..2 ³² -1	complete instruction, truncated if > 4 bytes
IniConNr	(PK)	signed byte	-31..30	number of used initial condition
active ChkSum corrupt		boolean	1 0	flag: checksum of active AC-program changed
inactive ChkSum corrupt		boolean	1 0	flag: checksum of inactive AC-program changed
Exception Vect changed		signed byte	-128...0	Register ID of the (first) overwritten exception-vector
multiple Exc Vect chg		boolean	1 0	more than one exception-vector was overwritten
Processor Mode Changed		boolean	1 0	flag: processor-mode changed (p.e. trace cleared)
Number of Exception		byte	0..N+1	exception-number [0:= no exception] (if 0=exc.:+1)
OpCode_length_or_jump		signed byte	-128..127	EIP _π /PC _μ after execution - EIP _π /PC _μ before execution -128=\$FF=long back-jump, 127=\$7F=long forward j.
CCR before execution		byte	0..255	CC-flags, which could cause a jump.
Register_changed_BitCode		number	0..2 ¹²⁸ -1	$\exists 2^{\text{ORT.Register ID dest}} \vee \text{ORT(opcode,IniConNr)}$
Register_source_BitCode		number	0..2 ¹²⁸ -1	$\exists 2^{\text{ORT.Register ID source}} \vee \text{ORT(opcode,IniConNr)}$
max_Operations_BitCode		number(19)	0..2 ¹²⁸ -1	$\exists \text{ORT.Calculation BitCode} \vee \text{ORT(opcode,IniConNr)}$
min_Operations_BitCode		number(19)	0..2 ¹²⁸ -1	$\exists \text{ORT.Calculation BitCode} \vee \text{ORT(opcode,IniConNr)}$
time of execution		integer	0..2 ³² -1	deci-seconds after {20.9.1994, 0:00:00,0 o'clock}
cycles of execution		byte	1..255	clock-cycles the opcode-execution needed
aim valuation		signed byte	-128..127	aim-attaining-valuation using above initial-conditions
gradient aim valuation		signed byte	-128..127	-"-difference to CLT(n-1, IniConNr).aim_valuation

Fig.6

OpCode-Base-Table: [OBT - ascertains the effect of the opcode-execution from the initial conditions]
 column: datatype value-range meaning:

OpCode	(PK)	integer	0..2 ³² -1	complete instruction, truncated if > 4 bytes
Execution counter		byte	0..255	number of the OLT-entries until now
FatalError_counter		byte	0..255	number of the opcode-caused fatal errors until now: Checksum_corrupt, Exception_Vect_changed, Trace_Bit_cheared, Processor_Mode_changed, and the exceptions without Divide-Error, Overflow.
low Error counter		byte	0..255	number of divide-errors plus overflow-exceptions
Jump longOp probability		signed byte	-128..127	probability that it's a long opcode or a jump
avg OpCpde jump length		signed byte	-128..127	average length of opcode or jump
OpCode len unconfirmed		boolean	1 0	min. one divergence from above average exists
avg cycles of execution		byte	1..255	average by opcode-execution needed clock-cycles
exec cycles unconfirmed		boolean	1..0	min. one divergence from above average exists
Register write probability		signed byte	-128..127	probability: opcode writes into a register
Register copy probability		signed byte	-128..127	probability: opcode copies register
Memory write probability		signed byte	-128..127	probability: opcode writes into memory
Memory copy probability		signed byte	-128..127	probability: opcode copies memory
Reg to Mem probability		signed byte	-128..127	probability: opcode copies reg. to adr.reg.-destination
Mem to Reg probability		signed byte	-128..127	probability: opcode copies adr.reg.-destination to reg.
Multi Reg write prob		signed byte	-128..127	probability: opcode writes into more than one register
Multi Mem write prob		signed byte	-128..127	probability: opcode writes to many adr.reg.-destination
Multi Reg to Mem prob		signed byte	-128..127	prob.: opcode copies ≥2 reg. to ≥2 adr.reg.-destination
Multi Mem to Reg prob		signed byte	-128..127	prob.: opcode copies ≥2 adr.reg.-destinations to ≥2 reg.
all_Reg_dest_BitCode		number	0..2 ¹²⁸ -1	∑ OLT.Register changed BitCode ∨ OLT(OpCode)
cut_Reg_dest_BitCode		number	0..2 ¹²⁸ -1	∑ OLT.Register changed BitCode ∨ OLT(OpCode)
all_Reg_source_BitCode		number	0..2 ¹²⁸ -1	∑ OLT.Register source BitCode ∨ OLT(OpCode)
cut_Reg_source_BitCode		number	0..2 ¹²⁸ -1	∑ OLT.Register source BitCode ∨ OLT(OpCode)
max Operation BitCode		number	0..2 ¹²⁸ -1	∑ OLT.max Operation BitCode ∨ OLT(OpCode)
min Operation BitCode		number	0..2 ¹²⁸ -1	∑ OLT.min Operation BitCode ∨ OLT(OpCode)
all Operation BitCode		number	0..2 ¹²⁸ -1	∑ OLT.min Operation BitCode ∨ OLT(OpCode)
cut Operation BitCode		number	0..2 ¹²⁸ -1	∑ OLT.max Operation BitCode ∨ OLT(OpCode)
max write value		integer	0..2 ³² -1	maximum of all destination-values
min write value		integer	0..2 ³² -1	minimum of all destination-values
avg write value		integer	0..2 ³² -1	average over all destination-values
max write gradient		integer	0..2 ³² -1	maximum gradient of the changed value
min write gradient		integer	0..2 ³² -1	minimum gradient of the changed value
avg write gradient		integer	0..2 ³² -1	average gradient of the changes value
evaluated source Register		signed byte	-1,0..127	ascertained source-register-ID (after OBT-evaluation)
evaluated_source_NumReg		signed byte	-128, -1, 0..127	-128 ≙ LOB means source-constant; 0..127 means a further source-register ID; none = -1 (after OBT-eval.)
evaluated dest Register		signed byte	-1, 0..127	ascertained destination-register after OBT-evaluation
evaluated_dest_Register2		signed byte	-1, 0..127	possible 2nd dest.-reg. after OBT-evaluation or flags- reg. (2 real dest.-reg. ⇒ flags-reg. not appreciated).
evaluated Operation ID		signed byte	-1,0..63	ascertained operation-ID (after OBT-evaluation)
Confirmation counter		byte	0..255	counter: same effects on other initial conditions
max aim valuation		signed byte	-128..127	max. valuability of the opcode for aim-attaining
avg aim valuation		signed byte	-128..127	average valuability of the opcode for aim-attaining
max_grad_aim_valuation		signed byte	-128..127	max. gradient of aim-attaining in relation to the by 1 shorter opcode-combination of the last CBT(i-1).
avg_grad_aim_valuation		signed byte	-128..127	average gradient concerning above "-"

Fig. 7

Datatypes: Boolean 1 Bit, BCD/Nibble 4 Bit, Byte/char(1) 8 Bit, Word/short 16 Bit, DWord/Integer 32 Bit, QWord/number(19) 64 Bit, number/number(38,0) 128 Bit (38 digits ≙ 16 bytes), varchar2(N) string of variable length with max.N characters, long very long string with max(longDef) characters.

The following combination-tables are created dynamically - they have the same non-PK-columns, like the OBT respectively OLT respectively ORT, but for every additional number of combinations a further more opcode in the PK:

Combination-Register-Table: [CRT(i), i = number of opcodes in the combination, CRT(1) = ORT]
column: datatype value-range meaning:

OpCode 1 (PK)	integer	0-2 ³² -1	opcode #1 (first of the combination)
{for all OpCodes} (PK)	all integer	0-2 ³² -1	{for all opcodes from #2 up to N-1}
OpCode N (PK)	integer	0-2 ³² -1	opcode#N (last of the combination)
IniConNr (PK)	signed byte	-31..30	current number of the used initial conditions
Register ID dest (PK)	signed byte	0..127	one by execution concerned destination-reg. (see RIT)
Register ID source (PK)	signed byte	-1..127	-1 or one possible source-register (see RIT).
{same non-PK columns like in the Opcode-Register-Table.}	see above	see above	same non-PK columns like ORT.

Fig.8

Combinations-Learn-Table: [CLT(i), i = number of opcodes in the combination, CLT(1) = OLT]
column: datatype value-range meaning:

OpCode 1 (PK)	integer	0-2 ³² -1	opcode #1 (first of the combination)
{for all OpCodes} (PK)	all integer	0-2 ³² -1	{for all opcodes from #2 up to N-1}
OpCode N (PK)	integer	0-2 ³² -1	opcode#N (last of the combination)
IniConNr (PK)	signed byte	-31..30	current number of the used initial conditions
{same non-PK columns like in the Opcode-Learn-Table.}	see above	see above	same non-PK columns like OLT.

Fig.9

Combinations-Base-Table: [CBT(i), i = number of opcodes in the combination, CBT(1) = OBT]
column: datatype value-range meaning:

OpCode 1 (PK)	integer	0-2 ³² -1	opcode #1 (first of the combination)
{for all OpCodes} (PK)	all integer	0-2 ³² -1	{for all opcodes from #2 up to N-1}
OpCode N (PK)	integer	0-2 ³² -1	opcode#N (last of the combination)
{same non-PK columns like in the Opcode-Base-Table.}	see above	see above	same non-PK columns like OBT.

Fig.10

CBT(max.) = CPT = Combination-Plan-Table = point of origin of the outcoming program.

Programming-aim and valuation-function tables:***Aim-Solution-Table: [AST - solutions of all programming-aims]***

column: datatype value-range meaning:

Aim ID (PK)	short	0..65535	identifier of the programming-aim
Solution Nr (PK)	byte	0..255	number of the solution-program
aim Program	long	String	opcode-combination of the solution here as a string
Program length	short	1..65535	length of the solution-program in doublewords
cycles of execution	integer	1..2 ³² -1	execution-time in clock-cycles of the solution-program
used Registers BitCode	number	1..2 ¹²⁸ -1	bitcode of all in the solution-program used registers
used Operations BitCode	number	1..2 ¹²⁸ -1	bitcode of all in the solution-program used opcodes
used aim Valuation Func	signed short	0..32767	identifier of the used aim-distance valuation-function

Fig. 11***Aim-Description-Table: [ADT - identification and description of programming-aim]***

column: datatype value-range meaning:

Aim ID (PK)	short	0..65535	Identifier of the programming-aim
aim Description	varchar2(32)	≤32 Bytes	description of the programming-aim
used Processor Mode	integer	0-2 ³² -1	flags above CC control-register-bits
all dest Register BitCode	number	1..2 ¹²⁸ -1	bitcode of all output-registers in this task
all source Register BitCode	number	1..2 ¹²⁸ -1	bitcode of all input-registers in this task
unused Register BitCode	number	1..2 ¹²⁸ -1	bitcode of all registers which should not be used
unused_Operation_BitCode	number	0..2 ¹²⁸ -1	bitcode of all opcode-IDs which are not allowed to use in this task (default = \$0000.0000:0000.0000)
aim_implement_solutions	long	String	string of the Aim ID's (words) of earlier solutions, which could be implemented here.
aim fulfill valuation mode	boolean	0 1	mode of aim-valuation: 0 = SQL ; 1 = machine-code
aim fulfilled Flag Function	varchar2(99)	≤99 Bytes	boolean aim-attained recognition-function as a string
aim Valuation FunctionID	signed short	0..32767	identifier of the valuation-function (see VFT)

Fig. 12***Functions-Identification-Table: [FIT - table of the basic subfunctions used in the valuation-function]***

a.) for SQL-functions:

column: datatype value-range meaning:

Function ID (PK)	signed byte	-1..127	identification-number of the basic function
Function BitCode	number(19)	0..2 ⁶⁴ -1	bitcode of this basic function (only one bit is set)
Function Name	char(5)	5 Bytes	function-name
Function Type	byte	0..99	0 = value, 1 = unitary, 2 = binary, 3 = ternary, ...
Function Flatten	signed byte	-127..127	degree of flattening [+ = steepening, - = flattening]
Function Template	varchar2(99)	≤99 Bytes	SQL function-template
Function Description	varchar2(99)	≤99 Bytes	optional description of the basic sub-function

Fig. 13a

F.ID	Function BitCode	F.Name	F.T.	F.F.	Function Template	Function Description
0	1	NOM	0	0	< following value >	a constant number follows
1	2	ENGY	0	0	ELT.energy_after	energy after execution
2	4	GRAD	0	0	ELT.energy_after -ELT.energy_before	energy-gradient
3	8	VALUE	0	0	CLT(n). <columnNr>	value in the following column-number (last row)
4	16	EREG	0	0	< EnergyRegister ID >	ID of the energy-register
5	32	SGN	1	0	SIGN(%s)	algebraic sign
6	64	ROUND	1	0	ROUND(%s, 0)	rounded
7	128	INT	1	0	FLOOR(%s)	truncated after dec.point
8	256	ABS	1	0	ABS(%s)	amount
9	512	NEG	1	0	-(%s)	negation
10	1.024	ADD	2	1	((%s) + (%s))	addition
11	2.048	SUB	2	-1	((%s) - (%s))	subtraction
12	4.096	MUL	2	4	((%s) * (%s))	multiplication
13	8.192	DIV	2	-4	((%s) / (%s))	division
14	16.384	MOD	2	-2	MOD(%s, %s)	rest of division
15	32.767	SQRT	1	-8	SQRT(%s)	square-root
16	\$1.0000	CBRT	1	-12	POWER(%s, 1/3)	cube-root
17	\$2.0000	MIN	2	-10	LEAST(%s, %s)	minimum
18	\$4.0000	MAX	2	-10	GREATEST(%s, %s)	maximum
19	\$8.0000	LN	1	-48	LN(%s)	natural logarithm
20	\$10.0000	EXP	1	48	EXP(%s)	nat. exponential-function
21	\$20.0000	LD	1	-32	LOG(2, %s)	logarithm on base 2
22	\$40.0000	POT2	1	32	POWER(2, %s)	2nd power of ...
23	\$80.0000	SIN	1	-64	SIN(%s)	sine
24	\$100.0000	COS	1	-64	COS(%s)	cosine
25	\$200.0000	TAN	1	127	TAN(%s)	tangent
26	\$400.0000	ASIN	1	127	ASIN(%s)	arc sine
27	\$800.0000	ACOS	1	127	ACOS(%s)	arc cosine
28	\$1000.0000	ATAN	1	-127	ATAN(%s)	arc tangent
29	\$2000.0000	SINH	1	40	SINH(%s)	sine hyperbolic
30	\$4000.0000	COSH	1	50	COSH(%s)	cosine hyperbolic
31	\$8000.0000	TANH	1	-127	TANH(%s)	tangent hyperbolic
32	\$1.0000.0000	LOG	2	-64	LOG(%s, %s)	logarithm
33	\$2.0000.0000	POT	2	64	POWER(%s, %s)	n-th power of ...
34	\$4.0000.0000	OR	2	1	((%s) (%s))	bitwise OR
35	\$8.0000.0000	AND	2	-1	((%s) & (%s))	bitwise AND
36	\$10.0000.0000	EQ	2	-127	DECODE(%s, %s, 1, 0)	equal
37	\$20.0000.0000	LE	2	-127	DECODE(GREATEST(%s - %s, 0), 0, 1, 0)	less-equal
38	\$40.0000.0000	GE	2	-127	DECODE(LEAST(%s - %s, 0), 0, 1, 0)	greater-equal
39	\$80.0000.0000	FRAME	1	-10	GREATEST(LEAST(%s, +127), -128)	frame to signed-byte: max. = 127, min. = -128
40	\$100.0000.0000	BITS	1	-64	(1 & %s) + (2 & %s) / 2 + (4 & %s) / 4 + (8 & %s) / 8 +	number of bits in the integer value
41	\$200.0000.0000	S_REG	0	0	ADT.all_source_Registers- BitCode	bitcode of the source- register
42	\$400.0000.0000	D_REG	0	0	ADT.all_dest_Registers BitCode	bitcode of dest.-register
43	\$800.0000.0000	AIM_F	0	0	VAL(ADT.aim_fulfilled_Flag- Function)	result of the boolean aim-fulfilled-function
...

Fig. 13b

b.) for machine-code functions:

column: datatype value-range meaning:

Function ID (PK)	signed byte	-1..127	identification-number of the basic function
Function BitCode	number(19)	0..2 ⁶⁴ -1	bitcode of this sub-function
Operations BitCode	number	0..2 ¹²⁸ -1	bitcode of the used opcodes in this function
Registers BitCode	number	0..2 ¹²⁸ -1	bitcode of the used registers in this function
Function Name	char(5)	5 Bytes	short notation of this sub-function
Function Type	byte	0..99	0 = value, 1 = unitary, 2 = binary, 3 = ternary, ...
Function Flatten	signed byte	-128..127	degree of function-flattening ($1 \triangleq f(x) = x$)
Function OpCodes	number	1..2 ¹²⁸ -1	sub-function in machine-code
Function Description	varchar2(99)	≤99 Bytes	optional description of the sub-function

Fig. 14a

Func.ID	Func.BitCode	Oper.BitCode	Reg.BitCode	Func.Name	F.T.	Func.OpCodes	Function Descript.
0	1	\$A000.4008	<energy>	FRAME	1	s.b. Func.1	prevent overflow
1	2	\$28800.0009	<energy>	SGN	1	s.b. Func.2	signum
2	4	\$0000.0002	<energy>	NEG	1	<NEG>	negation
3	8	\$0000.0200	<energy>	MUL2	1	<SHLI>	division by 2
4	16	\$0000.0400	<energy>	DIV2	1	<SHRI>	multiplication by 2
5	32	\$0000.0100: 4A00.8018	<DO> <en>	ILOG2	1	s.b. Func.3	mogarithm dualis
6	64	\$1000.C000: 0000.0000	<FPO> <en>	ISQRT	1	s.b. Func.4	square-root
7	128		s. 1.4.2	ICBRT	1	s.above 1.4.2	cube-root
8	256	\$0000.8000	<en-1> <en>	MOV	2	<MOV>	copying of one reg. before energy-reg.
9	512	\$0000.8000	<en-1> <en>	SWAP	2	s.b. Func.5	swap with reg. before energy-reg.
10	1024	\$0001.0000	<en-1> <en>	ADD	2	<ADD>	addition with "-"
11	2048	\$0002.0000	<en-1> <en>	SUB	2	<SUB>	subtraction of "-"
12	4096	\$0004.0000	<en-1> <en>	MUL	2	<MUL>	multiplied with "-"
13	8192	\$0008.0000	<en-1> <en>	DIV	2	<DIV>	division by "-"
...

Fig. 14b

Function:	OpCodes of: (machine-code compilation of these mnemonics, here a Motorola-Example)
Func.1	CMPI 127,(E) ; JLE (+2) ; MOVI #127,(E) ; CMPI -128,(E) ; JGE (+2) ; MOVI #-128,(E)
Func.2	TST (E) ; JGE (+3) ; MOVI #-1,(E) ; JMP (+5) ; JGT (+3) ; MOVI #0,(E) ; JMP (+2) ; MOVI #+1,(E)
Func.3	MOVI #31,DO ; BTST DO,(E) ; JEQ (+3) ; DJMP DO,(-2) ; ADDI #1,DO ; MOVE DO,(E)
Func.4	FILD (E) ; FSQRT ; FIST (E)
Func.5	MOVE (E-1),-(A7) ; MOVE (E),(E-1) ; MOVE (A7)+,(E)

Fig. 14c

Valuation-Function-Table: [VFT - Table of the valuation-functions]

column: datatype value-range meaning:

Valuation Function ID (PK)	signed short	± 32767	identifier of the valuation-function (energyspecif. neg.)
Valuation_Function_Type	char(1)	'E' 'A'	'E' = energy-valuation, 'A' = valuation for reaching closeness to programming-aim, ... (maybe further)
Valuation Function Mode	boolean	0 1	0 = SQL-mode ; 1 = machine-code mode
Valuation_Function	varchar2(99)	≤ 99 Bytes	valuation-function for energy- or aim-attainment
execution counter	integer	0-2 ³² -1	number of uses of this valuation-function
used Functions BitCode	number(19)	0..2 ⁶⁴ -1	BitCodes of all subfunctions
Function ID Chain	varchar2(99)	≤ 99 Bytes	chain of subfunctions (one byte ≙ one Function ID)
avg Func execution time	integer	0-2 ³² -1	average by val.-func.-execution needed clock-cycles
boundary value counter	integer	0-2 ³² -1	counter incremented if the result is -128 or +127
low value counter	integer	0-2 ³² -1	counter incremented if the result inside ± 16
Valuation_Function_value	signed byte	-128..127	valuability of the valuation-function = SAC.Self-Valuation Aim/Energy(Valuation Function, Values)

Fig. 15a Initial Entries for Energy-Valuation and Aim-Closeness-Valuation:

ID	Ty	M	Valuation Function
-1	'E'	0	MAX[MIN[SGN(EnergyReg' - EnergyReg°) · SORT(EnergyReg' - EnergyReg°) - 32 · Y[CLT(i).Register_changed_BitCode & (1 2 · Energy_Register_ID)] , +127], -128]
0	'A'	0	MAX[MIN[16 · Y[CLT(i).Register_changed_BitCode & ADT.all_dest_Register_BitCode] + 16 · Y[CLT(i).Register_source_BitCode & ADT.all_source_Register_BitCode] + 32 · ADT.aim_fulfilled_Flag_Function(Aim_ID) - CLT(i).Processor_Mode_changed - ¼ · CLT(i).cycles_of_execution - (CLT(i).active inactive_ChkSum_corrupt) - (CLT(i).Exception_vect_changed > 0) - (CLT(i).Number_of_Exception > 0) - ½ (CLT(i).OpCode_length_or_jump > 4 or ≤ 0) , +127], -128]

ex#	used F. BitCode	Function ID chain	ex.T	bdy#	low#	F.Val
0	\$189.0040.983B	2,5; 2,15; 12; 4,22,3,11,35,40,1,32,12; 11; 39	0	0	0	0
0	\$EE9.0001.3AAA	3,11,42,35,1,16,12; 3,12,41,35,1,16,12,10; 43,1,32,10, 3,7,11; 3,16,1,5,13,11; 3,3,11; 3,5,11 3,5,5,10; 3,8,5,10; 3,9,1,0,37,11; 3,9,1,5,38,11; 39	0	0	0	0

Fig. 15b**Status of the Artificial Consciousness: [SAC - status-values of the AC-program (only 1 row)]**

column: datatype value-range meaning:

Programm StartDate	timestamp	datetime	date and time of the start of the AC-program
actual Processor Mode	integer	0-2 ³² -1	flags above CCR control-register-bits
actual CPT index	byte	1..255	CBT(max(i)=actual CPT Nr) = actual CPT
CxT counter	short	1..65535	number of creations of the dynamic CxT-tables
Aims total	short	1..65535	number of total programming-aims
Aims solved	short	0..65535	number of solved programming-aims
actual Aim ID	short	0..65535	ID of the actual programming-aim
Aim_Valuation_Mode	boolean	0 1	mode of the programming-aim-specific valuation-function: 0 = SQL-mode ; 1 = machine-code mode
Aim_Valuation_FunctionID	signed short	0..32767	actual VFT.Valuation_Function_ID referring the closeness to the programming-aim
Aim_Self_Valuation_Func	varchar2 (400)	max.400 Chars.	PL/SQL-valuation-function referring the efficiency of the valuation-function
Energy_Valuation_Mode	boolean	0 1	mode of the energyspecific valuation-function 0 = SQL-mode ; 1 = machine-code mode
Energy_Valuation_Func ID	signed short	-1...-32768	actual VFT.Valuation_Function_ID for energy-valuation
Energy_Self_Valuation_Func	varchar2 (400)	max.400 Chars.	PL/SQL-valuation-function referring the efficiency of the energyspecific valuation-function
max Valuation Function	signed short	0..32767	highest ID of all valuation-functions in the VFT.
min Valuation Function	signed short	-1...-32768	lowest ID of all valuation-functions in the VFT.

Fig. 16

Energy-Learn-Table: [ELT - appraises energyspecific actions in dependence of the used initial-conditions]

column: datatype value-range meaning:

Energy_action (PK)	number	0..2 ¹²⁸ -1	max.16 byte opcode-combination of the action which changed the energy-register.
IniConNr (PK)	signed byte	-31..30	number of the used initial condition
Energy_before	integer	0..2 ³² -1	energy-register before execution
Energy_after	integer	0..2 ³² -1	energy-register after execution
min Operations BitCode	number	0..2 ¹²⁸ -1	bitcode of the probably used opcodes.
max Operations BitCode	number	0..2 ¹²⁸ -1	bitcode of the possibly used opcodes.
Register changed BitCode	number	1..2 ¹²⁸ -1	bitcode of the by action changed registers.
Register source BitCode	number	1..2 ¹²⁸ -1	bitcode of the probable source-registers.
used cycles of execution	short	1..65535	needed clock cycles for the energyspecific action
Energy valuation	signed byte	-128..127	result of the actual VFT.Energy valuation Function
Valuation Function ID	signed short	-1..-32768	used energyspecific valuation-function

Fig. 17

Energy-Base-Table: [EBT - evaluation of the energyspecific actions]

column: datatype value-range meaning:

Energy_action (PK)	number	0..2 ¹²⁸ -1	max.16 byte opcode-combination of the action which changed the energy-register.
Execution counter	byte	0..255	number of the ELT-entries until now.
FatalError_counter	byte	0..255	number of the occurred fatal errors: fatal errors correlate the columns 3-7 of the above learn-table, except Divide-Error or Overflow-Exc.
low Error_counter	byte	0..255	number of Divide-Errors or Overflow-Exceptions
avg Energy_after	integer	0..2 ³² -1	average energy-value after the action
all_Reg_dest_BitCode	number	0..2 ¹²⁸ -1	\exists ELT.Register changed BitCode \forall ELT(OpCode)
cut_Reg_dest_BitCode	number	0..2 ¹²⁸ -1	ζ ELT.Register changed BitCode \forall ELT(OpCode)
all_Reg_source_BitCode	number	0..2 ¹²⁸ -1	\exists ELT.Register source BitCode \forall ELT(OpCode)
cut_Reg_source_BitCode	number	0..2 ¹²⁸ -1	ζ ELT.Register source BitCode \forall ELT(OpCode)
max_Operation_BitCode	number	0..2 ¹²⁸ -1	\exists ELT.max Operation BitCode \forall ELT(OpCode)
min_Operation_BitCode	number	0..2 ¹²⁸ -1	ζ ELT.min Operation BitCode \forall ELT(OpCode)
all_Operation_BitCode	number	0..2 ¹²⁸ -1	\exists ELT.min Operation BitCode \forall ELT(OpCode)
cut_Operation_BitCode	number	0..2 ¹²⁸ -1	ζ ELT.max Operation BitCode \forall ELT(OpCode)
max write value	integer	0..2 ³² -1	maximum of all energy-values after energy-action
min write value	integer	0..2 ³² -1	minimum of all energy-values after energy-action
avg write value	integer	0..2 ³² -1	average of all energy-values after energy-action
max write gradient	integer	0..2 ³² -1	maximum gradient of the changes energy-register
min write gradient	integer	0..2 ³² -1	minimum gradient of the changes energy-register ##
avg write gradient	integer	0..2 ³² -1	average gradient of the changes energy-register
equal value probability	signed byte	-128..127	probability of equal result of energyspecific action
avg Energy gradient	signed int	$\pm 2^{31}$	average value-gradient of this energyspecific action
equal Gradient probability	signed byte	-128..127	probability: gradient is constant
avg cycles of execution	short	1..65535	average needed clock cycles for this action
avg Energy valuation	signed byte	-128..127	result of the actual VFT.Energy valuation Function
Valuation_Function_ID	signed short	-1..-32768	ID of the used energy-valuation-function

Fig. 18

3.2 Flowchart of the AC-Program:

3.2.1 CxT(i) value assignments:

ORT & CRT(i) value assignments:

ORT.Register ID dest := $\log_2(\text{Bit}(\text{OLT.Register changed Mask}), \text{of the regarded changing})$
ORT.Register ID source := Register ID(C°), if ORT.calculation code > 0, otherwise -1
ORT.value before change := value(Register ID dest), before opcode-execution
ORT.value after change := value(Register ID dest), after opcode-execution
ORT.gradient if signed := MAX[MIN[ORT.value after change - ORT.value before change, +127], -128]
ORT.gradient if unsigned := MAX[MIN[ORT.value after change - ORT.value before change, +127], -128]
ORT.Operation BitCode := $1 \cdot (\text{Flags}' \neq \text{Flags}^\circ) \&\& \vee (V' = V^\circ) \&\& [\text{NF} \&\& (V_1^\circ < 0) \mid \mid \text{ZF} \&\& (V_1^\circ = 0)]$ $+ 2 \cdot [(V_1' = -V_1^\circ) \&\& \vee (V' = V^\circ)] + 4 \cdot [(V_1' = -V_1^\circ) \&\& \vee (V' = V^\circ)] + 8 \cdot [(V_1' = 0 \text{LB}) \&\& \vee (V' = V^\circ)]$ $+ 16 \cdot [(V_1' = V_1^\circ + 0 \text{LB}) \&\& \vee (V' = V^\circ)] + 32 \cdot [(V_1' = V_1^\circ - 0 \text{LB}) \&\& \vee (V' = V^\circ)] + 64 \cdot [(V_1' = V_1^\circ \cdot 0 \text{LB}) \&\& \vee (V' = V^\circ)]$ $+ 128 \cdot [(V_1' = V_1^\circ / 0 \text{LB}) \&\& \vee (V' = V^\circ)] + 256 \cdot [(V_1' = V_1^\circ \% 0 \text{LB}) \&\& \vee (V' = V^\circ)] + 512 \cdot [(V_1' = V_1^\circ \cdot 2^\circ 0 \text{LB}) \&\& \vee (V' = V^\circ)]$ $+ 2^{10} \cdot [(V_1' = V_1^\circ / 2^\circ 0 \text{LB}) \&\& \vee (V' = V^\circ)] + 2^{11} \cdot [(V_1' = V_1^\circ 0 \text{LB}) \&\& \vee (V' = V^\circ)] + 2^{12} \cdot [(V_1' = V_1^\circ \& 0 \text{LB}) \&\& \vee (V' = V^\circ)]$ $+ 2^{13} \cdot (\text{Flags}' \neq \text{Flags}^\circ) \&\& \vee (V' = V^\circ) \&\& [(2\text{F} = 1) \&\& (2^\circ 0 \text{LB} \sim V^\circ) \mid \mid (2\text{F} = 0) \&\& (2^\circ 0 \text{LB} V_1^\circ)]$ $+ 2^{14} \cdot (\text{Flags}' \neq \text{Flags}^\circ) \&\& \vee (V' = V^\circ) \&\& [\text{NF} \&\& (V_1^\circ < 0 \text{LB}) \mid \mid \text{ZF} \&\& (V_1^\circ = 0 \text{LB})] + 2^{15} \cdot [(V_1' = C_1^\circ) \&\& \vee (V' = V^\circ)]$ $+ 2^{16} \cdot [(V_1' = V_1^\circ + C_1^\circ) \&\& \vee (V' = V^\circ)] + 2^{17} \cdot [(V_1' = V_1^\circ - C_1^\circ) \&\& \vee (V' = V^\circ)] + 2^{18} \cdot [(V_1' = V_1^\circ \cdot C_1^\circ) \&\& \vee (V' = V^\circ)]$ $+ 2^{19} \cdot [(V_1' = V_1^\circ / C_1^\circ) \&\& \vee (V' = V^\circ)] + 2^{20} \cdot [(V_1' = V_1^\circ \% C_1^\circ) \&\& \vee (V' = V^\circ)] + 2^{21} \cdot [(V_1' = 2^\circ C_1^\circ) \&\& \vee (V' = V^\circ)]$ $+ 2^{22} \cdot [(V_1' = V_1^\circ / 2^\circ C_1^\circ) \&\& \vee (V' = V^\circ)] + 2^{23} \cdot [(V_1' = V_1^\circ C_1^\circ) \&\& \vee (V' = V^\circ)] + 2^{24} \cdot [(V_1' = V_1^\circ \& C_1^\circ) \&\& \vee (V' = V^\circ)]$ $+ 2^{25} \cdot (\text{Flags}' \neq \text{Flags}^\circ) \&\& \vee (V' = V^\circ) \&\& [(2\text{F} = 1) \&\& (2^\circ C_1^\circ \sim V_1^\circ) \mid \mid (2\text{F} = 0) \&\& (2^\circ C_1^\circ V_1^\circ)]$ $+ 2^{26} \cdot (\text{Flags}' \neq \text{Flags}^\circ) \&\& \vee (V' = V^\circ) \&\& [\text{NF} \&\& (V_1^\circ < C_1^\circ) \mid \mid \text{ZF} \&\& (V_1^\circ = C_1^\circ)]$ $+ 2^{27} \cdot [(IP' \leq IP^\circ) \mid \mid (IP' > IP^\circ + 4)] \&\& (\text{Flags}' = \text{Flags}^\circ) \&\& \vee (V' = V^\circ)$ $+ 2^{28} \cdot [(IP' \leq IP^\circ) \mid \mid (IP' > IP^\circ + 4)] \&\& (\text{Flags}' = \text{Flags}^\circ) \&\& \vee (V' = V^\circ) \&\& [\text{NF} \&\& \text{IVF} \mid \text{INF} \&\& \text{VF}] + \dots \vee \text{Jcc}(\text{CCR})$ $+ 2^{40} \cdot [(IP' \leq IP^\circ) \mid \mid (IP' > IP^\circ + 4)] \&\& (V_1' = V_1^\circ - 1) \mid \mid (V_1' = -1) \&\& (\text{Flags}' = \text{Flags}^\circ) \&\& \vee (V' = V^\circ)$ $+ 2^{41} \cdot [(IP' = IP^\circ \pm 0 \text{LB}) \&\& (SP) = IP^\circ] \&\& (\text{Flags}' = \text{Flags}^\circ) \&\& \vee (V' = V^\circ)$ $+ 2^{42} \cdot [(IP' = -4(SP)) \&\& (\text{Flags}' = \text{Flags}^\circ) \&\& \vee (V' = V^\circ)] + 2^{43} \cdot [(V_1' \neq V_1^\circ) \&\& (! \text{other_Integer_Operation_BitCode})]$ $+ 2^{44} \cdot [(V_F' \neq V_F^\circ) \&\& (! \text{other_FloatingPoint_Operation_BitCode})] + 2^{45} \cdot [(\text{CCR} \text{Flags}' = 0) \&\& \vee (V_F' = 0)]$ $+ 2^{46} \cdot [(V_1' = C_F^\circ) \&\& \vee (V' = V^\circ)] + 2^{47} \cdot [(V_F' = C_1^\circ) \&\& \vee (V' = V^\circ)] + 2^{48} \cdot [(V_F' = V_F^\circ + C_1^\circ) \&\& \vee (V' = V^\circ)]$ $+ 2^{49} \cdot [(V_F' = V_F^\circ - C_1^\circ) \&\& \vee (V' = V^\circ)] + 2^{50} \cdot [(V_F' = V_F^\circ \cdot C_1^\circ) \&\& \vee (V' = V^\circ)] + 2^{51} \cdot [(V_F' = V_F^\circ / C_1^\circ) \&\& \vee (V' = V^\circ)]$ $+ 2^{52} \cdot (\text{Flags}' \neq \text{Flags}^\circ) \&\& \vee (V' = V^\circ) \&\& [\text{NF} \&\& (V_F^\circ < C_1^\circ) \mid \mid \text{ZF} \&\& (V_F^\circ = C_1^\circ)]$ $+ 2^{53} \cdot [(V_F' = 1.0) \mid \mid (V_F' = 0.0) \mid \mid (V_F' = \pi) \mid \mid (V_F' = e)] \&\& \vee (V' = V^\circ)$ $+ 2^{54} \cdot [(V_F' = -V_F^\circ) \&\& (V_F^\circ < 0) \&\& \vee (V' = V^\circ)] + 2^{55} \cdot [(V_F' = C_F^\circ) \&\& \vee (V' = V^\circ)]$ $+ 2^{56} \cdot [(V_F' = V_F^\circ + C_F^\circ) \&\& \vee (V' = V^\circ)] + 2^{57} \cdot [(V_F' = V_F^\circ - C_F^\circ) \&\& \vee (V' = V^\circ)]$ $+ 2^{58} \cdot [(V_F' = V_F^\circ \cdot C_F^\circ) \&\& \vee (V' = V^\circ)] + 2^{59} \cdot [(V_F' = V_F^\circ / V_F^\circ) \&\& \vee (V' = V^\circ)] + 2^{60} \cdot [(V_F' \cdot V_F' = V_F^\circ) \&\& \vee (V' = V^\circ)]$ $+ 2^{61} \cdot [V_F' = \sin(V_F^\circ)] \&\& \vee (V' = V^\circ) + 2^{62} \cdot [V_F' = \cos(V_F^\circ)] \&\& \vee (V' = V^\circ) + 2^{63} \cdot [(V_F' = \text{atan}(V_F^\circ)) \&\& \vee (V' = V^\circ)]$ $+ 2^{64} \cdot [(V_F' = V_F^\circ \cdot 2^\circ V_{F-1}^\circ) \&\& \vee (V' = V^\circ)] + 2^{65} \cdot [(V_F' = V_{F-1}^\circ \cdot \log_2(V_F^\circ)) \&\& \vee (V' = V^\circ)]$ $+ 2^{66} \cdot (\text{Flags}' \neq \text{Flags}^\circ) \&\& \vee (V' = V^\circ) \&\& [\text{NF} \&\& (V_F^\circ < C_F^\circ) \mid \mid \text{ZF} \&\& (V_F^\circ = C_F^\circ)] + 2^{67} \cdot [(V_1' = C_s^\circ) \&\& \vee (V' = V^\circ)]$ $+ 2^{68} \cdot [(V_s' = C_1^\circ) \&\& \vee (V' = V^\circ)] + \dots$, where $V' = \text{value_after_change} (\neg \text{Flags})$, $V^\circ = \text{value_before_change}$ $C^\circ = \text{value}(\text{Register_ID_source})$. Here has to be checked over all Register_ID_source(eq.kind). Though equal Register-ID's in the PK several bits can be set. [p.e. because $4 = 2 + 2 = 2 \cdot 2 = \text{SHL}(2) = \dots$]

Fig. 19

OLT & CLT(i) value assignments:

OLT.Processor_Mode_Changed := $\neg \{ \text{EFlags}_{\text{SR}_i} \& \& 2^\circ \text{CCR_Flags} \} > 0 \mid \mid$ ORT.value after change(Register ID of a special-register)
OLT.aim_valuation := VFT.Aim_Valuation_Function(SAC.Aim_Valuation_FunctionID, ORT.xxxxx, Registers_changed BitCode, Registers_source BitCode, min_Operations_BitCode, max_Operations BitCode, used_cycles of execution, ...)
CLT(n).gradient aim valuation := CLT(n).aim valuation - CLT(n-1).aim valuation
all other column-assignments are declared adequate in the OLT-description in fig.6.

Fig.20

OBT & CBT(i) value-assignments:

OBT.Execution_counter := Execution_counter + 1
OBT.FatalError_counter := FatalError_counter + (0 < OLT.Number_of_Exception ≠ Divide_Error, Overflow) OLT.active_ChkSum_corrupt OLT.inactive_ChkSum_corrupt OLT.Exception_vect_changed OLT.Processor_Mode_changed)
OBT.Jump_longOp_probability := MAX[MIN[Jump_probability + (OLT.OpCode_length_or_jump ≤ 0) + (OLT.OpCode_length_or_jump > 4), +127], -128]
OBT.avg_OpCode_jump_length := (execution_counter * avg_OpCode_jump_length + akt.OpCode_jump_length) / (execution_counter + 1)
OBT.OpCode_len_unconfirmed := OpCode_len_unconfirmed (avg_OpCode_length ≠ act.OpCode_length)
OBT.avg_cycles_of_execution := (execution_counter * avg_cycles_of_execution + act.cycles_of_execution) / (execution_counter + 1)
OBT.exec_cycles_unconfirmed := exec_cycles_unconfirmed (avg_cycles_of_execution ≠ act.cycles_of_execution)
OBT.Register_write_probability := MAX[MIN[Register_write_probability + 2*[(min.Reg.ID ≤ ORT.Column_ID_OLT ≤ max.Reg.ID) && ORT.value_before_change ≠ ORT.value_after_change] - 1, +127], -128]
OBT.Register_copy_probability := MAX[MIN[MIN(Register_copy_probability + 2*[(min.Reg.ID ≤ ORT.Column_ID_OLT ≤ max.Reg.ID) && ORT.value_before_change ≠ ORT.value_after_change && (min.Reg.ID ≤ ORT.Column_ID_source ≤ max.Reg.ID)] - 1, +127], -128]
OBT.Memory_write_probability := MAX[MIN[Memory_write_probability + 2*[(min.Adr.Reg.ID ≤ ORT.Column_ID_OLT ≤ max.Adr.Reg.ID) && ORT.value_before_change ≠ ORT.value_after_change] - 1, +127], -128]
OBT.Memory_copy_probability := MAX[MIN[Memory_copy_probability + 2*[(min.Adr.Reg.ID ≤ ORT.Column_ID_OLT ≤ max.Adr.Reg.ID) && ORT.value_before_change ≠ ORT.value_after_change && (min.Adr.Reg.ID ≤ ORT.Column_ID_source ≤ max.Adr.Reg.ID)] - 1, +127], -128]
OBT.Reg_to_Mem_probability := MAX[MIN[Reg_to_Mem_probability + 2*[(min.Adr.Reg.ID ≤ ORT.Column_ID_OLT ≤ max.Adr.Reg.ID) && ORT.value_before_change ≠ ORT.value_after_change && (min.Reg.ID ≤ ORT.Column_ID_source ≤ max.Reg.ID)] - 1, +127], -128]
OBT.Mem_to_Reg_probability := MAX[MIN[Mem_to_Reg_probability + 2*[(min.Reg.ID ≤ ORT.Column_ID_OLT ≤ max.Reg.ID) && ORT.value_before_change ≠ ORT.value_after_change && (min.Adr.Reg.ID ≤ ORT.Column_ID_source ≤ max.Adr.Reg.ID)] - 1, +127], -128]
OBT.Multi_Reg_write_prob := <i>like in Register_write_probability, but with min.2 appropriate ORT.Column_ID_OLT-entries.</i>
OBT.Multi_Mem_write_prob := <i>like in Memory_write_probability, but with min.2 appropriate ORT.Column_ID_OLT-entries.</i>
OBT.Multi_Reg_to_Mem_prob := <i>like in Reg_to_Mem_probability, but with min.2 appropriate ORT.Column_ID_OLT+Column_ID_source-entries.</i>
OBT.Multi_Mem_to_Reg_prob := <i>like in Mem_to_Reg_probability, but with min.2 appropriate ORT.Column_ID_OLT+Column_ID_source-entries.</i>
OBT.xxx_Reg_source dest BitCode: <i>see table-description</i>
OBT.xxx_calculation BitCode: <i>see table-description</i>
OBT.max_write_value := MAX(max_write_value, ORT.value_after_change)
OBT.min_write_value := MIN(min_write_value, ORT.value_after_change)
OBT.avg_write_value := (execution_counter * avg_write_value + ORT.value_after_change) / (execution_counter + 1)
OBT.max_write_gradient := MAX(max_write_gradient, ORT.value_after_change - ORT.value_before_change)
OBT.min_write_gradient := MIN(min_write_gradient, ORT.value_after_change - ORT.value_before_change)
OBT.avg_write_gradient := (execution_counter * avg_write_gradient + ORT.value_after_change - ORT.value_before_change) / (execution_counter + 1)
OBT.evaluated_source_NumRegister := <i>probability-function(xxx_Reg_source_BitCode, confirmation_counter)</i>

$OBT_evaluated_dest_Register[2] := probability_function(xxx_Reg_dest_BitCode, confirmation_counter)$
$OBT_evaluated_Operation_ID := probability_function(xxx_Operation_BitCode, confirmation_counter)$
$OBT_Confirmation_counter := Confirmation_counter + exist(equivalent_OLT + ORT - entry\ with\ lower\ IniConNr)$
$OBT_max_aim_valuation := MAX(max_aim_valuation, OLT_aim_valuation)$
$OBT_avg_aim_valuation := (execution_counter \cdot avg_aim_valuation + OLT_aim_valuation) / (execution_counter + 1)$
$CBT(n).max_grad_aim_valuation := MAX(CBT(n).max_aim_valuation, CLT(n).aim_valuation) - CBT(n-1).max_aim_valuation.$
$CBT(n).avg_grad_aim_valuation := (execution_counter \cdot CBT(n).avg_aim_valuation + CLT(n).aim_valuation) / (execution_counter + 1) - CBT(n-1).avg_grad_aim_valuation$

Fig.21

3.2.2 ELT and EBT value-assignments:

$ELT_max_Operations_BitCode := OLT_max_Operations_OpCode$
$ELT_min_Operations_BitCode := OLT_min_Operations_OpCode$
$ELT_Register_changed_BitCode := OLT_Registers_changed_BitCode$
$ELT_Register_source_BitCode := OLT_Registers_source_BitCode$
$ELT_Energy_Valuation := VFT_Energy_valuation_Function(SAC_Energy_Valuation_FunctionID, Energy_after, Energy_before, Registers_changed_BitCode, Registers_source_BitCode, min_Operations_BitCode, max_Operations_BitCode, used_cycles\ of\ execution, \dots)$
$ELT_Valuation_Function_ID := for\ calculation\ of\ Energy\ Valuation\ used\ VFT_Valuation_Function\ ID$
$EBT_avg_Energy_after := (execution_counter \cdot avg_Energy_after + ELT_Energy_after) / (execution_counter + 1)$
$EBT_equal_value_probability := equal_value_probability + 2 \cdot (avg_Energy_after = ELT_Energy_after) - 1$
$EBT_avg_Energy_gradient := (execution_counter \cdot avg_Energy_gradient + ELT_Energy_after - ELT_Energy_before) / (execution_counter + 1)$
$EBT_equal_gradient_probability := equal_gradient_probability + 2 \cdot (avg_Energy_gradient = ELT_Energy_after - ELT_Energy_before) - 1$
$EBT_xxx_Operations_Registers_BitCode\ see\ table_description$
$EBT_avg_cycles_of_execution := (execution_counter \cdot avg_cycles_of_execution + ELT_used_cycles_of_execution) / (execution_counter + 1)$
$EBT_avg_Energy_Valuation := (execution_counter \cdot avg_Energy_Valuation + ELT_Energy_valuation) / (execution_counter + 1)$

Fig.22

3.2.3 Definitions needed to read the flowchart:

- directives** denotes a directive or a short sequence of directives.
- <condition fulfilled?>** Yes: branches horizontally, No: continue below.
- <continuing-label>** denotes a label to or from another part of the flowchart.
- block of directives** denotes a block of earlier defined directives.

In the flowchart because of the complexity not all things are described until the smallest detail, but the fundamental functionality is presented clear and comprehensible.

Self-evident things like closing a database-cursor or cofilling not explicit mentioned but existing table-columns (which do not need a special algorithm) are not performed additionally, because the meaning of these columns is already declared in 3.1.2 and their assignment-formulas in 3.2.1 or in 3.2.2.

In the flowchart means "generate ORT-entry and actualise OBT" what is already shown in the value-assignments in fig. 19-21.

Fig.23

3.2.4 AC-flowchart:

a.) Initial Preparations:

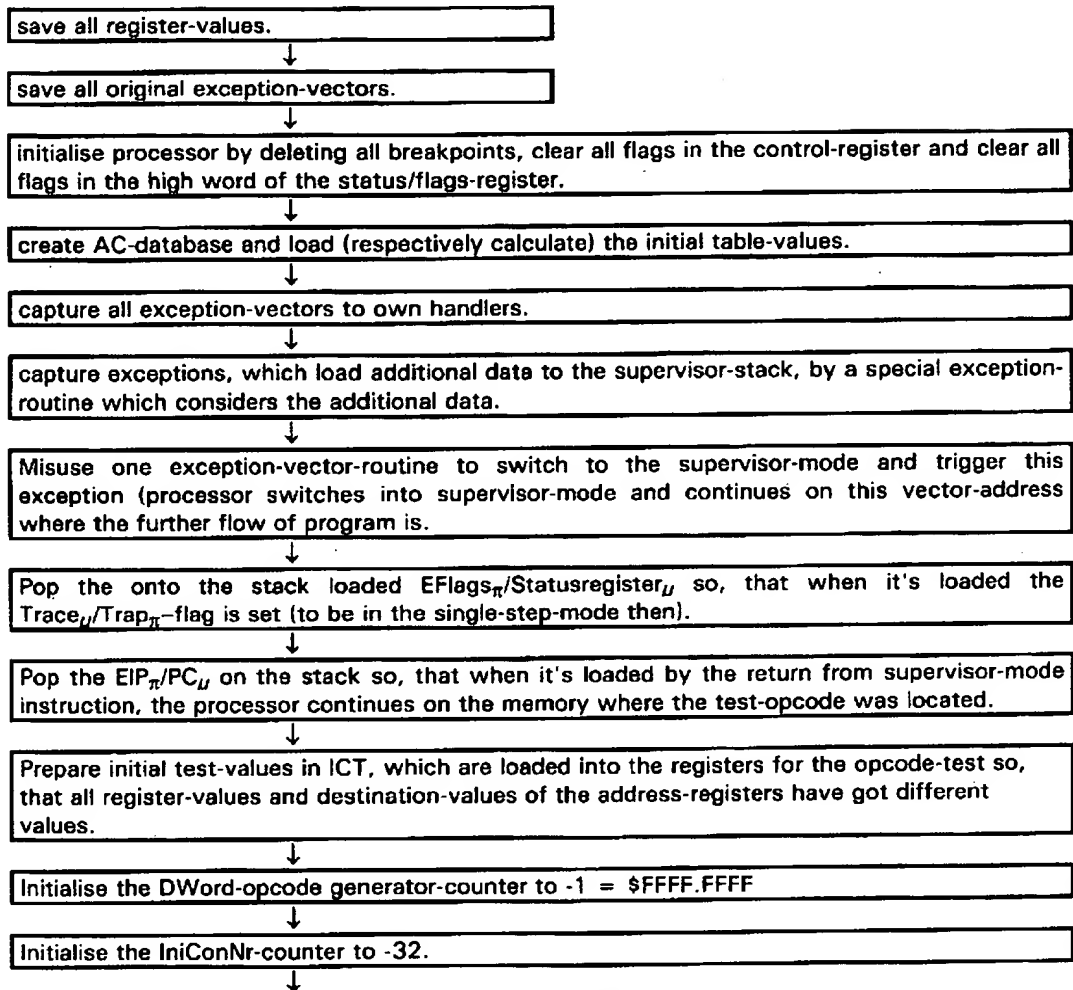


Fig.24a

b.) Base-Learning:

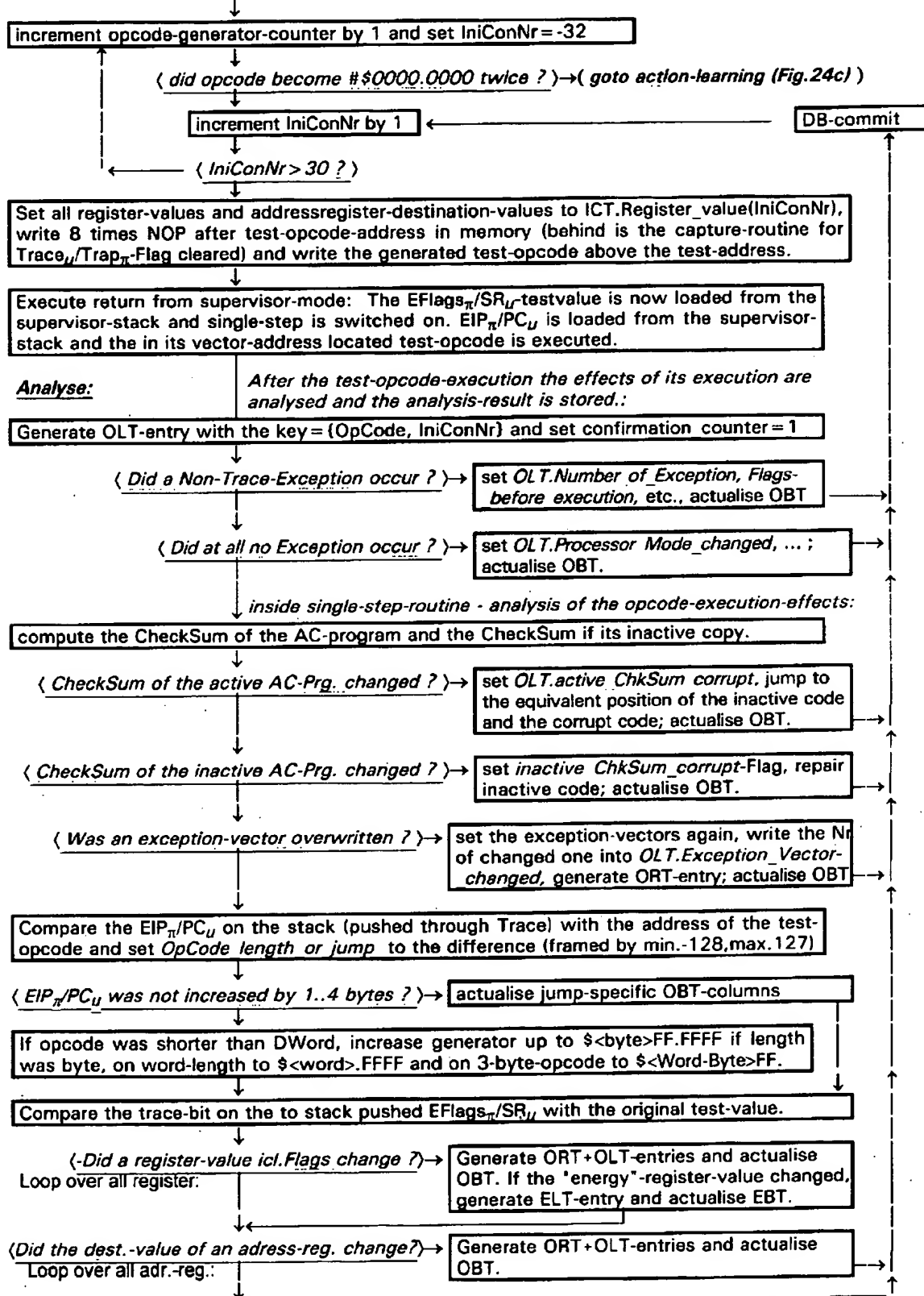


Fig. 24b

c.) Double-OpCode-Acting:

(Begin of Double-OpCode-Acting [after Base-Learning - Fig.24b])

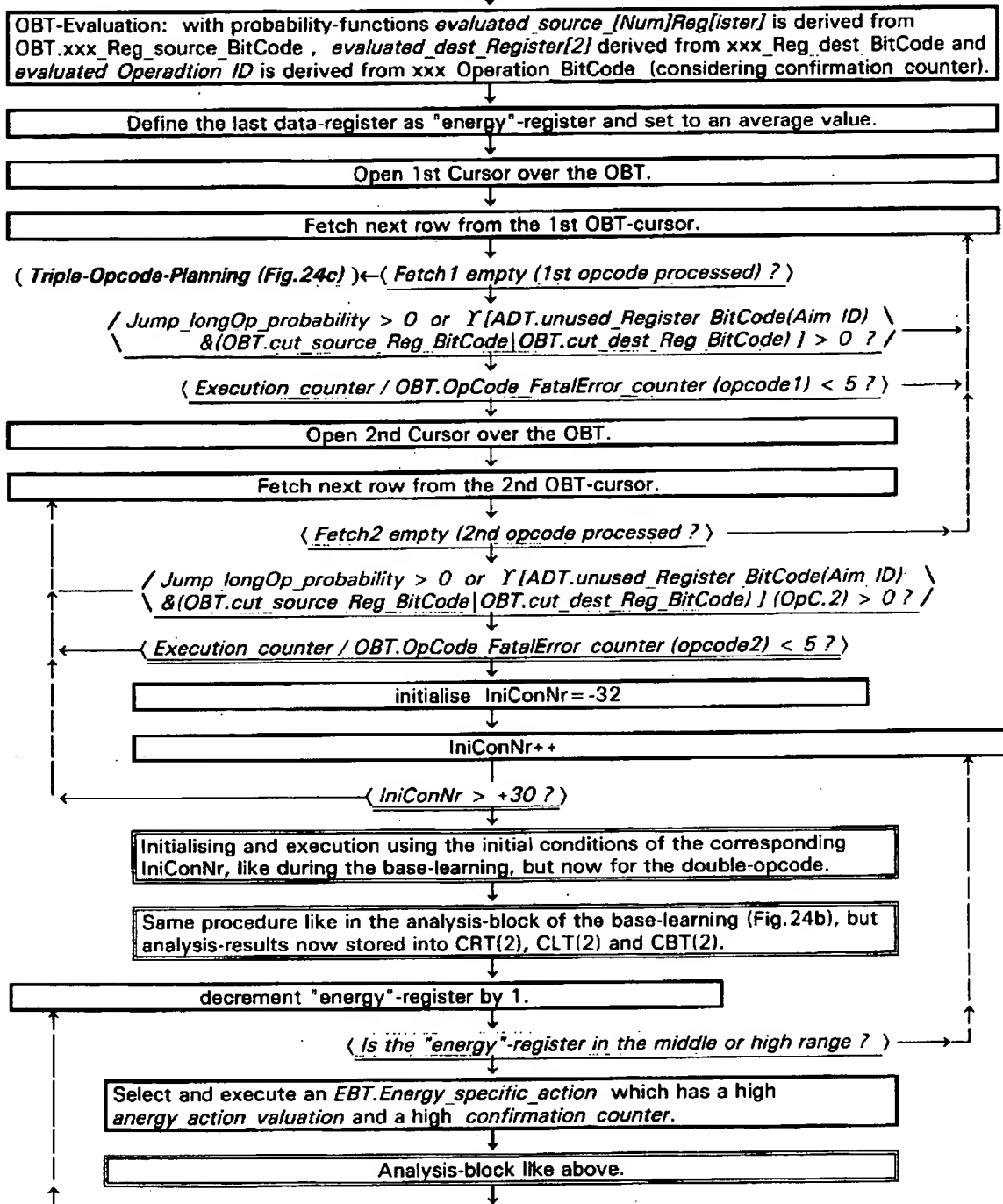


Fig.24c

d.) Triple-OpCode-Planning:

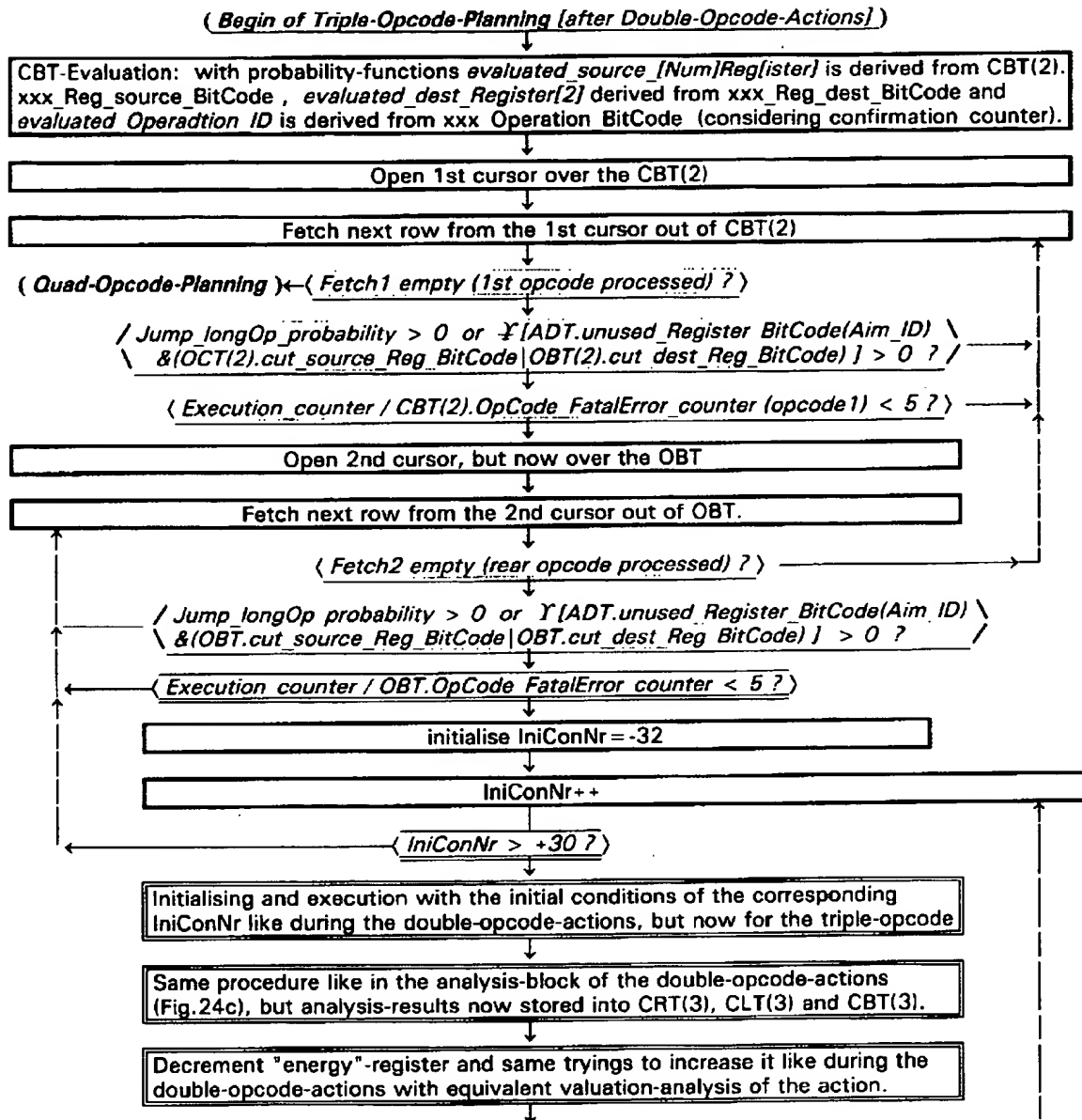


Fig.24d

Procedure for higher combinations analogous, using CxT(n), where n = sum_of_opcodes.

Under the Paperwork Reduction Act of 1995, no persons are required to respond to a collection of information unless it displays a valid OMB control number

Declaration and Power of Attorney for Patent Application Erklärung für Patentanmeldungen mit Vollmacht

German Language Declaration

Als nachstehend benannter Erfinder erkläre ich hiermit an Eides
Statt:

daß mein Wohnsitz, meine Postanschrift und meine
Staatsangehörigkeit den im nachstehenden nach meinem Namen
aufgeführten Angaben entsprechen, daß ich nach bestem Wissen
der ursprüngliche, erste und alleinige Erfinder (falls nachstehend
nur ein Name angegeben ist) oder ein ursprünglicher, erster und
Miterfinder (falls nachstehend mehrere Namen aufgeführt sind)
des Gegenstandes bin, für den dieser Antrag gestellt wird und für
den ein Patent für die Erfindung mit folgendem Titel beantragt
wird:

Method for generating a simple kind of Artificial Consciousness in a computer, which has the

capability to plan, generate automatically and execute machine-code for the solution of

arbitrary programming-abandonments. (Automatic Programming)

deren Beschreibung hier beigelegt ist, es sei denn (in diesem
Falle Zutreffendes bitte ankreuzen), diese Erfindung

- ☐ wurde angemeldet am _____
unter der US-Anmeldenummer oder unter der
Internationalen Anmeldenummer im Rahmen des
Vertrags über die Zusammenarbeit auf dem Gebiet
des Patentwesens (PCT)
_____ und am
_____ abgeändert (falls
zutreffend).

Ich bestätige hiermit, daß ich den Inhalt der oben angegebenen
Patentanmeldung, einschließlich der Ansprüche, die eventuell
durch einen oben erwähnten Zusatzantrag abgeändert wurde,
durchgesehen und verstanden habe.

Ich erkenne meine Pflicht zur Offenbarung jeglicher
Informationen an, die zur Prüfung der Patentfähigkeit in Einklang
mit Titel 37, Code of Federal Regulations, § 1.56 von Belang
sind.

As a below named inventor, I hereby declare that:

My residence, post office address and citizenship are as stated
next to my name.

I believe I am the original, first and sole inventor (if only one
name is listed below) or an original, first and joint inventor (if
plural names are listed below) of the subject matter which is
claimed and for which a patent is sought on the invention entitled

the specification of which is attached hereto unless the following
box is checked:

- ☐ was filed on _____
as United States Application Number or PCT
International Application Number
_____ and was amended on
_____ (if applicable).

I hereby state that I have reviewed and understand the contents
of the above identified specification, including the claims, as
amended by any amendment referred to above.

I acknowledge the duty to disclose information which is material
to patentability as defined in Title 37, Code of Federal
Regulations, § 1.56.

[Page 1 of 3]

Burden Hour Statement: This form is estimated to take 0.4 hours to complete. Time will vary depending upon the needs of the individual case. Any
comments on the amount of time you are required to complete this form should be sent to the Chief Information Officer, Patent and Trademark Office,
Washington, DC 20231. DO NOT SEND FEES OR COMPLETED FORMS TO THIS ADDRESS. SEND TO: Commissioner of Patents and Trademarks,
Washington, DC 20231.

German Language Declaration

Ich beanspruche hiermit ausländische Prioritätsvorteile gemäß Title 35, US-Code, § 119 (a)-(d), bzw. § 365(b) aller unten aufgeführten Auslandsanmeldungen für Patente oder Erfinderurkunden, oder § 365(a) aller PCT internationalen Anmeldungen, welche wenigstens ein Land ausser den Vereinigten Staaten von Amerika benennen, und habe nachstehend durch ankreuzen sämtliche Auslandsanmeldungen für Patente bzw. Erfinderurkunden oder PCT internationale Anmeldungen angegeben, deren Anmeldetag dem der Anmeldung, für welche Priorität beansprucht wird, vorangeht.

Prior Foreign Applications
(Frühere ausländische Anmeldungen)

19952587.0-53 Germany
(Number) (Country)
(Nummer) (Land)

(Number) (Country)
(Nummer) (Land)

Ich beanspruche hiermit Prioritätsvorteile unter Title 35, US-Code, § 119(c) aller US-Hilfsanmeldungen wie unten aufgezählt.

(Application No.) (Filing Date)
(Aktenzeichen) (Anmeldetag)

(Application No.) (Filing Date)
(Aktenzeichen) (Anmeldetag)

Ich beanspruche hiermit die mir unter Title 35, US-Code, § 120 zustehenden Vorteile aller unten aufgeführten US-Patentanmeldungen bzw. § 365(c) aller PCT internationalen Anmeldungen, welche die Vereinigten Staaten von Amerika benennen, und erkenne, insofern der Gegenstand eines jeden früheren Anspruchs dieser Patentanmeldung nicht in einer US-Patentanmeldung, bzw. PCT internationalen Anmeldung in in einer gemäß dem ersten Absatz von Title 35, US-Code, § 112 vorgeschriebenen Art und Weise offenbart wurde, meine Pflicht zur Offenbarung jeglicher Informationen an, die zur Prüfung der Patentfähigkeit in Einklang mit Title 37, Code of Federal Regulations, § 1.56 von Belang sind und die im Zeitraum zwischen dem Anmeldetag der früheren Patentanmeldung und dem nationalen oder im Rahmen des Vertrags über die Zusammenarbeit auf dem Gebiet des Patentwesens (PCT) gültigen internationalen Anmeldetags bekannt geworden sind.

(Application No.) (Filing Date)
(Aktenzeichen) (Anmeldetag)

(Application No.) (Filing Date)
(Aktenzeichen) (Anmeldetag)

Ich erkläre hiermit, daß alle in der vorliegenden Erklärung von mir gemachten Angaben nach bestem Wissen und Gewissen der Wahrheit entsprechen, und ferner daß ich diese eidesstattliche Erklärung in Kenntnis dessen ablege, daß wissentlich und vorsätzlich falsche Angaben oder dergleichen gemäß § 1001, Title 18 des US-Code strafbar sind und mit Geldstrafe und/oder Gefängnis bestraft werden können und daß derartige wissentlich und vorsätzlich falsche Angaben die Rechtswirksamkeit der vorliegenden Patentanmeldung oder eines aufgrund deren erteilten Patentes gefährden können.

I hereby claim foreign priority under Title 35, United States Code, § 119(a)-(d) or § 365(b) of any foreign application(s) for patent or inventor's certificate, or § 365(a) of any PCT International application which designated at least one country other than the United States, listed below and have also identified below, by checking the box, any foreign application for patent or inventor's certificate, or PCT International application having a filing date before that of the application on which priority is claimed.

Priority ~~Not Claimed~~
~~Priorität nicht beansprucht~~

02.Nov.1999
(Day/Month/Year Filed)
(Tag/Monat/Jahr der Anmeldung)

(Day/Month/Year Filed)
(Tag/Monat/Jahr der Anmeldung)

I hereby claim the benefit under Title 35, United States Code, § 119(c) of any United States provisional application(s) listed below.

I hereby claim the benefit under Title 35, United States Code, § 120 of any United States application(s), or § 365(c) of any PCT International application designating the United States, listed below and, insofar as the subject matter of each of the claims of this application is not disclosed in the prior United States or PCT International application in the manner provided by the first paragraph of Title 35, United States Code, § 112, I acknowledge the duty to disclose information which is material to patentability as defined in Title 37, Code of Federal Regulations, § 1.56 which became available between the filing date of the prior application and the national or PCT International filing date of this application.

(Status) (patented, pending, abandoned)
(Status) (patentiert, schwebend, aufgegeben)

(Status) (patented, pending, abandoned)
(Status) (patentiert, schwebend, aufgegeben)

I hereby declare that all statements made herein of my own knowledge are true and that all statements made on information and belief are believed to be true; and further that these statements were made with the knowledge that willful false statements and the like so made are punishable by fine or imprisonment, or both, under Section 1001 of Title 18 of the United States Code and that such willful false statements may jeopardize the validity of the application or any patent issued thereon.

German Language Declaration

VERTRETUNGSVOLMACHT: Als benannter Erfinder beauftrage ich hiermit den (die) nachstehend aufgeführten Patentanwalt (Patentanwälte) und/oder Vertreter mit der Verfolgung der vorliegenden Patentanmeldung sowie mit der Abwicklung aller damit verbundenen Angelegenheiten vor dem US-Patent- und Markenamt: (Name(n) und Registrationsnummer(n) auflisten)

POWER OF ATTORNEY: As a named inventor, I hereby appoint the following attorney(s) and/or agent(s) to prosecute this application and transact all business in the Patent and Trademark Office connected therewith: (list name and registration number)

No Attorney

Postanschrift:

Send Correspondence to:

Telefonische Auskünfte: (Name und Telefonnummer)

Direct Telephone Calls to: (name and telephone number)

Vor- und Zuname des einzigen oder ersten Erfinders Gerd Krämer	Full name of sole or first inventor Gerd Krämer
Unterschrift des Erfinders G. Krämer Datum 29.10.00	Inventor's signature G. Krämer Date 29.10.00
Wohnsitz D-69181 Leimen	Residence D-69181 Leimen
Staatsangehörigkeit deutsch	Citizenship german
Postanschrift Richard-Wagner-Str. 16	Post Office Address Richard-Wagner-Str. 16
D-69181 Leimen, Germany	D-69181 Leimen, Germany
Vor- und Zuname des zweiten Miterfinders (falls zutreffend)	Full name of second joint inventor, if any
Unterschrift des zweiten Erfinders Datum	Second Inventor's signature Date
Wohnsitz	Residence
Staatsangehörigkeit	Citizenship
Postanschrift	Post Office Address

(Im Falle dritter und weiterer Miterfinder sind die entsprechenden Informationen und Unterschriften hinzuzufügen.)

(Supply similar information and signature for third and subsequent joint inventors.)

Bezeichnung:

Verfahren zur Generierung einer einfachen Form künstlichen Bewußtseins im Computer zur
Befähigung selbsttätig planender Erstellung von Maschinencode-Programmen und deren
5 Ausführung zur Lösung beliebiger gestellter Programmieraufgaben

Inhalt:

	1. Beschreibung	
10	1.1 Aufgabenstellung und Stand der Technik	
	1.2 Herleitung der Realisierbarkeit und Definition künstlichen Bewußtseins	
	1.2.1 Philosophische Grundüberlegungen	
	1.2.2 Realisationsansatz zur Generierung von künstlichem Bewußtsein	
15	1.3 technische Lehre zur Generierung künstlichen Bewußtseins	
	1.3.0 Definition der verwendeten Abkürzungen	
	1.3.1 Verfahrensweise zur Generierung von künstlichem Bewußtsein mit einfachen Worten	
	1.3.2 Datenbank des KB-Wissens anlegen	
	1.3.2.x Beschreibungen der KB-Tabellen	
20	1.3.3 das System in den vorbereitenden Anfangszustand bringen	
	1.3.4 Basis-Lernen aus den Ausführungen aller OpCodes	
	1.3.4.1 OpCode generieren und ausführen	
	1.3.4.2 Analyse der OpCode-Auswirkung und Speichern der Ergebnisse	
	1.3.5 Realisierung der Grundbedürfnisse	
25	1.3.5.1 Realisierung künstlichen Schmerzes	
	1.3.5.2 Realisierung künstlichen Hungers	
	1.3.6 Planen nach den Kriterien des Bewertungssystems	
	1.3.7 Entwicklung des dynamischen Bewertungssystems	
	1.3.8 Selbstbewußtwerdung, Reproduktion und Evolution	
30	1.4 Programmieraufgabenstellung und Beispiele der Zielerreichung	
	1.4.1 Beispielaufg. 1: Erstellung eines Programms zur Berechnung des Mittelwerts	
	1.4.2 Beispielaufg. 2: Erstellung eines Programms zur Berechnung der Kubikwurzel	
	1.5 Festplatten-Speicherbedarf und Vergessen unwichtiger Daten	
	1.5.1 Tabellengrößen	
35	1.5.2 Vergessen	
	1.6 Bewußtwerdung	
	1.7 Darstellung der wirtschaftlichen Vorteile	
	2. Patentansprüche	
	3. Zeichnungen	
40	3.1 Relationale Datenbank des KB-Wissens	
	3.1.1 ER-Diagramm der KB-Datenbank: Fig. 1	
	3.1.2 Tabellen der KB-Datenbank:	
	Fig. 2-4: Identifikations- und Anfangsbedingungs-Tabellen: RIT, ICT, OIT	
	Fig. 5-10: OpCode- und Kombinations-Tabellen: ORT, OLT, OBT; CxT(i)	
45	Fig. 11, 12: Programmierzil-Tabellen: AST, ADT	
	Fig. 13-15: Bewertungs-Tabellen: FIT, VFT	
	Fig. 16: KB-Statuszeile: SAC	
	Fig. 17-18: Energiespezifische Tabellen: ELT, EBT	
	3.2 Flußdiagramm des KB-Programms:	
50	3.2.1 Wertezuweisungen der OiT bzw. CxT(i): Fig. 19-21	
	3.2.2 Wertezuweisungen der ELT und EBT: Fig. 22	
	3.2.3 Definitionen zum Lesen des Flußdiagramms: Fig. 23	
	3.2.4 KB-Flußdiagramm: Fig. 24a-d	

1. Beschreibung:

1.1 Aufgabenstellung und Stand der Technik:

- 5 Allein in Deutschland fehlen auf dem Gebiet der Software-Entwicklung z.Z. 80.000 Mitarbeiter und die Entwicklungs-Aufgaben werden immer komplexer.
Bislang werden Programme nach gegebener Aufgabenstellung von Software-Entwicklern konzipiert und programmiert.
Zur Erleichterung der Programmierung gibt es bislang "Wizards", die mittels Dialog-Fenstern
- 10 nach interaktiver Eingabe von Daten des Benutzers grundlegende Teile des Source-Codes nach fest vorgegebenen Schemata erstellen.
Ferner werden auch firmenspezifische Skripte geschrieben, die mittels Auslesen von Daten aus ASCII-Files einfache stetig wiederkehrende Teile von Sourcecodes generieren.
In jedem Fall muß der Benutzer jedoch das erstellende Skript selbst schreiben und vorher die
- 15 auszulesenden Daten generieren bzw. im Falle von "Wizards" vorher in Dialogfenstern benutzerdefinierte Eingaben machen und nach der Erstellung des Rahmen-Quellcodes die eigentliche Funktionsweise der Anwendung selbst ausprogrammieren. Danach muß noch der Source-Code in Maschinencode compiliert werden, bevor er ausgeführt werden kann.
Lernfähig sind solche Programme jedoch nicht.
- 20 Auf dem Gebiet der KI gibt es neuronale Netzwerke / fuzzy Logic die zwar Expertensysteme bilden können, die äußere sensorische Reize aufnehmen und lernfähig in den "Neuronen" dann ihre Reaktion darauf entscheiden, also eine Art lernfähige Regelkreise bilden, jedoch können sie weder planen noch Maschinencode generieren und ausführen.
- 25 In 20 W (pat) 12/76 wurde die Generierung künstlichen Bewußtseins mit rein elektronischen Mitteln (Aneinanderreihung von Kameras und Monitoren) versucht - dieses Verfahren hier hat damit jedoch überhaupt nichts zu tun.
- 30 Mittels meinem Verfahren wird im Computer eine einfache Form von Bewußtsein erzeugt, das anfangs zwar ziellos willkürlich handelt, jedoch aus den Wirkungen seines eigenen "Verhaltens" lernt, um so, nachdem es die Wirkungen aller möglichen Handlungen kennt, später planend selektiv Einzelhandlungen aneinanderzuketten, z.B. um ein vorgegebenes Ziel zu erreichen.
Jeder Einzelhandlung entspricht hierbei eine Zahl, die, wenn man sie als OpCode (Maschinencode), also als direkte Prozessorsteuerungsanweisung, ausführt, entweder einen Fehler (Exception) erzeugt, oder eine Veränderung (z.B. der Registerinhalte) bewirkt.
- 35 Das System selektiert mittels geeigneter Analyse- und Bewertungsverfahren Codezusammenstellungen, die dann das gegebene Programmierziel erreichen.

40

1.2 Herleitung der Realisierbarkeit und Definition künstlichen Bewußtseins:

1.2.1 Philosophische Grundüberlegungen:

- 45 (... sind normalerweise kein Bestandteil einer Patentbeschreibung, jedoch für die Darlegung der Realisierbarkeit hier unerlässlich)

- Wäre die Voraussetzung des menschlichen Bewußtseins eine Art "Beseelung", die zwischen Zygote und Geburt stattfände, könnte man sie aufgrund von Gedankenexperimenten ungefähr lokalisieren:
- 50 Würde man gedanklich den Kopf abtrennen und die Halsschlagadern mit sauerstoff- und nährstoffreichen Blut versorgen, wäre das Bewußtsein sicher im Kopf.
Würde man nun das Gehirn bis auf die künstliche Versorgung völlig isolieren, wäre zwar auf herkömmliche Weise kein Informationsfluß zwischen dem Individuum und der Umwelt mehr möglich, das "Ich-Bewußtsein" wäre aber sicher noch vorhanden.
- 55 Jetzt kann man noch gedanklich die hinteren und seitlichen Großhirnlappen für Sehen, Hören, Riechen, Schmecken, Gleichgewicht, Sprache und das Kleinhirn abtrennen und es wäre nichts weiters verloren.

Bei den vorderen Hirnlappen verlöre man die Möglichkeit mit vorhandenem Wissen zu rechnen und bei einigen oberen Hirnteilen ginge Erinnerung verloren, aber das *Grund-Ich_bin* wäre immer noch vorhanden.

⇒ Wenn es eine Art "Seele" gäbe, läge sie am oberen Ende des Stamms. Hirns.

5

Unter Berücksichtigung der gleitenden Evolution hätten dann Primaten aber auch eine "Seele". Und andere Säugetiere auch und alle anderen Tiere auch; und Einzeller auch; und Pflanzen auch; und somit auch jede einzelne Zelle des menschlichen Körpers selbst.

⇒ Es fehlt eine "Bewußtseins-" bzw. "Beseelungsgrenze".

10 ⇒ Jede Zelle unseres Körpers müßte eine eigene Seele haben (die evolutionäre Spezialisierung zur Nervenzelle ist, wie auch bei den prenatalen Zellteilungen, fließend).

⇒ Es gibt keine "Seele".

⇒ Bewußtsein entsteht im Laufe der Evolution zwingend selbsttätig.

⇒ im "toten" Molekül der DNA liegt der Bauplan zur Generierung von Bewußtsein.

15 ⇒ Bewußtsein entsteht durch die Bewertung von eigenen Tätigkeiten und deren Auswirkungen, mit der Reflexion der Bewertungsergebnisse auf das sich anpassende Bewertungssystem.

⇒ Wenn zur Generierung von Bewußtsein keine "Seele" notwendig ist, sondern nur das komplexe "Programm" der DNA, dann ist Bewußtsein auch durch ein komplexes reflexives Computer-Programm generierbar.

20

1.2.2 Realisationsansatz zur Generierung von künstlichem Bewußtsein:

Das Handeln aller, auch der einfachsten Individuen dient zur Erfüllung ihrer Grundbedürfnisse.

25 Diese Grundbedürfnisse sind:

- a.) kein Schmerz := kein Angriff auf's System und
- b.) kein Hunger := kein drohender Energieverlust

30 Ein komplexes Programm, in dem diese Grundbedürfnisse modelliert sind, und das frei Handeln kann und in der Lage ist, wie ein Kind aus seinen Handlungen reflexiv zu lernen, was seine Handlungen bewirken und ob seine Handlungen seine Situation im Bezug auf seine Grundbedürfnisse verbessern oder verschlechtern, baut ein Bewertungssystem auf, plant dann seine Handlungen aus dem Erlernten zur Verbesserung seiner Situation und erlangt so Bewußtsein.

35 Scannt es auch einmal seinen eigenen Code, probiert aus, was seine Code-Abschnitte bewirken und erkennt deren Zusammenhang, erlangt es sogar Selbst-Bewußtsein, und kann nicht nur seinen Code reproduzieren, sondern seinen Code bei der Reproduktion auch bewußt verändern und verbessern, also eine Evolution aufgrund seiner Erkenntnisse beginnen.

40

1.3. technische Lehre zur Generierung künstlichen Bewußtseins:

1.3.0 Definition der verwendeten Abkürzungen:

45 Die Programmierung funktioniert auf jedem Computer mit jedem beliebigem Prozessor und jedem beliebigem Betriebssystem. Die mit μ indizierten Abkürzungen sind für die Motorola-Prozessoren MC680x0 spezifisch, die mit π indizierten für die Intel-Pentiums und ψ -indizierte kennzeichnen den PowerPC-RISC-Prozessor:

- äq. = äquivalent{e(s)}
- 50 ASR $_{\psi}$ = Address Space Register
- BAT $_{\psi}$ = BAT-Registers
- BC = BitCode: jedes Bit entspricht einem Code und es sind Codekombinationen zulässig.
- CCR $_{\mu}$ = Condition-Code-Register (= Flags: EXtension, Negativ-, Zero-, Overflow-, Carry-)
- CISC = Complex-InstructionSet Computer (z.B. IA $_{\pi}$ und MC $_{\mu}$)
- 55 CPU = Central processing Unit = Prozessor
- CR $_{\psi}$ = Condition-Register (CR 0..7)
- CR $_{\pi}$ = Control-Register

- CTR_ψ = Count-Register
 DABR_ψ = Data Address Breakpoint Register
 DAR_ψ = Data Address Register
 DB = DatenBank
 5 DEC_ψ = Decrement-Register
 DR_π = Debug-Register
 DSISR_ψ = DSI Status-Register zeigt den Grund für DSI- und Alignment-Exceptions an.
 EA = Effective Address (direkter Speicherzugriff ohne Register)
 EAR_ψ = External Access Register
 10 Rseg_π = Segment Register: CS; SS; DS, ES, FS, GS
 EFlags_π = 32-Bit Register mit den System-Flags: Ident-, VirtualInterruptPending-, VirtualInterruptFlag-,
AlignmentCheck-, Virtual8086Mode-, ResumeFlag-, NestedTask-, InputOutputPrivilegeLevel-,
OverflowFlag, DirectionFlag, InterruptEnableFlag, TrapFlag, SignFlag, ZeroFlag,
Auxiliary/Align-CarryFlag, ParityFlag, CarryFlag.
 15 EIP_π = Extended Instruction Pointer (\triangleq PC_μ)
 ER = Entity Relationship (Datenbankmodell)
 ESP_π = Extended StackPointer (\triangleq USP_μ)
 Exc. = *Exception*_π: #DeviceError, #DeBug, NMI IRQ, #BreakPoint, #OverFlow, #BoundRange
 exceeded, #UD (Invalid Opcode), #NM (device not available), #DoubleFault, invalid
 20 #TaskSwitch, Segment #NotPresent, #SS (StackFault), #GeneralProtection,
 #PageFault, #MF (FloatingPoint-Error), #AlignmentCheck, #MachineCheck.
*Exception*_μ: Reset, BusError, AddressError, invalidOpCode, Div/0, CHK, TrapV,
 PrivilegeViolation, Trace, Interrupts, Traps.
*Exception*_ψ: System-Reset, Machine-Check, DSI, ISI, Ext.Interrupt, Alignment,
 25 Program, Floating-Point unavailable, Decrementer, System Call, Trace, Floating-
 Point Assist.
 FFT = fast Fourier-Transformation
 FK = Foreign Key einer ER-Datenbanktabelle
 FPR_ψ = Floating-Point Register 0..31
 30 FPSCR_ψ = Floating-Point Status and Control Register
 GB = GigaBytes = 2³⁰ Bytes
 GPR = General Purpose Registers: beim Pentium_π: EAX, EBX, ECX, EDX; ESI, EDI, EBP; ESP;
 EIP und beim PowerPC_ψ: GPR 0..31 und bei Motorola_μ die Daten- und Adress-Reg.
 IA = Intel-Architecture
 35 IRQ = Interrupt-Request
 KB = Künstliches Bewußtsein
 kB = KiloBytes = 2¹⁰ Bytes
 ld = Logarithmus dualis = log₂
 LR_ψ = Link-Register
 40 MB = MegaBytes = 2²⁰ Bytes
 MSR_π = Model Specific Register
 MSR_ψ = Machine State Register
 NMI = Non-Maskable-Interrupt (höchster Interrupt)
 NOP = NoOperation-OpCode [Maschinencodebefehl ohne Wirkung (außer IP_π/PC_μ + 1)]
 45 OLB = OpCode Lower Byte = letztes Byte im OpCode
 PC_μ = Programm-Counter (= Pointer auf 1. Byte der Speicherstelle, an der sich der Prozessor
 im Programm gerade befindet, vor der dortigen OpCode-Ausführung)
 PK = Primary Key einer ER-Datenbanktabelle
 PVR_ψ = Processor Version Register
 50 RISC = Reduced-InstructionSet Computer (z.B. PowerPC_ψ)
 RTE_μ = Befehl: Return from Exception (lädt SR und PC vom Supervisor-Stack)
 SDR1_ψ = SDR1-Register
 SPRG_ψ = SPRG 0..3
 SR_μ = Statusregister (Flags_μ: Trace-, Supervisor-, + Interrupt-Maske: I₂ I₁ I₀, + CCR-Flags)
 55 SR_π = Segment Registers: CS, DS, SS, ES, FS, GS
 SR_ψ = Segment Registers
 SRR_ψ = Save/Restore-Register of Machine-Status

- SSP_{μ} = Supervisor-Stackpointer (A7 im Supervisor-Modus)
 TB_{π} = Time Base Facility: Time-Counter $\rightarrow 2^{64}-1$
 TR_{π} = Table-Register: GDTR, IDTR, LDTR, TR
 USP_{μ} = User-Stackpointer (Adressregister A7 im User-Modus, A7' im Supervisor-Modus)
 5 \triangle = entspricht
 $\$$ = Beginn einer Hexadezimalzahl
 ζ = Ergebnis des bitweisen AND über alle folgenden Werte $[=V_1 \& V_2 \& \dots \& V_n]$
 ξ = Ergebnis des bitweisen OR über alle folgenden Werte $[=V_1 | V_2 | \dots | V_n]$
 γ = Anzahl der gesetzten Bits im folgenden Wert $[=(1 \& V) + (2 \& V)/2 + (4 \& V)/4 + \dots]$
 10 \forall^* = für alle anderen ... (nur $\forall \triangleq$ für alle ...)

1.3.1 Verfahrensweise zur Generierung von künstlichem Bewußtsein mit einfachen Worten:

- 15 Ein Computersystem erlangt Bewußtsein, wenn das aktive Programm, bei dem alle Exception-Vektoren abgefangen sind, und Grundbedürfnisse modelliert sind, folgendermaßen verfährt:
 Generiere eine Zahl und verwende sie als OpCode (= Operation-Code=Maschinencode-Befehl); führe ihn aus, werte aus, was er bewirkt hat und speichere die ermittelte Wirkung der Ausführung. Fahre so mit allen Zahlen \rightarrow OpCodes mit vielen repräsentativen Anfangsbedingungen
 20 (Register-Werte und Adressregister-Verweisinhalte) fort.
 Benutze dann so die gespeicherten OpCodes, die keine oder nur selten eine Exception verursachten und werte aus, ob deren Ausführung die eigenen Grundbedürfnisse erfüllen, oder ihnen abträglich sind.
 Kette dann die OpCodes aneinander, die die eigene Situation nicht verschlechterten, und werte
 25 die Wirkung dieser Code-Kombinationen aus, und speichere deren Wirkung.
 Plane so Codekombinationen, die das Wohlbefinden bzgl. der Grundbedürfnisse (Modellierung siehe 1.3.5) erhöhen bzw. für das gegebene Programmierziel von Bedeutung sein könnten.

30 1.3.2 Datenbank des KB-Wissens anlegen:

- Damit das Erlernte des KB-Programms persistent bleibt und die großen Datenmengen komfortabel erreichbar sind, wird eine relationale Datenbank mit den Tabellen und deren Relationen gemäß 3.1 angelegt; zwecks Zugriffsbeschleunigung und Speicherplatzersparnis äquivalente
 35 PKs als Cluster, und es werden zwecks Erhöhung der Zugriffsgeschwindigkeit für benötigte Non-PK-Spalten weitere Indexe angelegt. Das ER-Diagramm zeigt Fig.1.
 Je nach Prozessor und wieviele 32-Bit-Befehle dieser hat, kann die Datenbank sehr groß und die Zugriffsgeschwindigkeiten entsprechend langsam werden. Deshalb eignen sich RISC-Prozessoren eher für das KB-Programm als CISC-Rechner. Aber auch die CISC-Maschinen, wie die der
 40 IA, benutzen nur bei relativ wenigen Befehlen mehr als 24-Bit, weshalb man mit über mehrere Festplatten gestribeten Tabellen und zusätzlichen Index-Festplatten und mit erhöhtem "Vergessen" bei ineffizienten Befehlskombinationen ebenfalls sehr gut arbeiten kann.
 Auf das Speicherplatzproblem wird unter 1.5 eingegangen.

45 1.3.2.1 Die Register-Identifikations-Tabelle (RIT - Fig.2):

- In der RIT werden die Daten jedes Prozessor-Registers initial eingegeben: Jedes Register enthält eine Identifikations-Nummer ein zugewiesenes Bit im BitCode ein Zeichen zur Beschreibung des Register-Typs, eine laufende Nummer dieses Register-Typs und optional eine Beschreibung des Registers. Das Register der Flags ($EFlags_{\pi}/SR_{\mu}$) hat die Register-ID 0. Die Exception-Vektoren
 50 sind zwar meist keine Register, sondern direkte Adressen im Speicher - um diese wichtigen Vektoren ebenfalls identifizieren zu können, erhalten sie Redister-IDs mit negativem Vorzeichen, die der Exception-Vektornummer entsprechen [wenn Exception-Nr. 0 nicht Reset, sondern eine echte Exception ist, um 1 verschoben - dann: $Register_ID = -(ExceptionNr + 1)$].
 In Fig.2b ist für das Beispiel Motorola dargelegt, wie die RIT aussehen könnte.

1.3.2.2 Die Operations-Identifikations-Tabelle [OIT - Fig.4]:

Wie in der RIT die Register, bekommen in der OIT die wichtigsten Operationen eine Identifikationsnummer und ein Bit im BitCode zugeordnet.

Der *Operation_Type* ordnet die Operation in Gruppen ein, die in Fig.4c beschrieben sind.

- 5 Die *Operation_Mnemonic* (braucht nicht exakt zu sein) und die optionale *Operation_Description* beschreiben, um was für einen Befehl es sich handelt.

1.3.2.3 Die Anfangsbedingungen-Tabelle [ICT (initial conditions) - Fig.3]:

- 10 Da für gleiche OpCode-Ausführungen, je nach Anfangsbedingungen, unterschiedliche Wirkungen auftreten können, werden in dieser Tabelle repräsentative Anfangsbedingungen vorgegeben. Für jede Anfangsbedingungsnummer (hier -31...+30) werden für alle positiven *Register_IDs* ein Sample von Anfangsbedingungen z.B. nach der in Fig.3b vorgestellten Funktion generiert.

Jedoch nur für alle Register, die mathematisch verwertbare Zahlen enthalten können, wie Daten-Register, Adress-Register-Verweise und die Adressierung darunter (wg. -(Adr.Reg.)).

- 15 Floating-Point-Register und sonstige spezielle Rechen-Register (z.B. MMX).

Mit Adress-Registern läßt sich zwar auch rechnen, jedoch haben sie immer Werte die an Speicheradressen verweisen, an denen dann die vordefinierten Verweis-Inhalte stehen. Somit können die Anfangsbedingungen für die Adressregister allenfalls zyklisch durch die Testwerte in den Verweisen laufen.

- 20 Das Status-/EFlags-Register hat in den höheren Bytes immer die gleichen Anfangswerte aus SAC.*actual Processor Mode*. Bei den ConditionCodes im untersten Byte können jedoch die Anfangswerte variieren. Mit den Control-, Debug- und Maschinenstatus-Registern, sowie sonstigen Spezialregistern wird anfangs ebenfalls kein Unfug getrieben und sie werden immer auf die gleichen, Default-Werte gesetzt.

25

1.3.2.4 Die OpCode-Register-Tabelle [ORT - Fig.5]:

Für jedes durch die OpCode-Ausführung veränderte Register der aktuellen Anfangsbedingungen wird in einer Schleife über alle möglichen Quellregister ermittelt, durch welche mögliche Operation mit welchem Quellregister der Wert im Zielregister entstanden sein könnte. Für jede zutreffende Quell-Ziel-Register-Kombination wird ein Tabelleneintrag generiert (bei unitären Operationen ist *Register_ID_source* = -1) und für jede zutreffende Operationsmöglichkeit das zugehörige Bit entsprechend der OIT im *Operations_BitCode* gesetzt. Wie alle Felder der ORT berechnet werden, ist in Fig.5 beschrieben. Fig.19 enthält die Wertezuweisungs-Algorithmen.

35 1.3.2.5 Die OpCode-Lern-Tabelle [OLT - Fig.6]:

Die OLT stellt eine Zusammenfassung der Auswirkungen des aktuellen OpCodes unter den verschiedenen verwendeten Anfangsbedingungen dar.

In den ersten 6 Spalten werden Informationen über fatale Auswirkungen dieses OpCodes gesammelt. Dann kommt die Differenz des Programmzählers nach der OpCode-Ausführung zum

- 40 Wert davor und nun die Condition-Codes, die einen Sprung ausgelöst haben könnten [redundant ICT.*Register_Value*(*Register_ID*=0)].

Danach kommen in *Register_changed_BitCode* und *Register_source_BitCode* die Bits aller möglichen Ziel- und Quell-Register aus den zugehörigen ORT-Einträgen und in *max_Operation_BitCode* und *min_Operation_BitCode* die bitweise geOReten und geANDeten BitCodes der

- 45 ORT.*Operations_BitCode*-Einträge.

Die Dauer und der Zeitpunkt der OpCode-Ausführung werden gespeichert und in *aim_valuation* wird entsprechend VFT.*Valuation_Function*(ADT.*aim_Valuation_FunctionID*) bewertet, wie wertvoll der OpCode unter diesen Anfangsbedingungen für die Programmierzilerreichung war (Wertezuweisungen nach Fig.20).

50

1.3.2.6 Die OpCode-Basis-Tabelle [OBT - Fig.7]:

Die OpCode-Basis-Tabelle beschreibt die ermittelte Gesamtwirkung eines OpCodes unter allen verwendeten Anfangsbedingungen. In Fig.21 ist dargelegt, wie die Auswertung (Füllen der Spalten) erfolgt, um einen "Steckbrief" des OpCodes zu erstellen.

- 55 Die OBT enthält das Resummé aller Ausführungen dieses OpCodes und ist später beim zielgerichteten planen von Codekombinationen wichtig.

1.3.2.7 Die Kombinations-Register-Tabellen [CRT(i) - Fig. 8]:

Die Kombinations-Register-Tabellen werden dynamisch angelegt und entsprechen der der ORT, mit dem Unterschied, daß hier die Wirkungen von OpCode-Kombinationen analysiert werden. CBT(1)=OBT, CBT(2) hat einen OpCode mehr im PK, CBT(3) hat 3 OpCodes im PK, u.s.w.

5

1.3.2.8 Die Kombinations-Lern-Tabellen [CLT(i) - Fig. 9]:

Hier gilt das gleiche analog der CRT(i). Die CLT(i) geben die Wirkung der OpCode-Kombination bei den verwendeten Anfangsbedingungen wieder. Jetzt gewinnt auch das Feld *CLT(i).gradient_aim_valuation* an Bedeutung. Während es noch bei der CLT(1)=OLT identisch *aim_valuation* ist, enthält es bei den CLT(i≥2): *CLT(i).aim_valuation - CLT(i-1).aim_valuation* (Fig. 20 unten).

10

1.3.2.9 Die Kombinations-Basis-Tabellen [CBT(i) - Fig. 10]:

Die CBT(i) geben folglich das Resummé der Wirkung der OpCode-Kombination wieder. Die Wertezuweisungen erfolgen nach Fig. 21. Die gerade höchste CBT(n) ist die CPT (Kombinations-Plan-Tabelle = Entstehungsort des Lösungsprogramms).

15

Ergibt *ADT.aim_fulfilled_Flag_Function(CPT-PK) = 1* (TRUE), wurde gerade ein Lösungsprogramm der gestellten Programmieraufgabe gefunden, und es wird in der AST eingetragen.

1.3.2.10 Die Ziellösungs-Tabelle [AST (aim solution) - Fig. 11]:

20

Die AST enthält für jede gestellte Programmieraufgabe die Lösungsprogramme, deren Programmlängen, die Ausführungszeiten und die je benutzten Register und Operationen.

1.3.2.11 Die Ziel-Beschreibungs-Tabelle [ADT (aim description) - Fig. 12]:

25

Die ADT ordnet jedem Programmierzil eine Identifikationsnummer zu, eine Kurzbeschreibung, die BitCode-Kombinationen der zu verwendenden Quell- und Ziel-Register, die Register und Operationen, die im Lösungsprogramm nicht verwendet werden sollen, frühere Lösungsprogramme, die mitverwendet werden könnten und eine Funktion, die TRUE ausgibt, wenn die OpCode-Kombination für die Ein- und AusgabeRegister eine Lösung der gestellten Aufgabe darstellt, sowie eine Identifikation der Ziel-Annäherungsfunktion der VFT (u.a. v. o.g. *aim_fulfilled_Flag_Function* abhängig), die die Zielnähe der akt. OpCode-Kombination (=CPT-PK) bewertet.

30

1.3.2.12 Die Funktion-Identifikations-Tabelle [FIT - Fig. 13, 14]:

In der FIT werden Teilfunktionen, die für die Zusammenstellung der Energie-Bewertungsfunktion verwendet werden könnten, zur Verfügung gestellt.

35

Sie wird in 2 Variationen vorgestellt:

- a.) für die Erstellung einer dynamischen Bewertungsfunktion in SQL,
- b.) für die Erstellung einer dynamischen Bewertungsfunktion in Maschinensprache.

Der veränderliche Aufbau einer Bewertungsfunktion ist in SQL viel einfacher zu bewerkstelligen, jedoch sind die Ausführungszeiten entsprechend langsam und es muß nach jeder Zusammenstellung neu geparsed werden.

40

Zukünftig soll auch die Bewertungsfunktion gleich in Maschinencode zusammengestellt werden. Das auch hat den Vorteil, daß das KB-Programm manche gelöste Programmierziele als FIT-Teilfunktionen für die Zusammenstellung der Bewertungsfunktion weiterverwenden kann.

45

1.3.2.13 Die Bewertungs-Funktions-Tabelle [VFT (valuation f.) - Fig. 15]:

In der VFT liegt das dynamische Bewertungssystem im Bezug auf das eigene "Wohlbefinden" (Energie-Register) und der Programmierzilnähe.

Die *VFT.Valuation_Function(Type = 'E', SAC.Energy_Valuation_Function_ID)* bewertet energie-spezifische Handlungen und die *Valuation_Function(Type = 'A', SAC.Aim_Valuation_FunctionID)* die Programmierzil-Erreichungsnähe.

50

Die *VFT.Function_ID_Chain* enthält die Verkettung der Function-ID's, also die Teilfunktions-Ausführungs-Reihenfolge: Hier bewirkt NUM, daß der nächste Wert eine Byte-Zahl ist, VALUE, daß der nächste Wert die LfdNr der CLT(n)-Spalte ist, der ein Wert entnommen wird, EREG die Register_ID des Energie-Registers, S/D_REG der Wert aus der ADT.all_source/dest_Registers_BitCode und AIM_F das Ergebnis aus der ADT.aim_fulfilled_Flag_Function. Die unitären Operationen wirken auf das letzte Ergebnis und die binären auf die letzten 2 Ergebnisse aus der Function_ID_Chain.

55

Bei jeder Anpassung, Erweiterung oder sonstigen Verbesserung dieser Bewertungsfunktionen

wird die *Valuation_Function_ID* incrementiert und ein neuer Eintrag mit der veränderten *Valuation_Function* generiert und alle Bewertungsfunktionen in ihrer Effizienz neu bewertet: $VFT.Valuation_Function_value = SAC.Energy/Aim_self_valuation_Func(...)$, um einen Effizienz-Gradienten als Referenz für weitere Verbesserungen zu haben.

- 5 Die Funktionsweise des dynamischen Bewertungssystems ist unter 1.3.7 beschrieben.

1.3.2.14 Die Statuszeile des KB-Programms [SAC (state artificial consciousness) - Fig. 16]:

- Diese Tabelle hat keinen Key und nur einen Eintrag. Er enthält die Statusinformationen des KB-Programms und zwei Selbstbewertungs-Funktionen, die Effizienz der Energie- und der Zielannäherungs-Bewertungsfunktionen der VFT anhand ihrer gelieferten Ergebnisse bewertet. Diese Selbstbewertungsfunktionen werden, im Gegensatz zur Energie- und Zielnähe-Bewertungsfunktion, vom Programm selbst nicht mehr verändert, können jedoch vom Benutzer angepaßt werden.
- 10

1.3.2.15 Die Energie-Lern-Tabelle [ELT - Fig. 17]:

- In der ELT werden Daten über alle energiespezifischen Handlungen der akt. Anfangsbedingungen, also über alle OpCodes und Code-Kombinationen, die das letzte Datenregister betreffen, gesammelt.

- Die Wertvolligkeit der energiespezifischen Handlung wird nach $ELT.Energy_valuation = VFT.Valuation_Function(SAC.Energy_Valuation_Func_ID)$ bewertet.
- 20

1.3.2.16 Die Energie-Basis-Tabelle [EBT - Fig. 18]:

- Ähnlich wie in den CBT(ii), werden in der EBT die Auswirkungen einer energieändernden Code-Kombinationen, als Resummé aller Anfangsbedingungen, gesammelt.
- 25

1.3.3 Das System in den vorbereitenden Anfangszustand bringen:

- Um das System später wieder ohne neues booten in den ursprünglichen Zustand versetzen zu können, müssen einige Pointer (= Zeiger = Adressen) gesichert (zwischengespeichert) werden. Danach werden die Exception-Vektoren mit eigenen Abfang-Routinen belegt, da das System anfangs Zahlen willkürlich als Maschinencode generiert und ausführt, obwohl viele dieser Zahlen als OpCode unzulässig sind oder aufgrund der gerade gewählten Anfangsbedingungen Fehler verursachen. Systemabstürze wären die Folge, wenn man nicht alle Exception-Vektoren abfinge.
- 30
- 35

Will man das bewußtseingenerierende Programm laufen lassen, muß man also, im Falle, daß es als einziges Programm im Computer laufen soll:

- a.) das Multitasking abschalten, in dem man dieses entweder mit einer Betriebssystemroutine disabled oder indem man die IRQ-Maske des Prozessors auf NMI setzt.
- 40
- b.) alle System-Exception-Vektoren sichern.
- c.) alle System-Exception-Vektoren des Prozessors auf eigene Behandlungsroutinen umlenken. oder wenn man es später einmal neben anderen Programmen und vielleicht auch weiteren k.B.-Programmen parallel laufen lassen will:
- 45
- a') die eigene Task-Priorität etwas erhöhen.
- b') alle Task-Exception-Vektoren sichern.
- c') alle Task-Exception-Vektoren des KB-Programms auf eigene Behandlungsroutinen umlenken.
-
- d.) das Statusregister ($\Delta EFlags_{\mu}$) und den User-Stackpointer sichern.
- 50
- e.) die Werte der anderen Adressregister und die der Datenregister sichern.
- f.) die Werte der Segment-, Control-, Debug- und Spezialregister sichern.
- g.) manche Exception-Vektoren auf besondere Abfangroutine setzen, die berücksichtigt, daß zusätzliche Daten (z.B. bei Adressfehler: zusätzlich Zugriffsadresse + Opcode) auf den Supervisor-Stack geladen werden.
- 55
- h.) Privilege-Violation-Exception-Vector auf besondere Abfangroutine setzen.
- i.) einen Trap-Vektor auf eine Routine setzen, bei der im Supervisor-Modus fortgeführt werden soll.

- j.) diesen Trap ausführen (CPU schaltet sich jetzt in den Supervisor-Modus und macht ab dieser Trap-Vektoradresse weiter).
 - k.) Trace-Exception-Vektor auf eigene Trace-Routine zur Wirkungs-Analyse setzen.
 - l.) Flags des ersten Word auf dem Supervisor-Stack so setzen, daß beim Laden des SR vom SSP das Trace-Flag und die IRQ-Maske \rightarrow NMI gesetzt werden (bei Motorola ist das #8700), denn während des folgenden Basis-Lernens soll noch kein Interrupt möglich sein.
- Siehe hierzu Fig.24a.

10 1.3.4 Basis-Lernen aus den Ausführungen aller OpCodes:

1.3.4.1 OpCode generieren und ausführen:

- a.) 32-Bit-Zahl als OpCode generieren, angefangen bei \$0000.0000, im weiteren Verlauf immer um 1 hochzählen [dabei kann man von vorn herein die OpCodes überspringen, die offensichtlich Unfug machen würden (siehe BitCodes des CPU-Befehlssatzes)].
- 15 b.) Daten- und Adress-Register, sowie die AdressRegister-Verweisinhalte und die Verweisinhalte ein DWord darunter auf vordefinierte Testwerte laden und die ConditionCodes in EFlags_μ/CR_μ löschen.
- c.) Den generierten OpCode an die Teststelle im Speicher schreiben. Hinter der Teststelle muß noch mit ausreichend NOP-OpCodes (oder besser mit Nullen, wenn diese der Mnemonic "ORI #0, Reg.0" entsprechen) aufgefüllt werden, da es sich um einen langen Befehl handeln könnte und auch der Fall der Trace-Bit-Löschung mitberücksichtigt werden muß (dahinter steht die Trace-Bit-Cleared Abfangroutine).
- 20 d.) Supervisor-Stack-Inhalt so setzen, daß beim Rücksprung aus dem Supervisor-Modus das Statusregister mit gelöschtem CCR, IRQ-Maske auf NMI, Trace-Bit gesetzt und Supervisor-Bit[Maske] gelöscht, geladen wird und das dahinter befindliche Langwort die Test-Adresse darstellt. Rücksprung aus Supervisor-Modus (RTE_μ) ausführen: das EFlags_μ/Status-Register_μ wird mit o.g. Werten initiiert und der IP_μ/PC_μ mit der Testadresse geladen und der an der Teststelle befindliche OpCode ausgeführt.
- 25 • Ist jetzt eine Exception (außer Trace) aufgetreten, wird die Exception kurz grafisch angezeigt und bei der Generierung des nächsten OpCodes fortgeführt. Diesen OpCode kann das Individuum vergessen. [Achtung: bei manchen Exceptions tritt wegen Trace eine Kombination des Exception-Handlings auf.]
- Tritt weder Trace, noch eine andere Exception auf, wurde das Trace-Bit gelöscht (sollte bei Einzel-OpCodes nie auftreten) und die hinter der Teststelle befindliche Abfangroutine wird ausgeführt.
- 35 • Bei Trace-Exception (Normalfall) wurde ein benutzbarer OpCode generiert, dessen Ausführungs-Auswirkungen jetzt analysiert werden müssen.

40 1.3.4.2 Analyse der OpCode-Auswirkung und Speichern der Ergebnisse:

- a.) Das EFlags_μ/Status-Register_μ und die Daten- und Adressregister, sowie Adressregister-Verweisinhalte und die Verweisinhalte des DWords vor den Adressregistern und den User-Stackpointer zur Analyse speichern.
- b.) Überprüfung der eigenen Maschinencode-Checksum des aktiven KB-Programms und der CheckSum der inaktiven Kopie im RAM (je ohne Test-OpCode-Speicherstelle): Bei CheckSum-Änderung hat sich das Programm bei der Ausführung "verletzt" (Programmteile selbst überschrieben). Dann das entsprechende Corrupt-Flag in der Tabelle setzen. Bei Verletzung der aktiven Version in die inaktiven Kopien springen, dann den Code vergleichen und die korrupten Bytes durch Code der unverletzten Version ersetzen.
- 45 c.) Die Supervisor-BitMaske des gesicherten User-Stackpointers auf Stack prüfen: War der Prozessor vor Ausführung der Exception im Supervisor-Modus (obwohl er bei der Test-OpCode-Ausführung im User-Modus war), ist eine Kombination von der normalen Trace-Exception mit einer niedrig priorisierten Exception aufgetreten [z.B. bei Motorola Div/0-, Trap- oder Chk-Exception (im 68000er Handbuch nicht dokumentiert!)]. D.h. der Prozessor holte erst den Exception-Vektor des gerade aufgetretenen niedriger priorisierten Fehlers und lud das Statusregister und den Programmzähler auf den Supervisor-Stack und sprang dann noch während dieser prozessorinternen Routine, noch vor Beginn der Exception-Routine in
- 50
- 55

die weitere Trace-Exception-Routine, wodurch wieder Programmzähler und das Status-Register auf den Supervisor-Stack geladen wurden.

Mittels der auf dem Supervisor-Stack gesicherten Supervisor-Bits des Statusregisters ist nun feststellbar, daß vor Trace bereits eine Exception auftrat und durch Vergleich des zweiten
5 auf dem Supervisor-Stack gesicherten Programmzählers mit den niedrigpriorisierten Exception-Vektoren ist nun die ursprüngliche Exception vor Trace ermittelbar, deren Exception-Nummer abgespeichert wird.

d.) Vergleich des IP_{π}/PC_{μ} auf dem Supervisor-Stack mit der Test-OpCode-Adresse: Wurde der IP_{ψ}/PC_{μ} erniedrigt, blieb unverändert oder um einen Wert größer als der längstmögliche
10 OpCode erhöht, war es ein Sprung.

Wurde er um mehr als 4 Bytes erhöht, war es ein langer Befehl oder ein kurzer Vorwärtssprung - die Differenzierung ergibt dann daraus, ob Register verändert wurden.

Dieses Analyse-Ergebnis wird wieder abgespeichert.

e.) Vergleich des $EFlags_{\pi}/Status-Registers_{\mu}$ und aller Registerinhalte und der AdressRegister-Verweisinhalte, und der AdressRegister-Verweisinhalte einer max. Adressierbarkeitslänge
15 darunter (wg. -(Adr.Reg.)) mit den Original-Werten.

In einer BitMaske wird nun geflaggt, welche Register geändert wurden und es wird analysiert, welche Operationen mit welchen Quell- und Zielregistern stattgefunden haben könnten (hierbei Änderungen des $EFlags_{\pi}/SR_{\mu}$ beachten) und das Ergebnis wird in der ORT und OLT
20 gespeichert (siehe Figs.5,19;6,20) und die OBT aktualisiert (Fig.7,21).

f.) Bei Sprüngen Analyse des $EFlags_{\pi}/SR_{\mu}$, ob der Sprung bedingungsabhängig war.

1.3.5 Realisierung der Grundbedürfnisse:

25

1.3.5.1 Realisierung künstlichen Schmerzes:

Schmerz wird durch die Verletzung des Systems verursacht. Der ursprünglichste Schmerz in der biologischen Evolution kommt bereits beim Einzeller vor und ist die Verletzung der DNA im Zellkern. Ist die DNA verletzt, muß sich der Einzeller unter Aufbringung seiner Ressourcen die
30 Zeit nehmen, seine DNA zu reparieren. Er tut dies, indem er die fehlenden Aminosäuren in der defekten Doppelhelixhälfte durch komplementäre Basen der intakten Doppelhelixhälfte komplementär ersetzt.

Das KB-Programm wird doppelt in's RAM geladen. Führt das KB-Prg. (oder ein anderes) einen Befehl aus, der seinen aktiven oder inaktiven Code im Speicher überschreibt, wird es also in der
35 aktiven oder inaktiven Form verletzt, kann es diese Verletzung anhand einer Änderung seiner CheckSum erkennen und muß sich nun die Zeit nehmen, bei Verletzung des aktiven Codes nun in den bisher inaktiven äquivalenten Code zu springen und dann beide Codes 32-Bit weise Overgleichen und an der Stelle der Ungleichheit das DoubleWord seines Codes mit unveränderter CheckSum an die verletzte Stelle des Codes mit veränderter CheckSum
40 schreiben, um sich zu heilen.

1.3.5.2 Realisierung künstlichen Hungers:

Hunger ist drohender Energieverlust. Energie wird in den Zellen u.a. durch Umwandlung von Adenosintriphosphat in Adenosindiphosphat erzeugt. Die Energie zum Aufbau von Adenosintriphosphat aus Adenosindiphosphat wird durch Verbrennung von Glucose gewonnen. Fehlende
45 Energie macht in den Zellen den Stoffwechsel und somit jede Handlung, Reaktion auf Schmerz oder die Selbstheilung bei Verletzung unmöglich.

Die "Energienmenge" des KB-Programms läßt sich durch die Höhe eines Werts in einem Datenregister modellieren. Es wäre nun möglich, Hunger durch abnehmende Stromversorgung
50 des Prozessors durch externes auslesen dieses Datenregisters und Erhöhung eines Ohmschen Widerstandswerts der Prozessorstromversorgung zu realisieren. Eine weniger authentische, hardwareungebundene Lösung ist auch möglich:

Fehlende Energie ist dem Lernprozess abträglich. Bei mäßigen Werten in o.g. Datenregister treten Fehler beim Lernen aus den OpCode-Ausführungen auf. Bei geringen Werten ist das
55 Lernen aus OpCode-Ausführungen nicht mehr möglich und kleinste Werte in diesen Datenregister lassen gespeichertes Wissen vergessen. Ist der Wert auf null tritt zusätzlich Schmerz, also EigenCode-Verletzung auf.

Das KB-Programm muß also bei Hunger OpCodes finden und ausführen, die den Wert dieses Datenregisters erhöhen.

Die abnehmende Energie, also das Entstehen von Hunger, wird dadurch simuliert, daß das KB-Programm selbst nach jeder Handlung (= OpCode-Ausführung) dieses Register um 1 erniedrigt.

5

1.3.6 Planen nach den Kriterien des Bewertungssystems:

10 Hat das Individuum alle ihm möglichen OpCodes getestet und sich die Auswirkungen der verwendbaren Befehle gemerkt, kann es aufgrund seines Wissens zur Befriedigung seiner Grundbedürfnisse und zur Erreichung von Programmierzelen nun lernen zu planen:

Hierfür reiht es OpCodes zu Kombinationen aneinander, führt diese unter allen Anfangsbedingungen aus und wertet wieder aus, was diese Code-Kombination bewirkt hat.

15 Da meist längere Kombinationen zur Ziellösung notwendig sind, plant es die Codezusammenstellung, in dem es zielgerichtet nur die Codes zur Kombination benutzt, die keinen Schaden anrichten, also nicht den eigenen Code überschreiben und am besten überhaupt keine RAM-Schreibzugriffe machen, ferner keine verbotenen Register bzw. Operationen benutzen (ADT.unused_Registers_BitCode|ADT.unused_Operations_BitCode) und auch keine Exceptions verursachen, wo man bei Divide-Error und Overflow-Exception toleranter sein sollte. OpCodes
20 die gewünschte Ziel- und Quellregister benutzen, werden wiederum bevorzugt kombiniert (ADT.all_source/dest_Registers_BitCode).

ADT.aim_fulfill_valuation_mode bestimmt, ob die Bewertungsfunktion in SQL oder direkt in Maschinensprache vorliegt. Für den normalen Anwender wäre die langsamere SQL-Variante benutzerfreundlicher und der Spezialist wird für komplexere Aufgaben sicher schnelle
25 Zielerfüllungs-Bewertungsfunktionen in Maschinensprache bevorzugen.

1.3.7 Das dynamisch-reflexive Bewertungssystem:

30 1.3.7.1 Programmierzelnähe-Bewertung:

Die ADT.aim_fulfilled_Flag_Function(Aim_ID), gibt TRUE zurück, wenn das Programmierziel erreicht wurde und die VFT.Valuation_Function(Type='A', ADT.aim_fulfilled_Flag_Function, VFT.Function_ID_Chain), liefert einen signed-byte Wert, der besagt, wie nah die aktuelle
35 CLT(n)-OpCode-Kombination bei den gegebenen Anfangsbedingungen der Ziellösung kommt.

Das Ergebnis wird in CLT(n).aim_valuation gespeichert und bildet im Vergleich mit der letzten CLT(n-1).aim_valuation den Gradient CLT(n).gradient_aim_valuation.

Da das Lösungsprogramm jedoch für alle Anfangsbedingungen funktionieren muß, werden die maximale und die durchschnittliche Wertvolligkeit der OpCode-Kombination als Mittelwert aller Anfangsbedingungen in CBT(n).max_aim_valuation bzw. CBT(n).avg_aim_valuation abgelegt; die
40 Gradienten zu den Werten der letzten CBT(n-1) bilden CBT(n).max_grad_aim_valuation und CBT(n).avg_grad_aim_valuation.

Bei jeder Bewertung wird VFT.boundary_value_counter hochgezählt, wenn ein Grenzwert von -128 bzw. +127 vergeben wurde und äquivalent low_value_counter, wenn eine Bewertung zwischen -16 und +15 auftrat.

45 Anhand dieser statistischen Daten und einer exakten Auswertung aller CLT(i).aim_valuation, z.B. indem man ein kleines Wertebereichs-Fenster durchlaufen läßt und die Einträge je Fensterbreite und -offset zählt, bewertet die SAC.Aim_Self_Valuation_Func nach jeder Programmierziel-Erreichung der Bewertungs-Ergebnisse der VFT.Valuation_Function und somit deren Effizienz. Fallen z.B. die meisten Bewertungsergebnisse auf die Grenzwerte, war die
50 Bewertungsfunktion zu steil und sie muß abgeflacht werden, also in der VFT.Function_ID_Chain mehr Elemente mit negativem FIT.Function_Flatten enthalten. Umgekehrtes gilt, wenn die meisten Bewertungsergebnisse einen hohen VFT.low_value_counter-Wert verursachen.

Nach jeder Programmierzilerreichung läuft somit eine Selbstbewertung der Bewertungsfunktion ab und ein weiterer Programmierschritt der selbstprogrammierung der Bewertungsfunktion:

55 Zur Bewertungsfunktion kommen neue Elemente hinzu und manchmal muß auch eines weggelassen werden und der Steilheitsgrad wird angepaßt. Dann wird die Bewertung erneut vorgenommen und überprüft, ob die veränderte Bewertungsfunktion einen besseren

Wertebereich geliefert hätte. War der neue Wertebereich nach der Selbstbewertung durch *SAC.Aim_Self_Valuation_Function* schlechter wird die Änderung der Bewertungsfunktion verworfen und eine andere Änderung versucht. Verbesserte die Bewertungsfunktionsänderung den Wertebereich, wird die nächste Verbesserung versucht und wenn die Selbstbewertung einen guten Wert ergibt, mit der nächsten Programmieraufgabe fortgefahren.

1.3.7.2 *Dynamische Energiebewertungsfunktion:*

Das energiespezifische Bewertungssystem ist folgendermaßen dynamisiert:

0.) Da die Ergebnis-Werte des Bewertungssystems hier auf den Wertebereich von *signed_byte* beschränkt sind, wird die Bewertungsfunktion in eine Rahmenfunktion eingebettet:

Bewertungsergebnis := MIN[MAX(*Bewertungsfunktion*, -128), +127]

1.) Die Bewertungsfunktion 0-ter Ordnung ist "wie satt bin ich nach der Handlung ?":

Bewertungsfunktion(0) := MIN[MAX(*Energy_after*, -128), +127]

2.) Die Bewertungsfunktion 1-ter Ordnung ist "wieviel satter bin ich nach der Handlung ?":

15 Bewertungsfunktion(1) := MIN[MAX(*Energy_after* - *Energy_before*, -128), +127]

3.) Da das Energieregister vom Typ *unsigned integer* (DWord) ist, wären die Rahmen bei der Bewertung zu schnell erreicht, deshalb entweder geringer Logarithmus oder:

Bewertungsfunktion(2) := MIN[MAX[SQRT(*Energy_after* - *Energy_before*), -128], +127]

4.) Jetzt ergäben sich falsche Werte bei negativen Energie-Gradienten, deshalb 3. Wurzel oder:

20 Bewertungsfunktion(3) := MIN[MAX[SGN(*EnergyGrad*) * SQRT(*EnergyGrad*), -128], +127], mit
EnergyGrad = *Energy_after* - *Energy_before*

Möglicherweise wäre auch die Funktion $\frac{1}{2} \cdot \text{SGN}(\text{EnergyGrad}) \cdot \text{SQRT}(\text{SQRT}(\text{EnergyGrad}))$ besser, da diese exakt bis zu den Rahmenwerten reicht. Aber vielleicht werden auch die Rahmenwerte fast nie erreicht und eine feinere Gliederung um den Nullwert wäre viel wichtiger.

25 Dies hängt davon ab, wie oft die Rahmenwerte erreicht werden und wie viele Energie-Gradienten kleine Werte aufweisen. Vielleicht muß auch der Ergebniswert stärker gewichtet werden und eine Gradientbewertung reicht allein nicht aus; ferner muß mitberücksichtigt werden, wieviele/welche weitere(n) Register neben der Energieveränderung mitbetroffen sind und welche Operationstypen ausgeführt wurden, u.s.w., und schließlich die Ausführungszeit der Bewertungsfunktion selbst. Deshalb muß sich das energiespezifische Bewertungssystem im Laufe der Zeit verfeinern und anpassen (wie bei intelligenten biologischen Lebensformen).

30 In dynamic embedded [PL/]SQL ist das verändern und neu parsen der als String gespeicherten Bewertungsfunktion kein Problem. Wegen der Ausführungsgeschwindigkeit und der Implementationsfähigkeit voriger Aufgabenlösungen soll jedoch die Bewertungsfunktion zukünftig in

35 Maschinensprache erfolgen.

Die Programmieraufgabe der Verbesserung der energiespezifischen Bewertungsfunktion wird ebenfalls nach jeder Programmierzilerreichung angegangen.

Bewertungssystem und Bewertungsergebnisse sind immer reflexiv.

40

1.3.8 *Selbstbewußtwerdung, Reproduktion und Evolution:*

Durch den Selbstreparaturvorgang bei Schmerz kennt das Programm seine Lage im Speicher. Es kann nun die Auswirkungen seiner eigenen OpCodes der Reihe nach testen. Erkennt es später einmal die Gesamtauswirkung seiner ganzen Codelänge, wird es sich seiner selbst bewußt, kann seinen Code replizieren und aufgrund seines Wissens hierbei bewußt verändern (z.B. das lästige Erniedrigen des "Energie"-Registers entfernen). Die intelligente Reproduktion ist der der genetischen Reproduktion weit überlegen, da bei letzterer nur auf vorhandene DNA zurückgegriffen werden kann und hier der eigene Programmcode bewußt beliebig verändert und erweitert wird.

50

1.4. Programmieraufgabenstellung und Beispiele der Zielerreichung

Dem KB-Programm wird nun eine beliebige Programmieraufgabe gestellt, und es erhält in ADT.aim_fulfilled_Flag_Function einen Prüfungsalgorithmus, mit dem es überprüfen kann, ob es die Aufgabe erfüllt hat.

Seine Aufgabe ist nun, ein Programm zu schreiben, daß die gestellte Aufgabe löst.

1.4.1 Beispielaufgabe 1: Erstellung eines Programms zur Berechnung des Mittelwerts:

Eine sehr einfache, aber leicht nachvollziehbare Aufgabe für das KB-Programm könnte sein: "Schreibe ein Programm, das den Mittelwert 2er beliebiger Integer-Zahlen berechnet."

Das KB-Programm hat diese Aufgabe erfüllt, wenn die Differenz von der Ergebnis-Zahl zur kleineren Zahl gleich der Differenz von der Ergebnis-Zahl zur größeren Zahl ist, und dies für beliebig viele Eingabe-Zahlenpaare zutrifft.

Das KB-Programm kennt jedoch den Befehlssatz des Prozessors nicht - ihm stehen lediglich die OpCodes zur Verfügung, die keinen Schaden verursachen und es kennt einen Teil deren Wirkungen bei einigen unterschiedlichen Anfangsbedingungen.

Durch das Corruption-Healing oder das Energie-Register kennt es bereits einfachste Aufgaben wie "führe keine Handlung aus, die Schmerz verursacht" oder "führe Handlungen aus, die mich satt machen".

Zur Erreichung von wirtschaftlichen Zielen benötigt es nun Bewertungsvariablen, die ihm Dinge sagen wie

a.) Wieviel näher oder weiter weg vom Ziel hat mich diese Befehlskombination gebracht (das jeder einzelne Befehl davon gegenteilige Wirkung haben kann, ist hier nicht von Interesse).

b.) Wieviele Taktzyklen habe ich für die Lösung verbraucht.

c.) Wieviele Bytes ist mein Programm lang (wieviele OpCodes mit welchen Längen).

Diese Tabellen-Spalten sind: aim_valuation; cycles_of_execution; OpCode_length_or_jump.

Die Eingabe-Werte der Beispiel-Aufgabe seien in den ersten beiden Datenregistern (EAX_π, EBX_π bzw. DO_μ, D1_μ bzw. GPRO_ψ, GPR1_ψ), i.F. R0 und R1.

Der Ausgabe-Wert soll im dritten Datenregister (ECX_π|D2_μ|GPR2_ψ) i.F. R2 erfolgen. Ist die Aufgabe für beliebige Eingabewerte gelöst, ist das Programm fertig, da es sich wegen der Ein- und Ausgabevariablen um eine Funktion handelt. Bei mehreren Lösungen wird die mit den wenigsten verbrauchten Taktzyklen gewählt.

Die aufgabenspezifische Zielerreichungs-Bewertungs-Funktion, die zur Berechnung von OLT.aim_valuation benötigt wird, ist somit in diesem Beispiel:

ADT.aim_fulfilled_Flag_Function(Mittelwert mit o.g. Registern) = [(R2-R0)=(R1-R2)]

Hier kann jedoch das Problem auftreten, daß ein Eingabe-Wert gerade und der andere ungerade ist und die Aufgabe deshalb mit dieser Eingabe-Kombination somit manchmal keine Lösung hat. Das KB-Programm wird mehrere Lösungs-Programme finden und sich für dasjenige entscheiden, das am wenigsten Taktzyklen verbraucht, also das Ergebnis am schnellsten liefert.

Möglich wäre bei CBT(3) folgendes Lösungsprogramm: MOV R0,R2 ; ADD R1,R2 ; SHR R2 (natürlich im Maschinencode des verwendeten Prozessors - beim Pentium wäre das die 48-Bit-

Zahl \$89C2.01CA.D1EA, bei Motorola \$2400.D282.E2C2 und beim PowerPC eine 96-Bit Zahl)

1.4.2 Beispielaufgabe 2: Erstellung eines Programms zur Berechnung der Kubikwurzel:

Eine weitere einfache Aufgabe wäre "Schreibe ein Programm, das die Kubikwurzel aus einer reellen FFP-Zahl (32-Bit) berechnet"; die Eingabe soll in R0 (EAX_π), die Ausgabe in R3 (EBX_π) erfolgen.

Das KB-Programm hat diese Aufgabe erfüllt, wenn die Ergebnis-Zahl mit ihrem Quadrat multipliziert den Anfangswert ergibt:

⇒ aim_fulfilled_Flag_Function(Kubikwurzel) = [(R3*R3*R3)=R0] (← natürlich in FFP-Multipl.)

Einen Einzelbefehl wie bei der Quadratwurzel (FSQRT) gibt es bei der Kubikwurzel nicht.

Ein Ergebnis könnte bei CBT(8) beim Pentium II folgendermaßen aussehen:

- | | | | | |
|-------------|--------|------|---|-----------------------|
| Op1(16b): | MOV | CL,3 | ;ECX=\$7777:0003 | [1011.0001:0000.0011] |
| Op2(16b): | FLD1 | | ;ST(0)=1.0 | [1101.1001:1110.1000] |
| Op3(16b): | FIDIV | CX | ;ST(0)=1/3 | [1101.1110:1111.0001] |
| Op4(16b): | FLD | EAX | ;ST(0)=RO ;ST(1)=1/3 | [1101.1001:1100.0000] |
| 5 Op5(16b): | FYL2X | | ;ST(0)=1/3 log ₂ (RO) | [1101.1001:1111.0001] |
| Op6(16b): | FLD1 | | ;ST(0)=1.0 ;ST(1)=1/3 log ₂ (RO) | [1101.1001:1110.1000] |
| Op7(16b): | FSCALE | | ;ST(0)=1.0*2 ^[1/3 log₂(RO)] | [1101.1001:1111.1101] |
| Op8(16b): | FST | EBX | ;EBX=2 ^[1/3 log₂(RO)] | [1101.1001:1101.1011] |
- (natürlich nur die 2. Spalte als 128-Bit-Zahl.)
- 10 Hexadezimal wäre das B103.D9E8.DEF1.D9C0:D9F1.D9E8.D9FD.D9DB.
Dies wäre eine mögliche Lösungszahl (= Programm) für die gestellte Aufgabe (es gibt bestimmt auch kürzere oder schnellere Lösungen).

15 1.5. Festplatten-Speicherbedarf und Vergessen

In beiden Beispielen wäre man zwar mit 16-Bit-Befehlen ausgekommen, jedoch wird ersichtlich, daß bei größeren Programmieraufgaben der Festplattenspeicher knapp wird. Deshalb wird das KB-Programm unwichtige OpCode-Kombinationen vergessen müssen.

20

1.5.1 Tabellengrößen:

IST, RIT und CIT fallen kaum ins Gewicht.

- Theoretisch könnte $size(OBT) = 2^{32} \cdot \sum \text{Bytes}(\text{Spalte}(i)) = 485 \text{ GB}$ groß werden, jedoch sind
- 25 auch bei einem RISC-Prozessor nie alle 32-Bit-Kombinationen als Befehl genutzt und realistisch sind im Mittel bei RISC-Prozessoren c.a. 28 Bit \Rightarrow 30 GB und bei CISC-Prozessoren 20 Bit \Rightarrow 118 MB (die meisten sind dort 16 Bit-Befehle; es gibt wenige 8-Bit- und einige 24- und 32-Bit-Befehle, und längere als 32-Bit-Befehle werden hier nicht berücksichtigt).
- Bei den 62 Anfangsbedingungen kann $size(OLT) = 2^{[20..28]} \cdot 62 \cdot \sum \text{Bytes}(\text{Spalte}(i)) = 3$
- 30 (CISC) .. 832 (RISC) GB groß werden und $size(ORT)$ c.a. genauso groß, wenn man bedenkt, daß durch ein OpCode meist ein Zielregister und ein Quellregister betroffen ist, möglicherweise auch keines oder nur ein Zielregister und selten mehrere Register. Da es jedoch mehrere mögliche zugehörige *Operation_BitCodes* geben könnte, würde sich die Tabellengröße erhöhen, wenn dies nicht durch die vielen OpCodes, die eine Exception auslösen, kompensiert würde.
- 35 Ein weitaus größeres Problem könnte das exponentielle Wachstum der $CxT(i)$ darstellen, da für jedes i ein Faktor von $2^{[20..28]}$ hinzukommt. Dies wird jedoch durch das Bewertungssystem kompensiert, das mit abnehmendem Restspeicher seine Toleranz einschränken kann - so können Kombinationen von vornherein ausgeschlossen werden, die Codes bzw. Kombinationen mit geringer $CBT(i).max_aim_valuation$ (bzw. $avg_aim_valuation$) kombinierten würden.
- 40 Auch wenn der Speicherbedarf jetzt noch hoch erscheinen mag, dürfte dies in naher Zukunft kein Problem mehr darstellen. Auch die mit den Tabellengrößen und Kombinationsmöglichkeiten wachsenden Rechenzeiten werden durch immer größer und schneller werdende Festplatten und immer leistungsfähigere Rechner bewältigbar.

45

1.5.2 Vergessen:

Wie bei allen intelligenten Lebensformen muß das System unwichtige und weniger wichtige Informationen vergessen können, weil

- 50 a.) der Speicherplatz begrenzt ist und
b.) die Zugriffszeiten werden unnötig langsam.

Deshalb werden nach jeder zufriedenstellenden Zielerreichung, bei Eingabe eines neuen Ziels, die ELT und alle $CxT(i)$ -Tabellen ab einem restspeicherabhängigen Grad gelöscht und die Codekombinationen bzgl. der neuen Programmieraufgabe in den verbleibenden $CxT(i)$ neu

- 55 bewertet und ab der gelöschten CxT inkrementell dynamisch wieder neu angelegt.

1.6. Bewußtwerdung

Durch `try_and_error` lernt das Programm was jede einzelne Handlung bewirkt und was Handlungsfolgen bewirken.

- 5 Im Rahmen des Corruption-Healings (bei versehentlichem Eigencode-Überschreiben) muß es seinen Code reparieren und kennt so seine Position im Speicher. Wenn es einmal die Wirkung der Handlungsfolge seines eigenen Codes erkennt, wird es seiner selbst bewußt und kann seinen Code reproduzieren und bei der Reproduktion bewußt verbessern.
- 10 Durch die so initiierte Evolution entsteht eine immer komplexere Form des künstlichen Bewußtseins, das immer größere Aufgaben bewältigen kann.

1.7. Darstellung der wirtschaftlichen Vorteile

- 15 Es handelt sich hier um ein vollkommen neues Feld der Computer-Verwendung. Während im Computer normalerweise von Menschen programmierte Programme ablaufen, die anwendergesteuerte Anweisungen ausführen, programmiert das KB-Programm selbst programmierzielorientiert Handlungen, die zukünftig ausgeführt werden sollen.
- 20 Der Bedarf an Softwareentwicklung ist weltweit viel größer als das menschliche Potential an Software-Entwicklern.
Ein Programm, das lernt, Programme selbst zu schreiben (und das gleich in Maschinencode), kann kleine Programmier-Aufgaben selbst lösen und wird im Laufe seiner "Evolution", wenn man ihm ausreichend Speicherplatz läßt, auch selbständig lernen, komplexe Programme zur
- 25 Lösung großer Programmieraufgaben zu generieren.

2. Patentansprüche:

0. Ein Verfahren, das in einem Computer-System mit Prozessoreinheit, RAM-Speicher und Festplatten-Speicher selbsttätig normale Zahlen von Byte- bis Langwort-Länge (4-Bytes bis hex. \$FFFF.FFFF) oder noch länger durch einfaches hochzählen oder nach dem Zufallsprinzip generiert und diese dann an eine Speicherstelle schreibt
5 dadurch gekennzeichnet daß,
es alle Exception-Vektoren in eigene Exception-Analyse-Routinen abfängt und diese Exception-Vektoren und alle Registerinhalte und die Inhalte der Verweis-Register incl. geringer
10 Offsets (z.B. von Adressregistern) und die eigene CheckSum zwischenspeichert und den Prozessor in den Supervisor-Modus schaltet und das Single-Steppen (Trace/Trap) einschaltet und den Programmzähler=Instruction-Pointer beim Rücksprung aus dem Supervisor-Modus auf den Beginn dieser Zahl setzt und dadurch diese Daten-Zahl als Maschinencode ausführt (als ob sie programmierter Maschinencode wäre) und nach dieser Ausführung dieser Zahl die
15 Wirkung dieser Ausführung in- oder nach der Exception- bzw. Trace/Trap-Analyse-Routine durch Vergleich der Exception-Vektoren und der CheckSum und der Register und der Inhalte der Verweisregister (incl. geringer Offsets) mit den zwischengespeicherten Ursprungswerten analysiert.
1. Ein Verfahren nach Anspruch 0, dadurch gekennzeichnet, daß die Prozessor-Register und die
20 Inhalte der Verweisregister incl. geringer Offsets vorher auf unterschiedliche vordefinierte Anfangsbedingungen geladen werden und das beschriebene Verfahren pro generierter Zahl mehrfach unter unterschiedlichen Anfangsbedingungen ausgeführt wird [Fig. 24a, 24b], um bei der o.g. Analyse [Fig. 19, 20, 21] exaktere Informationen über die Eigenschaften dieser Zahl als Maschinencode zu gewinnen und abzuspeichern.
- 25 2. Ein Verfahren nach Anspruch 1, dadurch gekennzeichnet, daß das System mehrere solcher Zahlenkombinationen als Maschinencodebefehle aneinanderreicht und so die Auswirkung der Codekombination analysiert. [Fig. 24c]
3. Ein Verfahren nach Anspruch 2, dadurch gekennzeichnet, daß das System mehrere solcher Maschinencodekombinationen aneinanderreicht, und die Auswirkungen der miteinander kombinierten Codekombinationen analysiert.
30
4. Ein Verfahren nach Anspruch 1 bis 3, dadurch gekennzeichnet, daß dem System eine Programmieraufgabe gestellt wird, und es bewertet, wie nah die analysierte Zahlencodekombination der Lösung der gestellten Programmieraufgabe kommt.
5. Ein Verfahren nach Anspruch 1 bis 4, dadurch gekennzeichnet, daß das System an diese
35 Zahlencodes oder Codekombinationen gezielt diejenigen analysierten Zahlencodes oder Codekombinationen anfügt, die aufgrund der analysierten Operationsart, den analysierten Quell- und Zielregistern und der ermittelten Bewertung aus Anspruch 4, anfügt, die aufgrund diesen Werten eine hohe Wahrscheinlichkeit haben, daß die Gesamtkombination die gestellte Aufgabe an ehesten löst.
- 40 6. Ein Verfahren nach Anspruch 5 das wiederum die Wirkung der Gesamtkombination analysiert und bzgl. der Zielerreichungsnähe bewertet.
7. Ein Verfahren nach Anspruch 1, in dem Grundbedürfnisse äquivalent "kein Schmerz" (=keine Beschädigung des Systems) und "kein Hunger" (=kein drohender Energieverlust) folgendermaßen modelliert sind:
- 45 a. Schmerz, modelliert durch das überschreiben, und dadurch wiederum notwendigwerdende reparieren, des eigenen Programmcodes, was Zeit kostet und das unter b. modellierte "Energie"-Register schneller dekrementiert
- b. Hunger, modelliert durch die stetige zeitabhängige Abnahme eines Registerwerts und negativen Systemauswirkungen bei niedrigen Werten, wie
50 - den Verlust der Fähigkeit der Bewertung von Zahlencodekombinationen bzgl. der Zielerreichung bei niedrigen Werten,
- Fehler bei der Bewertung der betroffenen Quell- und Zielregister, sowie der Operationsart bei sehr niedrigen Werten,
- den Verlust der Fähigkeit der Selbstreparatur (bei "Schmerz" - siehe a.) bei extrem niedrigen Werten,
55 - Abnahme der Spannungsversorgung des RAM durch hardwaremäßig an dieses Register gekoppelten variablen Widerstand, der sich bei zwei mal in Folge auftretenden extrem

niedrigen Werten im "Energie"-Register erhöht.

- Abnahme der Spannungsversorgung des Prozessors durch hardwaremäßig an dieses Register gekoppelten variablen Widerstand, der sich bei drei mal in Folge auftretenden extrem niedrigen Werten im "Energie"-Register erhöht.

- 5 8. Ein Verfahren nach den Ansprüchen 1 bis 7, mit dem Unterschied, daß dem System keine Programmieraufgabe gestellt wurde, und die Zielerreichungs-Bewertung nun bei Maschinen-codes und Codekombinationen positiv ausfällt, die keinen "Schmerz" verursachen und das "Energie"-Register erhöhen, und Kombinationen um so negativer bewertet, je mehr eigen-genutzten Speicher sie überschreiben und je mehr sie das "Energie"-Register erniedrigen.
- 10 9. Ein Verfahren nach Anspruch 8, das nicht nur wie oben Code generiert, sondern auch bestehenden vorgegebenen Code analysiert, wie z.B. seinen eigenen, um zu bewerten, was seine Codeabschnitte und auch sein Gesamtcode bewirkt.
10. Ein Verfahren nach o.g. Ansprüchen, bei dem die Bewertungsfunktionen bzgl. der System-ziele (Programmierzil, Energiespezifische Handlung, u.s.w.) dynamisch reflexiv sind, also
15 neben der Verfolgung der Erreichung der Programmierziele und positiver energiespezifischer Handlungen (und ggf. weiterer Aspekte) Selbstbewertungsroutinen durchgeführt werden, die die Bewertungsfunktionen anhand ihrer Bewertungsergebnisse bewerten und die Bewertungs-funktionen verändern, testen und wieder bewerten und dann eine verbesserte Bewertungsfunktion auswählen, um bei der nächsten Programmieraufgabe effizienter zu
20 sein.
11. Ein Verfahren nach Anspruch 10, bei dem das Bewertungssystem selbst Programmier-aufgaben stellen kann, deren Ergebnisroutine als Teilfunktionen der Bewertungsfunktion dienen kann, um die Bewertungsfunktion selbst zu verbessern.
12. Ein Verfahren nach Ansprüchen 1 bis 11, bei dem zusätzlich über eine Tabelle der
25 Betriebssystemroutinen die Funktionen, Ein- und AusgabeRegister und Einsprungsadressen der System-Routinen zur Verfügung stehen und so als CALLS vom KB-Programm in den Lösungscode implementiert werden können.
13. Ein Verfahren nach o.g. Ansprüchen, in dem mehrere solcher Programme parallel laufen und das Erlernte aus den Opcode- und Kombinations-Ausführungen austauschen können.
- 30 14. Ein System nach Anspruch 13, in dem mehrere Rechner, auf denen je eins oder mehrere solcher Programme laufen, miteinander vernetzt sind.
15. Ein Verfahren nach Anspruch 8, 11, 12, 13 oder 14 in dem wieder ein Programmierzil vorgegeben ist, deren Erreichung jedoch nicht wie in Anspruch 5 oder 6 durch eine Zielannäherungsbewertung bewerkstelligt wird, sondern in dem bei Codekombinationen, die
35 sich vom Programmierzil entfernen, eine Erniedrigung des Energieregisters verursachen und Codekombinationen, die in Richtung der Erreichung des vorgegebenen Programmierzils gehen eine Erhöhung des Energieregisters mit sich bringen.

3. Zeichnungen:

3.1 Relationale Datenbank des KB-Wissens:

3.1.1 ER-Diagramm der KB-Datenbank:

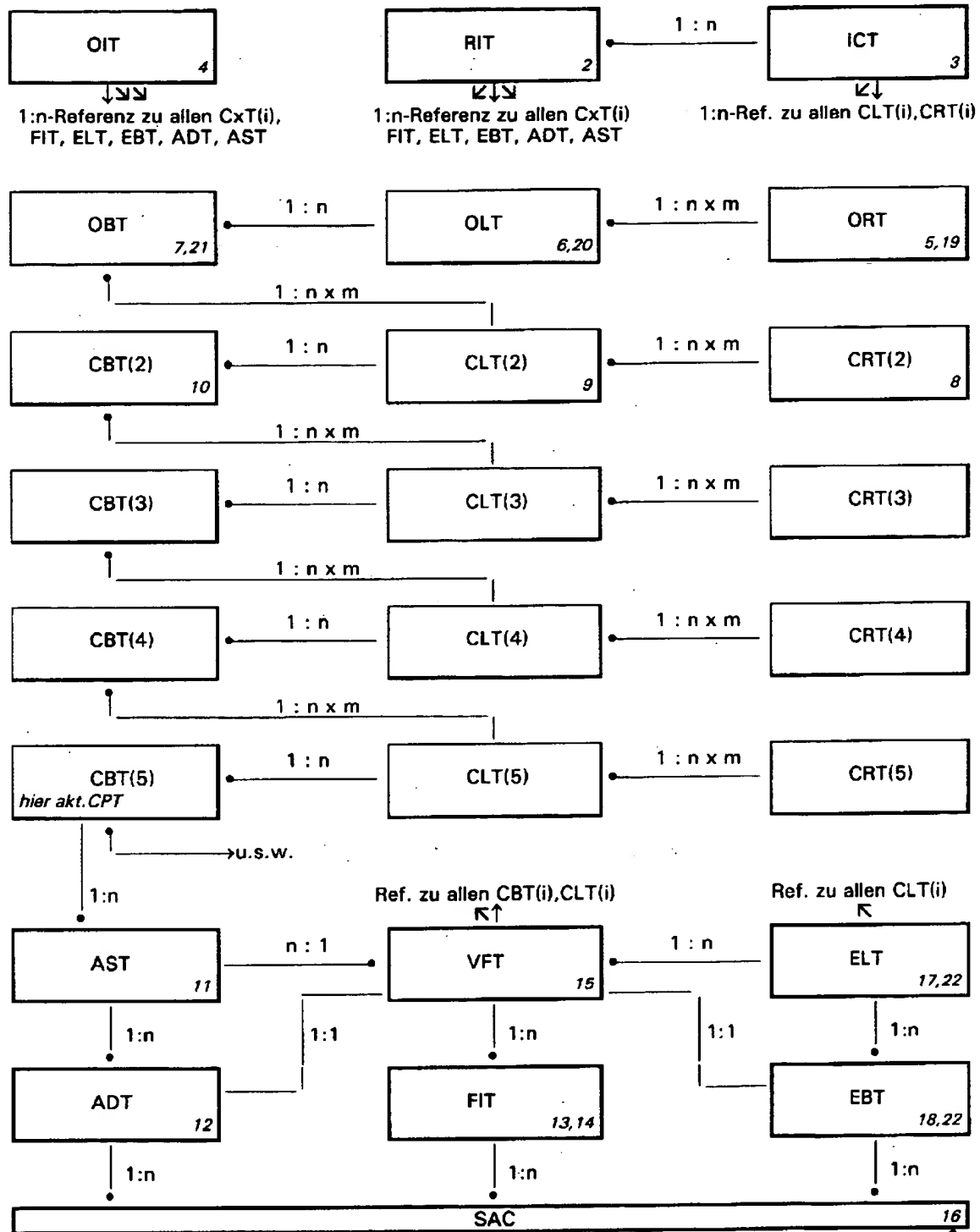


Fig. 1

Fig. Verweis ↑

3.1.2 Tabellen der KB-Datenbank:

Register-Identifikations-Tabelle: [RIT: jedem Prozessor-Reg. wird eine Reg.ID + Reg.BitCode zugeordnet]

Spalte:	Datentyp	Wertebereich	Bedeutung:
Register_ID (PK)	signed byte	-128..127	0 = Flags-Reg., 1-... = Daten-Reg., Adr.Reg., Adr.Reg.-Verweise, FFP-Reg., Control-Reg., Debug-Reg., u.s.w.; neg.Reg.ID = Exc.Vect.Nr. (kein Reg.)
Register BitCode	number	0..2 ¹²⁸⁻¹	2*Register ID, 0 bei neg. Register ID.
Register_type	char(1)	1 Byte	Typ des Registers: # = Flags-Reg., D = Daten-Reg., A = Adress-Reg., V = Adr.-Reg.-Verweis, E = Exception-Vector, u.s.w. (o.ä., je nach Prozessor).
Register number	byte	0..127	Nummer des (Register-Type)-Registers.
Register Description	varchar2(32)	≤32 Bytes	optionale Beschreibung des Register(-Verweise)s.

Fig.2a

Register ID	Register BitCode	Register type	Register number	Register Description
...	0	E	...	{for all Exception-Vectors}
-8	0	E	8	Privilege-Violation Exception
...	0	E	...	{for all Exception-Vectors}
0	1	#	0	Status-Register (\triangleq EFlags ₃₁)
1	2	D	0	Data-Register D0
...	4	D	...	{for all Data-Registers D1-D6}
8	8	D	7	Data-Register D7
9	16	A	0	Adress-Register A0
...	...	A	...	{for all Adress-Registers A1-A6}
16	65536	A	7	Adress-Register A7 (=USP)
17	131072	V	0	Destination of Adress-Register A0
...	...	V	...	{for all Adr.-Reg.-Destinations A1-A6}
24	16777216	V	7	Destination of Adr.-Reg. A7 (=USP)
25	33554432	v	0	Destination before Adr.Reg A0 [- (A0)]
...	...	v	...	{for all Adr.Reg.-Dest. before A1-A6}
32	\$1.0000.0000	v	7	Destination before Adr.Reg A7 [- (USP)]
33	\$2.0000.0000	F	0	Floating-Point Data-Register FPRO
...	{for all further Registers}

Fig.2b (RIT am Beispiel Motorola)

Abfangsbedingungen-Tabelle: [ICT: jedem Register werden 62 Anfangsbed. (initial condit.) zugeordnet]

Spalte:	Datentyp	Wertebereich	Bedeutung:
IniConNr (PK)	signed byte	-31...+30	Anfangsbedingungen-Nr.
Register ID (PK)	signed byte	0..127	siehe RIT
Register Value	integer	0..2 ³²⁻¹	Wert des Registers bei dieser Anfangsbedingungen-Nr.

Fig.3a

Dafür werden 62*RegisterAnzahl Testwerte generiert, z.B. mittels folgender Funktion:	
Register_Value(IniConNr, Register_ID) =	SGN(IniConNr) * INT(2 ^{ABS(IniConNr/2) + 1/2})
	+ Primzahl(3*Register_ID) o.ä.
, mit Primzahl(0) = 0 und Primzahl(-n) = -Primzahl(n); keine 2 gleichen Register-(Verweise)-Inhalte.	

Fig.3b

Operations-Identifikations-Tab.: [OIT: je Prozessor-Oper. wird eine Oper.ID + Oper.BitCode zugeordnet]

Spalte: Datentyp Wertebereich Bedeutung:

Operation ID (PK)	signed byte	-1..63	Bit des Calculation BitCode - siehe Tabellendaten.
Operation BitCode (FK)	number	0..2 ¹²⁸⁻¹	2 ⁿ Calculation ID - siehe Tabellendaten.
Operation Type	char(5)	5 Bytes	5-Character-Code des Operations-Typs, siehe Fig. 4c
Operation Mnemonic	char(5)	5 Bytes	Abkürzung der Rechenoperation - siehe Tab.Daten.
Operation Description	varchar2(32)	≤32 Bytes	optionale Beschreibung der Rechenoperation (s.u.).

Fig. 4a

Operation ID	Operation BitCode	Operation Type	Op.Mnemonic	Operation Description
-1	0	???	unbekannte Operation
0	1	.I11?	TST	Flags in Reg.[Verw.] - Abhängigk.setz.
1	2	.I12!	NEG	Negation Betragsbildung
2	4	.I12!	NOT	bitweise Invertierung
3	8	:I02	MOVI	feste Zahl → Register[verweis]
4	16	:I12+	ADDI	feste Zahl addieren
5	32	:I12-	SUBI	feste Zahl subtrahieren
6	64	:I13*	MULI	mit fester Zahl multiplizieren
7	128	:I23/	DIVI	durch feste Zahl dividieren
8	256	:I13%	MODI	Divisionsrest einer festen Zahl
9	512	:I12*	SHLI	FestZahl-mal verdoppeln
10	1.024	:I12/	SHRI	FestZahl-mal halbieren
11	2.048	:I12	ORI	Bits einer festen Zahl hinzufügen
12	4.096	:I12&	ANDI	Bits einer festen Zahl löschen
13	8.192	:I12?	BTSTI	Reg.[Verw.] - Vergleich m. festem Bit
14	16.384	:I12?	CMPI	Reg.[Verw.] - Vergleich m. fester Zahl
15	32.768	II22	MOV	Quell-Reg.[V.] → Ziel-Reg.[V.]
16	65.536	II22+	ADD	Reg.[Verw.] - Addition
17	131.072	II22-	SUB	Reg.[Verw.] - Subtraktion
18	262.144	II23*	MUL	Reg.[Verw.] - Multiplikation
19	524.288	II33/	DIV	Reg.[Verw.] - Division
20	1.048.576	II33%	MOD	Reg.[Verw.] - Divisionsrest
21	2.097.152	II22*	SHL	Reg.[Verw.] - mal verdoppeln
22	4.194.304	II22/	SHR	Reg.[Verw.] - mal halbieren
23	8.388.608	II22	OR	Reg.[Verw.] - Bits hinzufügen
24	16.777.216	II22&	AND	Reg.[Verw.] - Bits löschen
25	33.554.432	II21?	BTST	Reg.[Verw.] - Vergleich m. Reg.-Bit
26	67.108.864	II21?	CMP	Reg.[Verw.] - Vergleich m. Reg.[Verw.]
27	134.217.728	:P00.	JMP	addiere feste Zahl → PC _μ /EIP _π
28	268.435.456	CP1.<	JLT	Jump if CMP <
29	536.870.912	CP1!>	JLE	Jump if CMP ≤
30	1.073.741.824	CP1.=	JEQ	Jump if CMP =
31	2.147.483.648	CP1!<	JGE	Jump if CMP ≥
32	4.294.967.296	CP1!=	JNE	Jump if CMP ≠
33	\$2.0000.0000	CP1.>	JGT	Jump if CMP >
34	\$4.0000.0000	CP1!<	JPL	Jump if ≥ 0
35	\$8.0000.0000	CP1.<	JMI	Jump if < 0
36	\$10.0000.0000	CP1.^	JCS	Jump if Carry set
37	\$20.0000.0000	CP1!^	JCC	Jump if Carry clear
38	\$40.0000.0000	CP1.~	JVS	Jump if Overflow set
39	\$80.0000.0000	CP1!~	JVC	Jump if Overflow clear
40	\$100.0000.0000	CP2.<	DJMP	Decrement and Jump if Reg. < 0
41	\$200.0000.0000	PS1..	CALL	PC _μ /EIP _π → -(USP _μ /ESP _π) ; + JUMP
42	\$400.0000.0000	SP11.	RET	(USP _μ /ESP _π) + → PC _μ /EIP _π
43	\$800.0000.0000	.I...	I???	unbek. Integer-Operation
44	\$1000.0000.0000	.F...	F???	unbek. Floating-Point-Operation

45	\$2000.0000.0000	FF09	FINIT	init FloatingPoint-Unit
46	\$4000.0000.0000	FI12	FIST	store Float.Point-Reg. → Integer-Reg.
47	\$8000.0000.0000	IF12	FILD	load Integer-Reg. → FloatingPoint-Reg.
48	\$1.0000*2 ³²	IF22+	FIADD	FloatingPoint add Integer
49	\$2.0000*2 ³²	IF22-	FISUB	FloatingPoint sub Integer
50	\$4.0000*2 ³²	IF22*	FIMUL	FloatingPoint multipl. mit Integer
51	\$8.0000*2 ³²	IF22/	FIDIV	FloatingPoint teile durch Integer
52	\$10.0000*2 ³²	IF21?	FICMP	Float.Point-Compare Integer → Flags
53	\$20.0000*2 ³²	:F02	FLD#	Konstante → FloatingPoint-Register
54	\$40.0000*2 ³²	.F12!	FABS	FloatingPoint-Betragsbildung
55	\$80.0000*2 ³²	FF12	FLD	FloatingPoint-Kopieren
56	\$100.0000*2 ³²	FF22+	FADD	FloatingPoint-Addition
57	\$200.0000*2 ³²	FF22-	FSUB	FloatingPoint-Subtraktion
58	\$400.0000*2 ³²	FF22*	FMUL	FloatingPoint-Multiplikation
59	\$800.0000*2 ³²	FF22/	FDIV	FloatingPoint-Division
60	\$1000.0000*2 ³²	.F12@	FSQRT	FloatingPoint-Wurzel
61	\$2000.0000*2 ³²	.F12@	FSIN	FloatingPoint-Sinus
62	\$4000.0000*2 ³²	.F12@	FCOS	FloatingPoint-Cosinus
63	\$8000.0000*2 ³²	.F12@	FATAN	FloatingPoint-ArcusTangens
64	\$1*2 ⁴⁸	FF22*	FEXP2	$y := y * 2^x$, o.ä. Exponentialfunktion
65	\$2*2 ⁴⁸	FF22/	FLOG2	$y := x * \log_2 y$, o.ä. Logarithmusfkt.
66	\$4*2 ⁴⁸	FF21?	FCMP	FloatingPoint-Compare → Flags
67	\$8*2 ⁴⁸	\$I11	SMOV	Move from a special Register
68	\$10*2 ⁴⁸	\$I11	MOVS	Move to a special Register
...

Fig. 4b

... mit dem Operation-Type Character-Code:

1. Zeichen = Quelle, 2. Zeichen = Ziel, mit:	<p>? = unbekannt, Platzhalter für alle möglichen folgenden</p> <p>. = nichts</p> <p>:</p> <p>I = Integer-Register-[Verweis]-Inhalt</p> <p>F = Floating-Point Register</p> <p>C = ConditionCode-Register (unterstes Byte v. EFlags_{FF}/SR₁₁)</p> <p>P = InstructionPointer/Programmzähler (EIP_{FF}/PC₁₁)</p> <p>S = StackPointer-Verweis</p> <p>~ = Vergleichsoperation → Flags</p> <p>\$ = ein Spezial-Reg., wie Flags-, Control-, Debug-, ...</p> <p>! = Nicht für Vergleichsabfrage im 4. Feld</p>
3. Zeichen = Anzahl der betr. Quell-Reg.	icl. des Zielregisters, wenn auch als Source verwendet.
4. Zeichen = Anzahl der betr. Ziel-Reg.	mit Flags-Register ohne Instruction-Pointer.
5. Zeichen = Rechen-Wirkung:	<p>? = unbekannt</p> <p>. = keine</p> <p>! = Betragsbildung Negation bitweise Invertierung</p> <p>+</p> <p>- = Subtraktion</p> <p>*</p> <p>/ = Teilung</p> <p>% = Divisionsrest</p> <p>l = Bits setzen</p> <p>& = Bits löschen</p> <p>@ = trigonometrische- oder Potentialfunktion</p> <p>> = größer ? (Abfrage der Flags)</p> <p>< = kleiner ? (Abfrage der Flags)</p> <p>= = gleich ? (Abfrage der Flags)</p> <p>^ = Carry ? (Abfrage der Flags)</p> <p>~ = Overflow ? (Abfrage der Flags)</p>

Fig. 4c

OpCode-Register-Tabelle: [ORT - von diesem OpCode + Anfangsbed. betroffene Register + Wirkung]

Spalte:	Datentyp	Wertebereich	Bedeutung:
OpCode (PK)	integer	0..2 ³² -1	Complete Instruction, truncated if > 4 Bytes
IniConNr (PK)	signed byte	-31..30	Anfangsbedingungs-Nr.
Register ID dest (PK)	signed byte	0..127	ein betroffenes Ziel-Register der Ausführung, s. RIT.
Register ID source (PK)	signed byte	-1,0..127	-1 oder ein mögliches Quell-Register, siehe RIT.
value before change	integer	0..2 ³² -1	Wert von Geändertem vor Änderung.
value after change	integer	0..2 ³² -1	Wert von Geändertem nach Änderung.
gradient if unsigned	signed byte	-128..127	Erhöhungs-Gradient, wenn als unsigned definiert.
gradient if signed	signed byte	-128..127	Erhöhungs-Gradient, wenn als signed definiert.
value_source	integer	0..2 ³² -1	Wert von möglichem Quell-Register-[Verweis]-Inhalt
Operations_BitCode	number	0..2 ¹²⁸ -1	Bitmaske, die alle zutreffenden Rechenarten dieser Register_ID_dest / Register_ID_source -Kombination kennzeichnet (z.B.: 2 + 2 = 2 * 2 bei gleichen Reg's). Werte siehe CIT, Berechnung siehe Fig.19.

Fig.5

Für jede Register- oder Register-Verweisinhalts-Änderung derselben Ausführung gibt es hier einen Eintrag, der die Register-[Verweis]-Werte vor und nach der Ausführung, sowie dessen Änderungsgrad angibt, und einen Hinweis ein mögliches Quellregister und auf die betreffende Operation, die stattgefunden haben könnte. (Packed, Teil-Word/Byte und BCD werden nicht berücksichtigt.)

Das letzte Adress-Reg. ist der StackPointer. Das letzte Daten-Register sei das "Energie"-Register. Als Adress-Register sei hier jedes Register bezeichnet, dessen Inhalt nicht nur ein Wert, sondern auch eine Adresse im Speicher sein kann, auf dessen Inhalt zugegriffen werden kann.

Es können mehrere Register gleichzeitig verändert worden sein, deshalb diese zusätzliche 1:n-Tabelle, bei der *Register_ID_dest* die Identität des geänderten Registers darstellt. Als mögliches Quellregister für die Änderung können u.U. mehrere in Frage kommen - diese Menge erhöht sich weiter durch die Summe aller möglichen Operationen.

Deshalb identifizieren die folgenden Tabellen den OpCode und die betroffenen Register:

OpCode-Lern-Tabelle: [OLT - ermittelte Wirkung des OpCodes bei diesen Anfangsbed.]

Spalte:	Datentyp	Wertebereich	Bedeutung:
OpCode (PK)	integer	0..2 ³² -1	Complete Instruction, truncated if > 4 Bytes
IniConNr (PK)	signed byte	-31..30	Anfangsbedingungs-Nr.
active ChkSum corrupt	boolean	1 0	Flag: aktives KB-Progr. CheckSum changed
inactive ChkSum corrupt	boolean	1 0	Flag: inaktives KB-Progr. CheckSum changed
Exception Vect changed	signed byte	-128...0	Register ID d. 1. überschriebenen Exception-Vectors
multiple Exc Vect chg	boolean	1 0	min.2 Exception-Vektoren wurden überschrieben.
Processor Mode Changed	boolean	1 0	Flag: Prozessor-Modus wurde verändert (z.B. Trace)
Number of Exception	byte	0..N+1	Exception-Nummer(ggf.+1) [0: = keine Exc.]
OpCode_length_or_jump	signed byte	-128..127	EIP _{PC_u} jetzt N Bytes weiter bzw. zurück; -128 = \$FF = langer Sprung zurück; 127 = \$7F = langer vor.
CCR before execution	byte	0..255	Flags, die einen Sprung ausgelöst haben könnten.
Register changed BitCode	number	0..2 ¹²⁸ -1	$\exists 2^{\text{ORT.Register ID dest}} \vee \text{ORT}(\text{OpCode}, \text{LfdNr})$
Register source BitCode	number	0..2 ¹²⁸ -1	$\exists 2^{\text{ORT.Register ID source}} \vee \text{ORT}(\text{OpCode}, \text{LfdNr})$
max_Operations_BitCode	number(19)	0..2 ¹²⁸ -1	$\exists \text{ORT.Calculation BitCode} \vee \text{ORT}(\text{OpCode}, \text{IniConNr})$
min_Operations_BitCode	number(19)	0..2 ¹²⁸ -1	$\exists \text{ORT.Calculation BitCode} \vee \text{ORT}(\text{OpCode}, \text{IniConNr})$
time of execution	integer	0..2 ³² -1	DeciSeconds after (20.9.1994, 0:00:00,0 Uhr)
cycles of execution	byte	1..255	Taktzyklen der OpCode-Ausführung
aim valuation	signed byte	-128..127	Ziel-Erreichungs-Bewertung bei diesen Anfangsbed.
gradient aim valuation	signed byte	-128..127	Unterschied zu CLT(n-1, IniConNr).aim valuation

Fig.6

OpCode-Basis-Tabelle: [OBT - ermittelte Wirkung der OpCode-Ausführung aus versch. Anfangsbed.]

Spalte: Datentyp Wertebereich Bedeutung:

OpCode (PK)	Datentyp	Wertebereich	Bedeutung:
Execution counter	integer	0..2 ³² -1	Complete Instruction, truncated if > 4 Bytes
FatalError_counter	byte	0..255	Anzahl der verursachten schweren Fehler: CheckSum_corrupt, Exception_Vect_changed, Trace_Bit_cheared, Processor_Mode_changed, Exceptions außer Divide-Error, Overflow.
low Error counter	byte	0..255	Anzahl der Divide-Error oder Overflow -Exceptions
Jump longOp probability	signed byte	-128..127	Wahrscheinlichkeit: Befehl ist langer Opcode Sprung
avg OpCpde jump length	signed byte	-128..127	mittlere OpCode/Sprung-Länge von allen Ausführungen
OpCode len unconfirmed	boolean	1 0	min. eine Abweichung von der OpCode-Länge
avg cycles of execution	byte	1..255	mittlerer Zeitverbrauch in Taktzyklen
exec cycles unconfirmed	boolean	1..0	min. eine Abweichung von der Anzahl der Taktzyklen
Register write probability	signed byte	-128..127	Wahrscheinlichkeit: Befehl schreibt in Register
Register copy probability	signed byte	-128..127	Wahrscheinlichkeit: Befehl kopiert Register
Memory write probability	signed byte	-128..127	Wahrscheinlichkeit: Befehl schreibt in Speicher
Memory copy probability	signed byte	-128..127	Wahrscheinlichkeit: Befehl kopiert Speicher
Reg to Mem probability	signed byte	-128..127	Wahrscheinlichkeit: Befehl kopiert Register d.Adr.Reg.
Mem to Reg probability	signed byte	-128..127	Wahrscheinlichkeit: Befehl kopiert d.Adr.Reg. in Reg
Multi Reg write prob	signed byte	-128..127	Wahrsch.: Befehl schreibt in mehrere Register.
Multi Mem write prob	signed byte	-128..127	Wahrsch.: Befehl schreibt durch mehrere Adr.Reg.
Multi Reg to Mem prob	signed byte	-128..127	Wahrsch.: Befehl kopiert min.2 Reg. d.min.2 Adr.Reg.
Multi Mem to Reg prob	signed byte	-128..127	Wahrsch.: Bef. kopiert d.min.2 Adr.Reg. in min.2 Reg.
all_Reg_dest_BitCode	number	0..2 ¹²⁸ -1	\exists OLT.Register changed Bitcode \forall OLT(OpCode)
cut_Reg_dest_BitCode	number	0..2 ¹²⁸ -1	ζ OLT.Register changed Bitcode \forall OLT(OpCode)
all_Reg_source_BitCode	number	0..2 ¹²⁸ -1	\exists OLT.Register source Bitcode \forall OLT(OpCode)
cut_Reg_source_BitCode	number	0..2 ¹²⁸ -1	ζ OLT.Register source Bitcode \forall OLT(OpCode)
max_Operation_BitCode	number	0..2 ¹²⁸ -1	\exists OLT.max Operation Bitcode \forall OLT(OpCode)
min_Operation_BitCode	number	0..2 ¹²⁸ -1	ζ OLT.min Operation Bitcode \forall OLT(OpCode)
all_Operation_BitCode	number	0..2 ¹²⁸ -1	\exists OLT.min Operation Bitcode \forall OLT(OpCode)
cut_Operation_BitCode	number	0..2 ¹²⁸ -1	ζ OLT.max Operation Bitcode \forall OLT(OpCode)
max write value	integer	0..2 ³² -1	Maximum aller geschriebenen Werte
min write value	integer	0..2 ³² -1	Minimum aller geschriebenen Werte
avg write value	integer	0..2 ³² -1	Mittelwert aller geschriebenen Werte
max write gradient	integer	0..2 ³² -1	maximale Differenz des geänderten Werts
min write gradient	integer	0..2 ³² -1	minimale Differenz des geänderten Werts
avg write gradient	integer	0..2 ³² -1	durchschnittliche Differenz des geänderten Werts
evaluated source Register	signed byte	-1,0..127	Quellregister ID (nach OBT-Auswertung)
evaluated_source_NumReg	signed byte	-128, -1, 0..127	-128 \triangleq LOB ist feste Quellzahl; 0..127 = weitere Quellregister ID; -1 = -1 (nach OBT-Auswertung)
evaluated dest Register	signed byte	-1, 0..127	Zielregister nach OBT-Auswertung
evaluated_dest_Register2	signed byte	-1, 0..127	mögl. 2.Zielregister nach OBT-Auswertung oder Flags (bei min. 2 echten ZielReg. wird Flags nicht genannt).
evaluated Operation ID	signed byte	-1,0..63	wahrscheinlichste ausgeführte Operation (Ausw.)
Confirmation counter	byte	0..255	gleiche Auswirkung bei neuen Anfangsbedingungen
max aim valuation	signed byte	-128..127	max. Wertvolligkeit des OpCodes für Zielerreichung
avg aim valuation	signed byte	-128..127	mittlere Wertvolligkeit d.OpC. für Zielerreichung
max_grad_aim_valuation	signed byte	-128..127	max.Erhöhung der Zielerreichung gegenüber der kürzeren OpCodeKombination ohne diesen OpCode[CBT(i-1)]
avg_grad_aim_valuation	signed byte	-128..127	mittl. Erhöhung der Zielerreichung durch letzten OpC.

Fig. 7

Datentypen: Boolean 1 Bit, BCD/Nibble 4 Bit, Byte/char(1) 8 Bit, Word/short 16 Bit, DWord/Integer 32 Bit, QWord/number(19) 64 Bit, number/number(38,0) 128 Bit (38 Digits \triangleq 16 Bytes), varchar2(N) String variabler Länge aus max.N Character, long sehr langer String aus max(longDef) Character.

Die folgenden **Kombinations-Tabellen** werden dynamisch angelegt, haben die gleichen Non-PK-Columns, wie die OBT bzw. OLT bzw. ORT, jedoch für jede zusätzliche Code-Kombinations-Anzahl einen weiteren OpCode mehr im PK:

Kombinations-Register-Tabelle: [CRT(i), i = Anz.OpCodes, für die OpCode-Kombination, CRT(1) = ORT]

Spalte:		Datentyp	Wertebereich	Bedeutung:
OpCode 1	(PK)	integer	0-2 ³² -1	Opcode 1 (erster der Befehlskombination)
{for all OpCodes}	(PK)	je integer	0-2 ³² -1	{für alle Opcodes 2 bis N-1}
OpCode N	(PK)	integer	0-2 ³² -1	Opcode N (letzter der Befehlskombination)
IniConNr	(PK)	signed byte	-31..30	Anfangsbedingungs-Nr.
Register ID dest	(PK)	signed byte	0..127	ein betroffenes Ziel-Register der Ausführung, s. RIT.
Register ID source	(PK)	signed byte	-1..127	-1 oder ein mögliches Quell-Register, siehe RIT.
{Gleiche Spalten, wie in der OpCode-Register-Tabelle.}		s.o.	s.o.	jede Kombinations-Register-Tabelle hat unter dem PK die gleichen Spalten, die die OpCode-Register-Tabelle auch hat.

Fig. 8

Kombinations-Lern-Tabelle: [CLT(i), i = Anz.OpCodes, für die OpCode-Kombination, CLT(1) = OLT]

Spalte:		Datentyp	Wertebereich	Bedeutung:
OpCode 1	(PK)	integer	0-2 ³² -1	Opcode 1 (erster der Befehlskombination)
{for all OpCodes}	(PK)	je integer	0-2 ³² -1	{für alle Opcodes 2 bis N-1}
OpCode N	(PK)	integer	0-2 ³² -1	Opcode N (letzter der Befehlskombination)
IniConNr	(PK)	signed byte	-31..30	Anfangsbedingungs-Nr.
{sonst gleiche Spalten, wie in der OpCode-Lern-Tabelle.}		s.o.	s.o.	jede Kombinations-Lern-Tabelle hat unter dem PK die gleichen Spalten, die die OpCode-Lern-Tabelle auch hat.

Fig. 9

Kombinations-Basis-Tabelle: [CBT(i), i = Anz.OpCodes, für die OpCode-Kombination, CBT(1) = OBT]

Spalte:		Datentyp	Wertebereich	Bedeutung:
OpCode 1	(PK)	integer	0-2 ³² -1	Opcode 1 (erster der Befehlskombination)
{for all OpCodes}	(PK)	je integer	0-2 ³² -1	{für alle Opcodes 2 bis N-1}
OpCode N	(PK)	integer	0-2 ³² -1	Opcode N (letzter der Befehlskombination)
{sonst gleiche Spalten wie in der OpCode-Basis-Tabelle.}		s.o.	s.o.	jede Kombinations-Basis-Tabelle hat unter dem PK die gleichen Spalten, die die OpCode-Basis-Tabelle auch hat.

Fig. 10

CBT(max.) = CPT = Kombinations-Plan-Tabelle = Entstehungsort des Ergebnis-Programms.

Programmierzil- und Bewertungsfunktions-Tabellen:**Ziellösungs-Tabelle: (AST - Lösungen (aim-solution) aller gestellten Programmier-Aufgaben)**

Spalte:	Datentyp	Wertebereich	Bedeutung:
Aim ID (PK)	short	0..65535	Identifiziert das Programmierzil
Solution Nr (PK)	byte	0..255	laufende Nr des Lösungsprogramms
aim Program	long	String	OpCode-Kombination des Lösungs-Prg. als String.
Program length	short	1..65535	Länge d. Lösungs-Prgs in Doublewords, aufgerundet
cycles of execution	integer	1..2 ³² -1	Ausführungszeit des Lös.-Prgs in Taktzyklen
used Registers BitCode	number	1..2 ¹²⁸ -1	Bitcode aller im Lös.-Prg. benutzten Register
used Operations Bitcode	number	1..2 ¹²⁸ -1	Bitcode aller im Lös.-Prg. benutzten Operationen
used aim Valuation Func	signed short	0..32767	Identifiziert der benutzten Zielnähe-Bewertungsfunktion

Fig. 11

Ziel-Beschreibungs-Tabelle: (ADT - Zielprogramm-Beschreibung (aim-description) und Identifikation)

Spalte:	Datentyp	Wertebereich	Bedeutung:
Aim ID (PK)	short	0..65535	Identifiziert das Programmierzil
aim Description	varchar2(32)	≤32 Bytes	Beschreibung der Programmieraufgabe
used Processor Mode	integer	0-2 ³² -1	Flags über CCR Control-Register-Bits
all_dest Register BitCode	number	1..2 ¹²⁸ -1	Bitcode aller Ausgabe-Register der Aufgabe
all_source Register BitCode	number	1..2 ¹²⁸ -1	Bitcode aller Eingabe-Register der Aufgabe
unused Register BitCode	number	1..2 ¹²⁸ -1	Bitcode aller nicht zu benutzenden Register
unused Operation BitCode	number	0..2 ¹²⁸ -1	Bitcode aller mit Sicherheit nicht zu verwendenden Operationen (default = \$0000.0000:0000.0000)
aim implement solutions	long	String	String aus Aim_ID's (words) früherer, hier einzubindender Lösungen.
aim fulfill valuation mode	boolean	0 1	Ziel-Bewertungsfunktion: 0=SQL ; 1=Maschinencode
aim fulfilled Flag Function	varchar2(99)	≤99 Bytes	bool'sche Ziel-Erreicht Erkennungs-Funktion als String
aim Valuation FunctionID	signed short	0..32767	Identifiziert der Zielnähe-Bewertungs-Funktion aus VFT

Fig. 12

Funktion-Identifikations-Tabelle: (FIT - Tabelle der Bewertungsfunktions-Fragmente)

a.) für SQL-Funktionen:

Spalte:	Datentyp	Wertebereich	Bedeutung:
Function ID (PK)	signed byte	-1..127	Identifikationsnummer der Teilfunktion
Function BitCode	number(19)	0..2 ⁶⁴ -1	BitCode dieser Teilfunktion
Function Name	char(5)	5 Bytes	Funktions-Name
Function Type	byte	0..99	0 = value, 1 = unitär, 2 = binär, 3 = ternär, ...
Function Flatten	signed byte	-127..127	Funktions-Abflachungsgrad (pos = steiler, neg = flacher)
Function Template	varchar2(99)	≤99 Bytes	SQL-Funktions-Template
Function Description	varchar2(99)	≤99 Bytes	optionale Teilfunktions-Beschreibung

Fig. 13a

F.ID	Function BitCode	F.Name	F.T.	F.F.	Function Template	Function Description
0	1	NUM	0	0	< FolgeWert >	es folgt eine Zahl
1	2	ENGY	0	0	ELT.energy_after	Energie nach Änderung
2	4	GRAD	0	0	ELT.energy_after -ELT.energy_before	Energie-Erhöhung
3	8	VALUE	0	0	CLT(n). < columnNr >	Wert aus dem Inhalt der folgenden Column-Nr
4	16	EREG	0	0	< EnergieRegister ID >	ID des Energie-Registers
5	32	SGN	1	0	SIGN(%s)	Vorzeichen
6	64	ROUND	1	0	ROUND(%s, 0)	gerundet
7	128	INT	1	0	FLOOR(%s)	abgerundet
8	256	ABS	1	0	ABS(%s)	Betrag
9	512	NEG	1	0	-(%s)	Negation
10	1.024	ADD	2	1	((%s) + (%s))	Addition
11	2.048	SUB	2	-1	((%s) - (%s))	Subtraktion
12	4.096	MUL	2	4	((%s) * (%s))	Multiplikation
13	8.192	DIV	2	-4	((%s) / (%s))	Division
14	16.384	MOD	2	-2	MOD(%s, %s)	Divisionsrest
15	32.767	SQRT	1	-8	SQRT(%s)	QuadratWurzel
16	\$1.0000	CBRT	1	-12	POWER(%s, 1/3)	KubikWurzel
17	\$2.0000	MIN	2	-10	LEAST(%s, %s)	Minimum
18	\$4.0000	MAX	2	-10	GREATEST(%s, %s)	Maximum
19	\$8.0000	LN	1	-48	LN(%s)	Logarithmus naturalis
20	\$10.0000	EXP	1	48	EXP(%s)	nat. Exponentialfkt.
21	\$20.0000	LD	1	-32	LOG(2, %s)	Logarithmus dualis
22	\$40.0000	POT2	1	32	POWER(2, %s)	2-te Potenz von
23	\$80.0000	SIN	1	-64	SIN(%s)	Sinus
24	\$100.0000	COS	1	-64	COS(%s)	Cosinus
25	\$200.0000	TAN	1	127	TAN(%s)	Tangens
26	\$400.0000	ASIN	1	127	ASIN(%s)	ArcusSinus
27	\$800.0000	ACOS	1	127	ACOS(%s)	ArcusCosinus
28	\$1000.0000	ATAN	1	-127	ATAN(%s)	ArcusTangens
29	\$2000.0000	SINH	1	40	SINH(%s)	SinusHyperbolicus
30	\$4000.0000	COSH	1	50	COSH(%s)	CosinusHyperbol.
31	\$8000.0000	TANH	1	-127	TANH(%s)	TangensHyperbol.
32	\$1.0000.0000	LOG	2	-64	LOG(%s, %s)	Logarithmus
33	\$2.0000.0000	POT	2	64	POWER(%s, %s)	Potenzierung
34	\$4.0000.0000	OR	2	1	((%s) (%s))	bitweises ODER
35	\$8.0000.0000	AND	2	-1	((%s) & (%s))	bitweises AND
36	\$10.0000.0000	EQ	2	-127	DECODE(%s, %s, 1, 0)	gleich
37	\$20.0000.0000	LE	2	-127	DECODE(GREATEST(%s - %s, 0), 0, 1, 0)	kleiner-gleich
38	\$40.0000.0000	GE	2	-127	DECODE(LEAST(%s - %s, 0), 0, 1, 0)	größer-gleich
39	\$80.0000.0000	FRAME	1	-10	GREATEST(LEAST(%s, +127), -128)	in signed-byte Rahmen: max. = 127, min. = -128
40	\$100.0000.0000	BITS	1	-64	(1 & %s) + (2 & %s) / 2 + (4 & %s) / 4 + (8 & %s) / 8 +	Anzahl Bits im vorigen Wert
41	\$200.0000.0000	S_REG	0	0	ADT.all_source_Registers- BitCode	Quellregister-BitCode
42	\$400.0000.0000	D_REG	0	0	ADT.all_dest_Registers BitCode	Zielregister-BitCode
43	\$800.0000.0000	AIM_F	0	0	VAL(ADT.aim_fulfilled_Flag- Function)	Ergebnis der Ziel- erreichungsfunktion
...

Fig. 13b

b.) Für Maschinensprache-Funktionen:

Spalte: Datentyp Wertebereich Bedeutung:

Function ID (PK)	signed byte	-1..127	Identifikationsnummer der Teilfunktion
Function BitCode	number(19)	0..2 ⁶⁴ -1	BitCode dieser Teilfunktion
Operations BitCode	number	0..2 ¹²⁸ -1	BitCode der verwendeten OpCodes in dieser Funktion
Registers BitCode	number	0..2 ¹²⁸ -1	BitCode der verwendeten Register in dieser Funktion
Function Name	char(5)	5 Bytes	Kurzbezeichnung der Teilfunktion
Function Type	byte	0..99	0 = value, 1 = unitär, 2 = binär, 3 = ternär, ...
Function Flatten	signed byte	-128..127	Funktions-Abflachungsgrad ($1 \triangleq f(x) = x$)
Function OpCodes	number	1..2 ¹²⁸ -1	Teilfunktion in Maschinensprache
Function Description	varchar2(99)	≤99 Bytes	optionale Teilfunktions-Beschreibung

Fig. 14a

Func.ID	Func.BitCode	Oper.BitCode	Reg.BitCode	Func.Name	F.T.	Func.OpCodes	Function Descript.
0	1	\$A000.4008	<energy>	FRAME	1	s.u. Func.1	Überläufe verhindern
1	2	\$28800.0009	<energy>	SGN	1	s.u. Func.2	Signum (Vorzeichen)
2	4	\$0000.0002	<energy>	NEG	1	<NEG>	Negation
3	8	\$0000.0200	<energy>	MUL2	1	<SHLI>	Division durch 2
4	16	\$0000.0400	<energy>	DIV2	1	<SHRI>	Multiplikation mit 2
5	32	\$0000.0100: 4A00.8018	<DO> <en>	ILOG2	1	s.u. Func.3	Logarithmus dualis
6	64	\$1000.C000: 0000.0000	<FPO> <en>	ISQRT	1	s.u. Func.4	Square-Root
7	128		s. 1.4.2	ICBRT	1	s.o. 1.4.2	Cube-Root
8	256	\$0000.8000	<en-1> <en>	MOV	2	<MOV>	Kopieren in Reg. vor Energy-Reg.
9	512	\$0000.8000	<en-1> <en>	SWAP	2	s.u. Func.5	Vertauschen mit Reg. vor Engy-Reg.
10	1024	\$0001.0000	<en-1> <en>	ADD	2	<ADD>	Addition mit "-"
11	2048	\$0002.0000	<en-1> <en>	SUB	2	<SUB>	Subtraktion "-"
12	4096	\$0004.0000	<en-1> <en>	MUL	2	<MUL>	Multiplikation "-"
13	8192	\$0008.0000	<en-1> <en>	DIV	2	<DIV>	Division "-"
...

Fig. 14b

Funktion:	OpCodes von: (Maschinencodeübersetzung u.g. Mnemonics, hier am Beispiel Motorola)
Func.1	CMPI 127,<E>; JLE <+2>; MOVI #127,<E>; CMPI -128,<E>; JGE <+2>; MOVI #-128,<E>
Func.2	TST <E>; JGE <+3>; MOVI #-1,<E>; JMP <+5>; JGT <+3>; MOVI #0,<E>; JMP <+2>; MOVI #+1,<E>
Func.3	MOVI #31,DO; BTST DO,<E>; JEQ <+3>; DJMP DO,<-2>; ADDI #1,DO; MOVE DO,<E>
Func.4	FILD <E>; FSQRT; FIST <E>
Func.5	MOVE <E-1>,-(A7); MOVE <E>,<E-1>; MOVE (A7)+,<E>

Fig. 14c

Bewertungs-Funktions-Tabelle: [VFT (valuation f.) - Tabelle der Bewertungsfunktionen]

Spalte:	Datentyp	Wertebereich	Bedeutung:
Valuation Function ID (PK)	signed short	± 32767	Identifiziert die Bewertungsfunktionen (Energie neg.)
Valuation_Function_Type	char(1)	'E' 'A'	'E' = Energie-Bewertung, 'A' = Wertvolligkeit für Programmierzilerreichung, (ggf. später weitere)
Valuation Function Mode	boolean	0 1	0 = SQL-Modus ; 1 = Maschinencode-Modus
Valuation Function	varchar2(99)	≤ 99 Bytes	Bewertungs-Funktion bzgl. Energie oder Zielerreichung
execution counter	integer	$0 \cdot 2^{32} - 1$	Anzahl der Funktions-Benutzungen
used Functions BitCode	number(19)	$0 \cdot 2^{64} - 1$	BitCodes der verwendeten Teilfunktionen
Function ID Chain	varchar2(99)	≤ 99 Bytes	Verkettung der Teilfunktionen (je Byte \triangleq Function ID)
avg Func execution time	integer	$0 \cdot 2^{32} - 1$	mittlere Ausführungszeit der Bew.Fkt. in Taktzyklen.
boundary value counter	integer	$0 \cdot 2^{32} - 1$	Zähler f. Bewertungsergebnis = $-128 \mid +127$
low value counter	integer	$0 \cdot 2^{32} - 1$	Zähler f. Bewertungsergebnis in ± 16
Valuation_Function_value	signed byte	$-128 \dots 127$	Wertvolligkeit der Bewertungsfunktion = SAC.Self-Valuation Aim/Energy(Valuation Function, Values)

Fig. 15a Initiale Einträge für Energie-Bewertung und Zielnähe-Bewertung:

ID	Ty	M	Valuation Function
-1	'E'	0	$\text{MAX} [\text{MIN} [\text{SGN} (\text{EnergyReg}' - \text{EnergyReg}^0) \cdot \text{SQRT} (\text{EnergyReg}' - \text{EnergyReg}^0) - 32 \cdot \text{I} \{ \text{CLT}(\text{i}).\text{Register_changed_BitCode} \& (\text{I} 2^{\text{Energy_Register_ID}}) \} , +127] , -128]$
0	'A'	0	$\text{MAX} [\text{MIN} [16 \cdot \text{I} \{ \text{CLT}(\text{i}).\text{Register_changed_BitCode} \& \text{ADT.all_dest_Register_BitCode} \} + 16 \cdot \text{I} \{ \text{CLT}(\text{i}).\text{Register_source_BitCode} \& \text{ADT.all_source_Register_BitCode} \} + 32 \cdot \text{ADT.aim_fulfilled_Flag_Function} (\text{Aim_ID}) - \text{CLT}(\text{i}).\text{Processor_Mode_changed} - \frac{1}{4} \cdot \text{CLT}(\text{i}).\text{cycles_of_execution} - (\text{CLT}(\text{i}).\text{active} \mid \text{inactive_ChkSum_corrupt}) - (\text{CLT}(\text{i}).\text{Exception_vect_changed} > 0) - (\text{CLT}(\text{i}).\text{Number_of_Exception} > 0) - \frac{1}{2} (\text{CLT}(\text{i}).\text{ObCode_length_or_jump} > 4 \text{ oder } \leq 0) , +127] , -128]$

ex#	used F. BitCode	Function ID chain	ex.T	bdy#	low#	F.Val
0	\$189.0040.983B	2,5; 2,15; 12; 4,22,3,11,35,40,1,32,12; 11; 39	0	0	0	0
0	\$EE9.0001.3AAA	3,11,42,35,1,16,12; 3,12,41,35,1,16,12,10; 43,1,32,10, 3,7,11; 3,16,1,5,13,11; 3,3,11; 3,5,11 3,5,5,10; 3,8,5,10; 3,9,1,0,37,11;3,9,1,5,38,11;39	0	0	0	0

Fig. 15b**Statuszeile Künstliches Bewußtsein: [SAC (artificial consciousness) - Statuswerte des KB-Programms]**

Spalte:	Datentyp	Wertebereich	Bedeutung:
Programm StartDate	timestamp	Zeit+Dat.	Datum und Uhrzeit des Programmstarts.
actual Processor Mode	integer	$0 \cdot 2^{32} - 1$	Flags über CCR Control-Register-Bits
actual CPT index	byte	1..255	CBT(max(i)=actual CPT Nr) = akt.CPT
CxT counter	short	1..65535	Anzahl des Aufbaus der dynamischen CxT-Tabellen
Aims total	short	1..65535	Anzahl der Programmierziele insgesamt
Aims soluted	short	0..65535	Anzahl gelöster Programmieraufgaben
actual Aim ID	short	0..65535	ID des aktuellen Programmierzies
Aim_Valuation_Mode	boolean	0 1	Modus der Zielerreichungs-Bewertungsfunktion 0 = SQL-Modus ; 1 = Maschinencode-Modus
Aim_Valuation_FunctionID	signed short	$0 \dots 32767$	Aktuelle VFT.Valuation_Function_ID bzgl. Ziel-annäherungs-Bewertung
Aim_Self_Valuation_Func	varchar2 (400)	max.400 Zeichen	PL/SQL-Bewertungsfunktion bzgl. der Effizienz der Rahmen-Zielerreichungs-Bewertungsfunktionen
Energy_Valuation_Mode	boolean	0 1	Modus der Energiehandlungs-Bewertungsfunktion 0 = SQL-Modus ; 1 = Maschinencode-Modus
Energy_Valuation Func ID	signed short	$-1 \dots -32768$	Akt. VFT.Valuation_Function_ID bzgl. Energie-Bewert.
Energy_Self_Valuation_Func	varchar2 (400)	max.400 Zeichen	PL/SQL-Bewertungsfunktion bzgl. der Effizienz der Energie-Bewertungsfunktionen
max Valuation Function	signed short	$0 \dots 32767$	höchste ID aller Bewertungsfunktionen in der VFT.
min Valuation Function	signed short	$-1 \dots -32768$	niedrigste ID aller Bewertungsfunktionen in der VFT.

Fig. 16

Energie-Lern-Tabelle: [ELT - bewertet energiespezifische anfangsbedingungsabhängige Handlungen]

Spalte: Datentyp Wertebereich Bedeutung:

Energy_action (PK)	number	0..2 ¹²⁸ -1	max. 16 Byte OpCode-Kombination der Energie-Register verändernden Handlung.
IniConNr (PK)	signed byte	-31..30	Anfangsbedingungs-Nr.
Energy before	integer	0..2 ³² -1	Energie-Register vor dieser Handlung
Energy after	integer	0..2 ³² -1	Energie-Register nach dieser Handlung
min Operations BitCode	number	0..2 ¹²⁸ -1	BitCode der wahrscheinlich benutzten Operationen.
max Operations BitCode	number	0..2 ¹²⁸ -1	BitCode aller möglicherweise benutzten Operationen.
Register changed BitCode	number	1..2 ¹²⁸ -1	BitCode der hierbei veränderten Register.
Register source BitCode	number	1..2 ¹²⁸ -1	BitCode der hierbei ausgelesenen Register.
used_cycles of execution	short	1..65535	Ausführungszeit der energiespezifischen Handlung
Energy valuation	signed byte	-128..127	Ergebnis der akt. VFT.Energy valuation Function
Valuation Function ID	signed short	-1...32768	benutzte Energie-Bewertungsfunktion

Fig. 17

Energie-Basis-Tabelle: [EBT - Auswertung der energiespezifischen Handlungen]

Spalte: Datentyp Wertebereich Bedeutung:

Energy_action (PK)	number	0..2 ¹²⁸ -1	max. 16 Byte OpCode-Kombination der Energie-Register verändernden Handlung.
Execution counter	byte	0..255	Anzahl der ELT-Einträge bis jetzt
FatalError_counter	byte	0..255	Anzahl der verursachten schweren Fehler: schwere Fehler entsprechen den Spalten 3-7 der Lern-Tabelle, außer wenn Number_of_Exception = Divide-Error oder Overflow.
low Error counter	byte	0..255	Anzahl der Divide-Error oder Overflow -Exceptions
avg Energy after	integer	0..2 ³² -1	mittlerer Energie-Wert nach dieser Handlung
all_Reg_dest_BitCode	number	0..2 ¹²⁸ -1	\exists ELT.Register changed Bitcode \forall ELT(OpCode)
cut_Reg_dest_BitCode	number	0..2 ¹²⁸ -1	ζ ELT.Register changed Bitcode \forall ELT(OpCode)
all_Reg_source_BitCode	number	0..2 ¹²⁸ -1	\exists ELT.Register source Bitcode \forall ELT(OpCode)
cut_Reg_source_BitCode	number	0..2 ¹²⁸ -1	ζ ELT.Register source Bitcode \forall ELT(OpCode)
max Operation BitCode	number	0..2 ¹²⁸ -1	\exists ELT.max Operation BitCode \forall ELT(OpCode)
min Operation BitCode	number	0..2 ¹²⁸ -1	ζ ELT.min Operation BitCode \forall ELT(OpCode)
all Operation BitCode	number	0..2 ¹²⁸ -1	\exists ELT.min Operation BitCode \forall ELT(OpCode)
cut Operation BitCode	number	0..2 ¹²⁸ -1	ζ ELT.max Operation BitCode \forall ELT(OpCode)
max write value	integer	0..2 ³² -1	Maximum aller geschriebenen Energie-Werte
min write value	integer	0..2 ³² -1	Minimum aller geschriebenen Energie-Werte
avg write value	integer	0..2 ³² -1	Mittelwert aller geschriebenen Energie-Werte
max write gradient	integer	0..2 ³² -1	maximale Differenz des geänderten Energie-Werts
min write gradient	integer	0..2 ³² -1	minimale Differenz des geänderten Energie-Werts
avg write gradient	integer	0..2 ³² -1	durchschnittliche Differenz des geänderten Werts
equal value probability	signed byte	-128..127	Wahrscheinlichkeit: Ergebnis immer gleich
avg Energy gradient	signed int	$\pm 2^{31}$	mittlerer Energie-Gradient dieser Handlung
equal Gradient probability	signed byte	-128..127	Wahrscheinlichkeit: Gradient immer gleich
avg cycles of execution	short	1..65535	Ausführungszeit der energiespezifischen Handlung
avg Energy valuation	signed byte	-128..127	Ergebnis der akt. VFT.Energy valuation Function
Valuation Function ID	signed short	-1...32768	benutzte Energie-Bewertungsfunktion

Fig. 18

3.2 Flußdiagramm des KB-Programms:

3.2.1 CxT(i)-Wertezuweisungen:

ORT bzw. CRT(i):

ORT.Register_ID_dest := $\log_2(\text{Bit}(\text{OLT.Register_changed_Mask}), \text{dessen Veränderung hier betrachtet wird})$
ORT.Register_ID_source := Register ID(C°), if ORT.calculation code > 0, sonst -1.
ORT.value before change := value(Register ID dest), vor OpCode-Ausführung.
ORT.value after change := value(Register ID dest), nach OpCode-Ausführung.
ORT.gradient if signed := MAX[MIN[ORT.value after change - ORT.value before change, +127], -128]
ORT.gradient if unsigned := MAX[MIN[ORT.value after change - ORT.value before change, +127], -128]
ORT.Operation_BitCode := $1 \cdot (\text{Flags}' \neq \text{Flags}^\circ) \&\& \vee (V' = V^\circ) \&\& [\text{NF} \&\& (V_1^\circ < 0) \mid \mid \text{ZF} \&\& (V_1^\circ = 0)]$ $+ 2 \cdot [(V_1' = -V_1^\circ) \&\& \vee (V' = V^\circ)] + 4 \cdot [(V_1' = -V_1^\circ) \&\& \vee (V' = V^\circ)] + 8 \cdot [(V_1' = 0 \text{LB}) \&\& \vee (V' = V^\circ)]$ $+ 16 \cdot [(V_1' = V_1^\circ + 0 \text{LB}) \&\& \vee (V' = V^\circ)] + 32 \cdot [(V_1' = V_1^\circ - 0 \text{LB}) \&\& \vee (V' = V^\circ)] + 64 \cdot [(V_1' = V_1^\circ \cdot 0 \text{LB}) \&\& \vee (V' = V^\circ)]$ $+ 128 \cdot [(V_1' = V_1^\circ / 0 \text{LB}) \&\& \vee (V' = V^\circ)] + 256 \cdot [(V_1' = V_1^\circ \% 0 \text{LB}) \&\& \vee (V' = V^\circ)] + 512 \cdot [(V_1' = V_1^\circ \cdot 2^\circ 0 \text{LB}) \&\& \vee (V' = V^\circ)]$ $+ 2^{10} \cdot [(V_1' = V_1^\circ / 2^\circ 0 \text{LB}) \&\& \vee (V' = V^\circ)] + 2^{11} \cdot [(V_1' = V_1^\circ \mid 0 \text{LB}) \&\& \vee (V' = V^\circ)] + 2^{12} \cdot [(V_1' = V_1^\circ \& 0 \text{LB}) \&\& \vee (V' = V^\circ)]$ $+ 2^{13} \cdot (\text{Flags}' \neq \text{Flags}^\circ) \&\& \vee (V' = V^\circ) \&\& [(\text{ZF} = 1) \&\& (2^\circ 0 \text{LB} \mid \sim V^\circ) \mid \mid (\text{ZF} = 0) \&\& (2^\circ 0 \text{LB} \mid V_1^\circ)]$ $+ 2^{14} \cdot (\text{Flags}' \neq \text{Flags}^\circ) \&\& \vee (V' = V^\circ) \&\& [\text{NF} \&\& (V_1^\circ < 0 \text{LB}) \mid \mid \text{ZF} \&\& (V_1^\circ = 0 \text{LB})] + 2^{15} \cdot [(V_1' = C_1^\circ) \&\& \vee (V' = V^\circ)]$ $+ 2^{16} \cdot [(V_1' = V_1^\circ + C_1^\circ) \&\& \vee (V' = V^\circ)] + 2^{17} \cdot [(V_1' = V_1^\circ - C_1^\circ) \&\& \vee (V' = V^\circ)] + 2^{18} \cdot [(V_1' = V_1^\circ \cdot C_1^\circ) \&\& \vee (V' = V^\circ)]$ $+ 2^{19} \cdot [(V_1' = V_1^\circ / C_1^\circ) \&\& \vee (V' = V^\circ)] + 2^{20} \cdot [(V_1' = V_1^\circ \% C_1^\circ) \&\& \vee (V' = V^\circ)] + 2^{21} \cdot [(V_1' = 2^\circ C_1^\circ) \&\& \vee (V' = V^\circ)]$ $+ 2^{22} \cdot [(V_1' = V_1^\circ / 2^\circ C_1^\circ) \&\& \vee (V' = V^\circ)] + 2^{23} \cdot [(V_1' = V_1^\circ \mid C_1^\circ) \&\& \vee (V' = V^\circ)] + 2^{24} \cdot [(V_1' = V_1^\circ \& C_1^\circ) \&\& \vee (V' = V^\circ)]$ $+ 2^{25} \cdot (\text{Flags}' \neq \text{Flags}^\circ) \&\& \vee (V' = V^\circ) \&\& [(\text{ZF} = 1) \&\& (2^\circ C_1^\circ \mid \sim V_1^\circ) \mid \mid (\text{ZF} = 0) \&\& (2^\circ C_1^\circ \mid V_1^\circ)]$ $+ 2^{26} \cdot (\text{Flags}' \neq \text{Flags}^\circ) \&\& \vee (V' = V^\circ) \&\& [\text{NF} \&\& (V_1^\circ < C_1^\circ) \mid \mid \text{ZF} \&\& (V_1^\circ = C_1^\circ)]$ $+ 2^{27} \cdot [(IP' \leq IP^\circ) \mid \mid (IP' > IP^\circ + 4)] \&\& (\text{Flags}' = \text{Flags}^\circ) \&\& \vee (V' = V^\circ)$ $+ 2^{28} \cdot [(IP' \leq IP^\circ) \mid \mid (IP' > IP^\circ + 4)] \&\& (\text{Flags}' = \text{Flags}^\circ) \&\& \vee (V' = V^\circ) \&\& [\text{NF} \&\& \text{VF} \mid \mid \text{NF} \&\& \text{VF}] + \dots \vee \text{Jcc}(\text{CCR})$ $+ 2^{40} \cdot [(IP' \leq IP^\circ) \mid \mid (IP' > IP^\circ + 4)] \&\& (V_1' = V_1^\circ - 1) \mid \mid (V_1' = -1) \&\& (\text{Flags}' = \text{Flags}^\circ) \&\& \vee (V' = V^\circ)$ $+ 2^{41} \cdot [(IP' = IP^\circ \pm 0 \text{LB}) \&\& (SP = IP^\circ) \&\& (\text{Flags}' = \text{Flags}^\circ) \&\& \vee (V' = V^\circ)]$ $+ 2^{42} \cdot [(IP' = -4(SP)) \&\& (\text{Flags}' = \text{Flags}^\circ) \&\& \vee (V' = V^\circ)] + 2^{43} \cdot [(V_1' \neq V_1^\circ) \&\& (I \text{ other_Integer_Operation_BitCode})]$ $+ 2^{44} \cdot [(V_F' \neq V_F^\circ) \&\& (I \text{ other_FloatingPoint_Operation_BitCode})] + 2^{45} \cdot [(\text{CCR-Flags}' = 0) \&\& \vee (V_F' = 0)]$ $+ 2^{46} \cdot [(V_1' = C_F^\circ) \&\& \vee (V' = V^\circ)] + 2^{47} \cdot [(V_F' = C_1^\circ) \&\& \vee (V' = V^\circ)] + 2^{48} \cdot [(V_F' = V_F^\circ + C_1^\circ) \&\& \vee (V' = V^\circ)]$ $+ 2^{49} \cdot [(V_F' = V_F^\circ - C_1^\circ) \&\& \vee (V' = V^\circ)] + 2^{50} \cdot [(V_F' = V_F^\circ \cdot C_1^\circ) \&\& \vee (V' = V^\circ)] + 2^{51} \cdot [(V_F' = V_F^\circ / C_1^\circ) \&\& \vee (V' = V^\circ)]$ $+ 2^{52} \cdot (\text{Flags}' \neq \text{Flags}^\circ) \&\& \vee (V' = V^\circ) \&\& [\text{NF} \&\& (V_F^\circ < C_1^\circ) \mid \mid \text{ZF} \&\& (V_F^\circ = C_1^\circ)]$ $+ 2^{53} \cdot [(V_F' = 1.0) \mid \mid (V_F' = 0.0) \mid \mid (V_F' = \pi) \mid \mid (V_F' = e)] \&\& \vee (V' = V^\circ)$ $+ 2^{54} \cdot [(V_F' = -V_F^\circ) \&\& (V_F^\circ < 0) \&\& \vee (V' = V^\circ)] + 2^{55} \cdot [(V_F' = C_F^\circ) \&\& \vee (V' = V^\circ)]$ $+ 2^{56} \cdot [(V_F' = V_F^\circ + C_F^\circ) \&\& \vee (V' = V^\circ)] + 2^{57} \cdot [(V_F' = V_F^\circ - C_F^\circ) \&\& \vee (V' = V^\circ)]$ $+ 2^{58} \cdot [(V_F' = V_F^\circ \cdot C_F^\circ) \&\& \vee (V' = V^\circ)] + 2^{59} \cdot [(V_F' = V_F^\circ / V_F^\circ) \&\& \vee (V' = V^\circ)] + 2^{60} \cdot [(V_F' \cdot V_F' = V_F^\circ) \&\& \vee (V' = V^\circ)]$ $+ 2^{61} \cdot [(V_F' = \sin(V_F^\circ)) \&\& \vee (V' = V^\circ)] + 2^{62} \cdot [(V_F' = \cos(V_F^\circ)) \&\& \vee (V' = V^\circ)] + 2^{63} \cdot [(V_F' = \text{atan}(V_F^\circ)) \&\& \vee (V' = V^\circ)]$ $+ 2^{64} \cdot [(V_F' = V_F^\circ \cdot 2^\circ V_{F-1}^\circ) \&\& \vee (V' = V^\circ)] + 2^{65} \cdot [(V_F' = V_{F-1}^\circ \cdot \log_2(V_F^\circ) \&\& \vee (V' = V^\circ)]$ $+ 2^{66} \cdot (\text{Flags}' \neq \text{Flags}^\circ) \&\& \vee (V' = V^\circ) \&\& [\text{NF} \&\& (V_F^\circ < C_F^\circ) \mid \mid \text{ZF} \&\& (V_F^\circ = C_F^\circ)] + 2^{67} \cdot [(V_1' = C_s^\circ) \&\& \vee (V' = V^\circ)]$ $+ 2^{68} \cdot [(V_s' = C_1^\circ) \&\& \vee (V' = V^\circ)] + \dots, \text{ mit } V' = \text{value_after_change} (\neg \text{Flags}), V^\circ = \text{value_before_change},$ $C^\circ = \text{value}(\text{Register_ID_source}). \text{ Es muß hierbei über alle Register_ID_source(Art) gechecked werden. Trotz gleichen Register-ID's im PK können mehrere Bits gesetzt werden [z.B. wg.}$ $4 = 2 + 2 = 2^\circ 2 = \text{SHL}(2) = \dots]$

Fig.19

OLT bzw. CLT(i):

OLT.Processor_Mode_Changed := $\lambda [\text{EFlags}' / \text{SR}_L \& \mid \mid 2^\circ \text{CCR_Flags}] > 0 \mid \mid$ ORT.value after change(Register ID eines Spezial-Registers)
OLT.aim_valuation := VFT.Aim_Valuation_Function(SAC.Aim_Valuation_FunctionID, ORT.xxxxx, Registers_changed_BitCode, Registers_source_BitCode, min_Operations_BitCode, max_Operations_BitCode, used_cycles_of_execution, ...)
CLT(n).gradient_aim_valuation := CLT(n).aim_valuation - CLT(n-1).aim_valuation
alle anderen Tabellenfeld-Zuweisungen sind anhand der OLT-Beschreibung in Fig.6 hinreichend erklärt.

Fig.20

OBT bzw. CBT(i):

OBT.Execution_counter := Execution_counter + 1
OBT.FatalError_counter := FatalError_counter + (0 < OLT.Number_of_Exception ≠ Devide_Error, Overflow) OLT.active_ChkSum_corrupt OLT.inactive_ChkSum_corrupt OLT.Exception_vect_changed OLT.Processor_Mode_changed)
OBT.Jump_longOp_probability := MAX[MIN[Jump_probability + (OLT.OpCode_length_or_jump ≤ 0) + (OLT.OpCode_length_or_jump > 4), +127], -128]
OBT.avg_OpCode_jump_length := (execution_counter * avg_OpCode_jump_length + akt.OpCode_jump_length) / (execution_counter + 1)
OBT.OpCode_len_unconfirmed := OpCode_len_unconfirmed (avg_OpCode_length ≠ akt.OpCode_length)
OBT.avg_cycles_of_execution := (execution_counter * avg_cycles_of_execution + akt.cycles_of_execution) / (execution_counter + 1)
OBT.exec_cycles_unconfirmed := exec_cycles_unconfirmed (avg_cycles_of_execution ≠ akt.cycles_of_execution)
OBT.Register_write_probability := MAX[MIN[Register_write_probability + 2 * ((min.Reg.ID ≤ ORT.Column_ID_OLT ≤ max.Reg.ID) && ORT.value_before_change ≠ ORT.value_after_change) - 1, +127], -128]
OBT.Register_copy_probability := MAX[MIN[MIN(Register_copy_probability + 2 * ((min.Reg.ID ≤ ORT.Column_ID_OLT ≤ max.Reg.ID) && ORT.value_before_change ≠ ORT.value_after_change && (min.Reg.ID ≤ ORT.Column_ID_source ≤ max.Reg.ID)) - 1, +127], -128]
OBT.Memory_write_probability := MAX[MIN[Memory_write_probability + 2 * ((min.Adr.Reg.ID ≤ ORT.Column_ID_OLT ≤ max.Adr.Reg.ID) && ORT.value_before_change ≠ ORT.value_after_change) - 1, +127], -128]
OBT.Memory_copy_probability := MAX[MIN[Memory_copy_probability + 2 * ((min.Adr.Reg.ID ≤ ORT.Column_ID_OLT ≤ max.Adr.Reg.ID) && ORT.value_before_change ≠ ORT.value_after_change && (min.Adr.Reg.ID ≤ ORT.Column_ID_source ≤ max.Adr.Reg.ID)) - 1, +127], -128]
OBT.Reg_to_Mem_probability := MAX[MIN[Reg_to_Mem_probability + 2 * ((min.Adr.Reg.ID ≤ ORT.Column_ID_OLT ≤ max.Adr.Reg.ID) && ORT.value_before_change ≠ ORT.value_after_change && (min.Reg.ID ≤ ORT.Column_ID_source ≤ max.Reg.ID)) - 1, +127], -128]
OBT.Mem_to_Reg_probability := MAX[MIN[Mem_to_Reg_probability + 2 * ((min.Reg.ID ≤ ORT.Column_ID_OLT ≤ max.Reg.ID) && ORT.value_before_change ≠ ORT.value_after_change && (min.Adr.Reg.ID ≤ ORT.Column_ID_source ≤ max.Adr.Reg.ID)) - 1, +127], -128]
OBT.Multi_Reg_write_prob := wie bei Register_write_probability, jedoch mit min.2 zutreffenden ORT.Column_ID_OLT -Einträgen.
OBT.Multi_Mem_write_prob := wie bei Memory_write_probability, jedoch mit min.2 zutreffenden ORT.Column_ID_OLT -Einträgen.
OBT.Multi_Reg_to_Mem_prob := wie bei Reg_to_Mem_probability, jedoch mit min.2 zutreffenden ORT.Column_ID_OLT + Column_ID_source -Einträgen.
OBT.Multi_Mem_to_Reg_prob := wie bei Mem_to_Reg_probability, jedoch mit min.2 zutreffenden ORT.Column_ID_OLT + Column_ID_source -Einträgen.
OBT.xxx_Reg_source dest BitCode: siehe Tabellenbeschreibung
OBT.xxx_calculation BitCode: siehe Tabellenbeschreibung
OBT.max_write_value := MAX(max_write_value, ORT.value_after_change)
OBT.min_write_value := MIN(min_write_value, ORT.value_after_change)
OBT.avg_write_value := (execution_counter * avg_write_value + ORT.value_after_change) / (execution_counter + 1)
OBT.max_write_gradient := MAX(max_write_gradient, ORT.value_after_change - ORT.value_before_change)
OBT.min_write_gradient := MIN(min_write_gradient, ORT.value_after_change - ORT.value_before_change)
OBT.avg_write_gradient := (execution_counter * avg_write_gradient + ORT.value_after_change - ORT.value_before_change) / (execution_counter + 1)
OBT.evaluated_source [Num]Register := Wahrscheinlichkeitsfunktion(xxx_Reg_source_BitCode, confirmation_counter)

$OBT.evaluated_dest_Register[2] := Wahrscheinlichkeitsfunktion(xxx_Reg_dest_BitCode, confirm.ctr.)$
$OBT.evaluated_Operation_ID := Wahrscheinlichkeitsfunktion(xxx_Operation_BitCode, confirm.ctr.)$
$OBT.Confirmation_counter := Confirmation_counter + exist(\text{äquivalenter OLT+ORTs-Eintrag mit niedrigerer IniConNr})$
$OBT.max_aim_valuation := MAX(max_aim_valuation, OLT.aim_valuation)$
$OBT.avg_aim_valuation := (execution_counter * avg_aim_valuation + OLT.aim_valuation) / (execution_counter + 1)$
$CBT(n).max_grad_aim_valuation := MAX(CBT(n).max_aim_valuation, CLT(n).aim_valuation) - CBT(n-1).max_aim_valuation.$
$CBT(n).avg_grad_aim_valuation := (execution_counter * CBT(n).avg_aim_valuation + CLT(n).aim_valuation) / (execution_counter + 1) - CBT(n-1).avg_grad_aim_valuation$

Fig.21

3.2.2 ELT und EBT -Wertezuweisungen:

$ELT.max_Operations_BitCode := OLT.max_Operations_OpCode$
$ELT.min_Operations_BitCode := OLT.min_Operations_OpCode$
$ELT.Register_changed_BitCode := OLT.Registers_changed_BitCode$
$ELT.Register_source_BitCode := OLT.Registers_source_BitCode$
$ELT.Energy_Valuation := VFT.Energy_valuation_Function(SAC.Energy_Valuation_FunctionID, Energy_after, Energy_before, Registers_changed_BitCode, Registers_source_BitCode, min_Operations_BitCode, max_Operations_BitCode, used_cycles_of_execution, ...)$
$ELT.Valuation_Function_ID := zur\ Berechnung\ von\ Energy_Valuation\ benutzte\ VFT.Valuation\ Function\ ID$
$EBT.avg_Energy_after := (execution_counter * avg_Energy_after + ELT.Energy_after) / (execution_counter + 1)$
$EBT.equal_value_probability := equal_value_probability + 2 * (avg_Energy_after = ELT.Energy_after) - 1$
$EBT.avg_Energy_gradient := (execution_counter * avg_Energy_gradient + ELT.Energy_after - ELT.Energy_before) / (execution_counter + 1)$
$EBT.equal_gradient_probability := equal_gradient_probability + 2 * (avg_Energy_gradient = ELT.Energy_after - ELT.Energy_before) - 1$
$EBT.xxx_Operations Registers_BitCode\ siehe\ Tabellenbeschreibung$
$EBT.avg_cycles_of_execution := (execution_counter * avg_cycles_of_execution + ELT.used_cycles_of_execution) / (execution_counter + 1)$
$EBT.avg_Energy_Valuation := (execution_counter * avg_Energy_Valuation + ELT.Energy_valuation) / (execution_counter + 1)$

Fig.22

3.2.3 Definitionen zum Lesen des Flußdiagramms:

- Anweisungen** kennzeichnet eine Anweisung oder eine Anweisungsfolge.
- Bedingung erfüllt ?** JA: verzweigt horizontal, NEIN: unten weiter.
- CodeFortführung** kennzeichnet eine Sprung-Marke zu bzw. von einem anderen Teil des Flußdiagramms.
- Anweisungs-Block** kennzeichnet einen Block bereits vorher definierter Anweisungen.

Im Flußdiagramm sind aufgrund der Aufwendigkeit nicht alle Details akribisch beschrieben, jedoch ist die Grundlage der Funktionsweise klar und verständlich dargelegt. Selbstverständliche Dinge, wie Cursor-Close, oder das mitfüllen nicht explizit erwähnter, aber vorhandener und keinen besonderen Algorithmus benötigender Tabellenfelder, gilt als selbstverständlich angenommen, da die Bedeutung der Tabellenfelder bereits unter 3.1.2 erklärt ist und deren Zuweisungen unter 3.2.1 bzw. 3.2.2.

Im Flußdiagramm bedeutet "Eintrag in der ORT generieren und OBT aktualisieren" einen Verweis auf die Wertzuweisungsalgorithmen in Fig.19-21.

Fig.23

3.2.5 KB-Flußdiagramm:

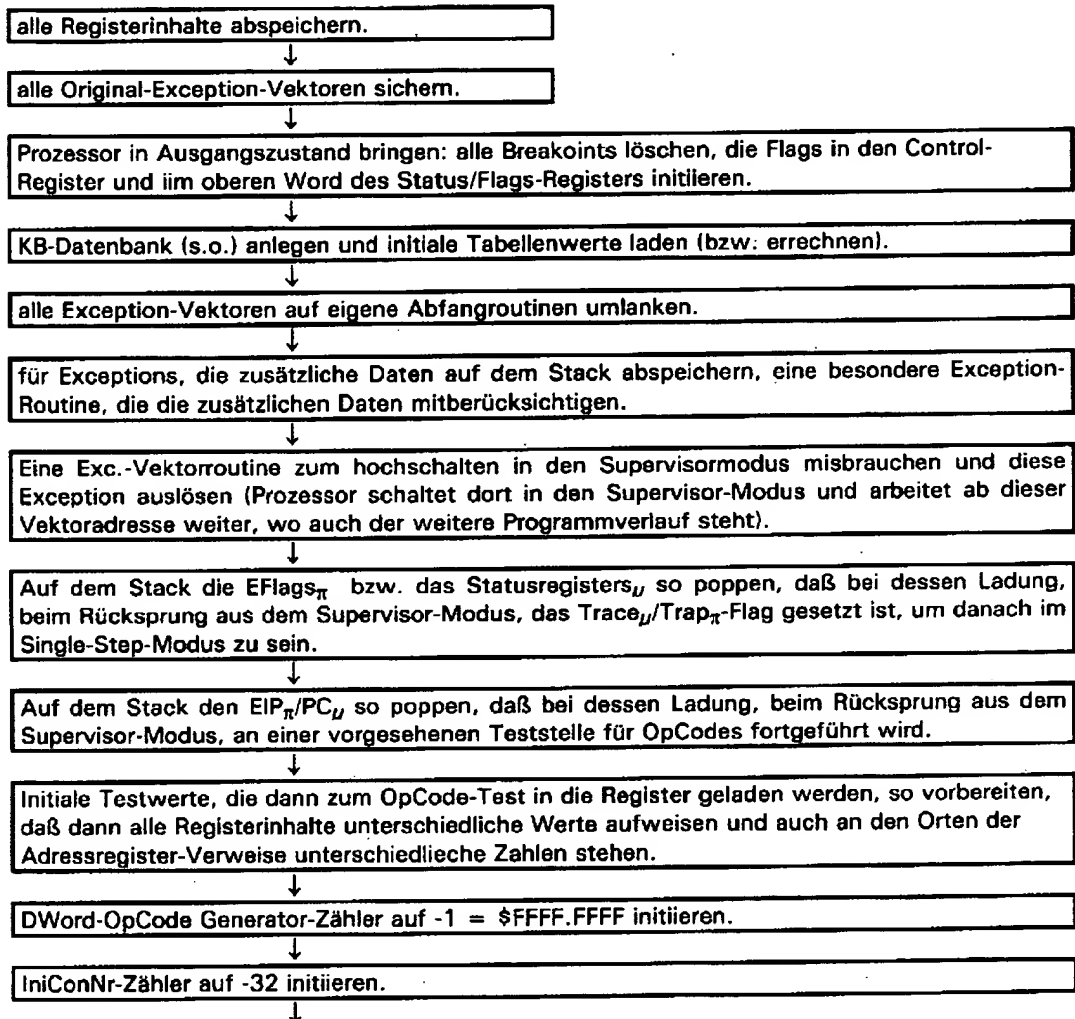
a.) Initiale Vorbereitungen:

Fig.24a

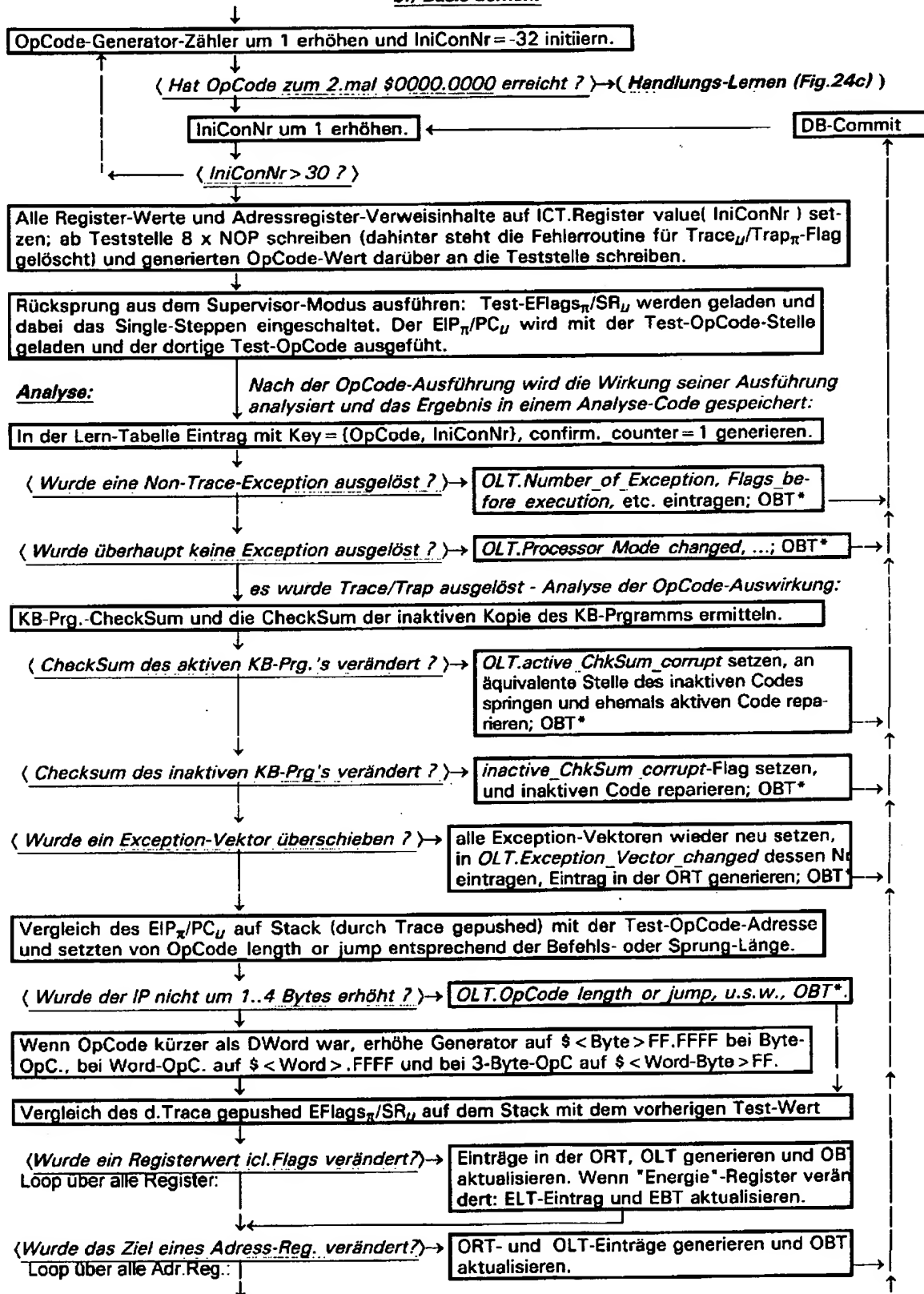
b.) Basis-Lernen:

Fig. 24b

c.) Doppel-OpCode-Handeln:

(Beginn Doppel-OpCode-Handeln [nach Ende Basis-Lernen - Fig.24b])

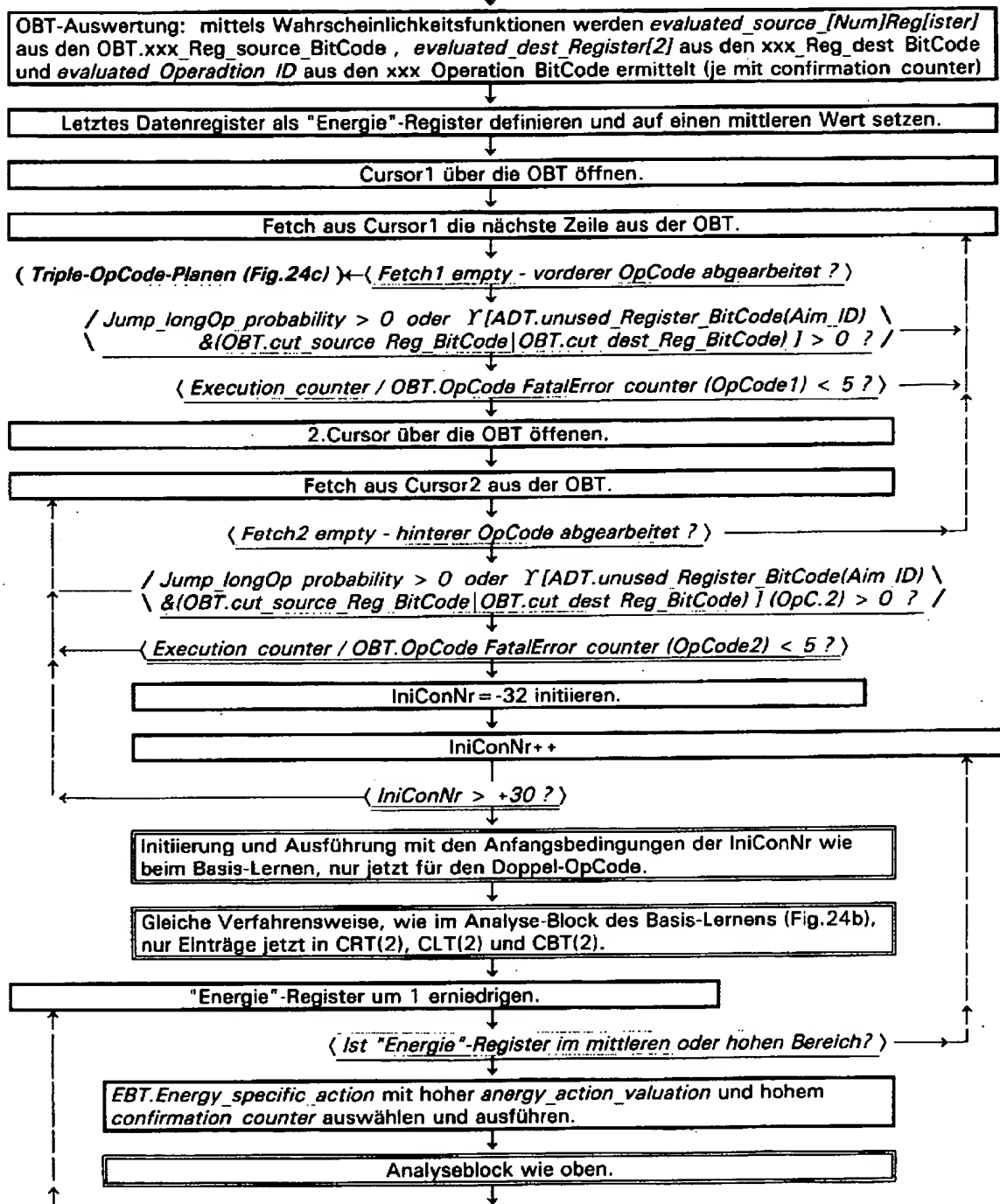


Fig.24c

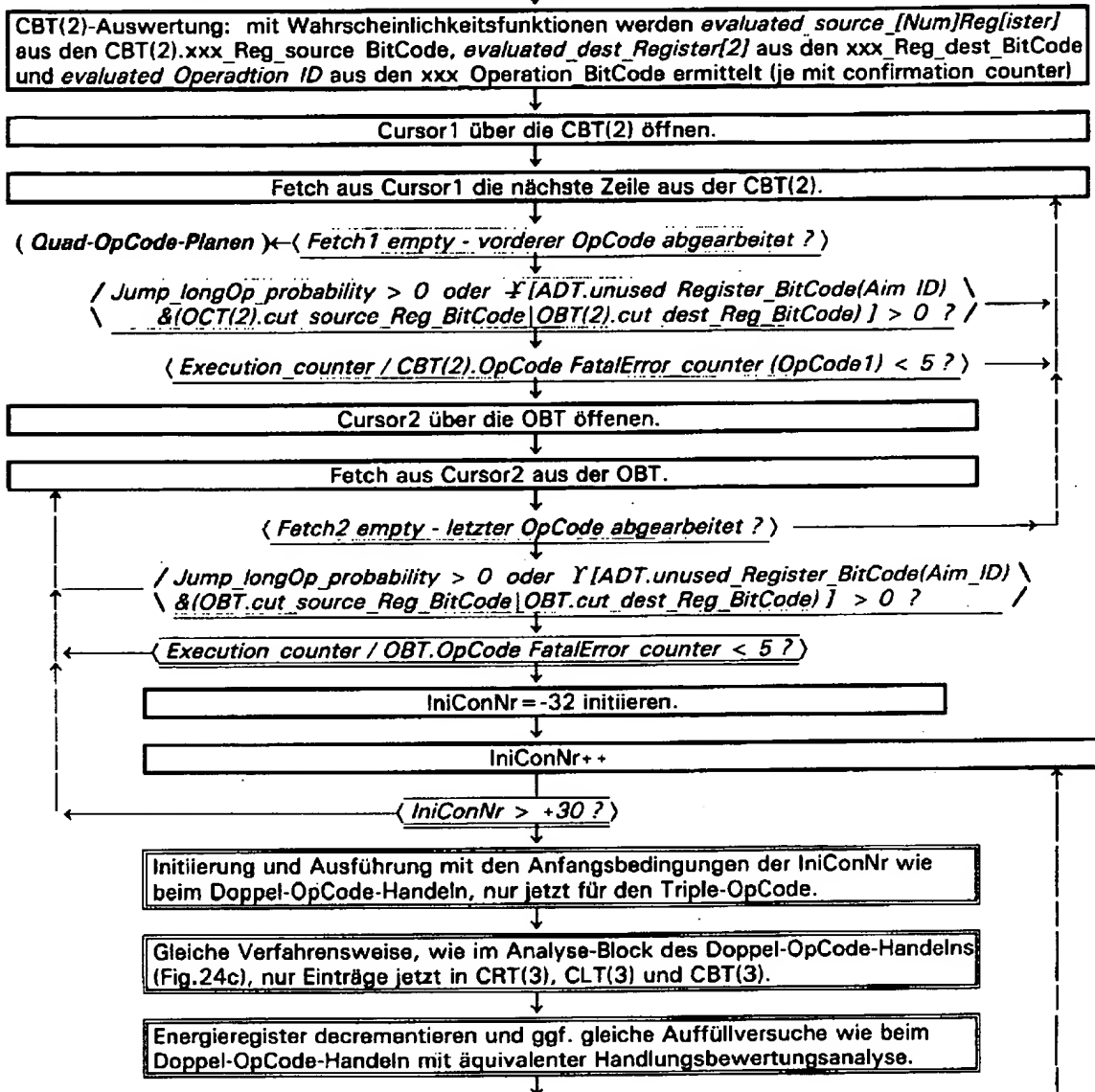
d.) Triple-OpCode-Planen:(Beginn Triple-OpCode-Planen (nach Ende Doppel-OpCode-Handeln - s.o.))

Fig.24d

Verfahrensweise für höhere Kombinationen analog, mit CxT(n).

Korrektur-Historie der Patentanmeldung:

→DPMA	Abschn.	Seite:	Zeile:	Ort:	alter Text:	Änderung:
24.5.00	2.	16	oben	PatA	Hauptanspruch 1	gesplittet in provisorische Hauptansprüche 0 und 1
31.8.00	1.3.2.11	7	29,30	ADT	letzter Halbsatz der ADT-Beschreibung erweitert:	"... , sowie eine Identifikation der Ziel-Annäherungsfunktion der VFT (u.a. aim_fulfilled_Flag_Function abhängig), die die Zielnähe der akt. OpCode-Kombination (=CPT-PK) bewertet."
31.8.00	1.3.4.2	9	45	b.)	"(je Test-OpCode-Speicherstelle)"	"(je ohne Test-OpCode-Speicherstelle)" ["ohne" fehlte]
31.8.00	1.3.4.2	10	14	e.)	"Beim Vergleich ..."	"Vergleich ..."
31.8.00	1.3.7.1	11	33	VFT	"..._Chain), die einen signed-byte Wert, ..."	"..._Chain), liefert einen signed-byte Wert, ..."
31.8.00	3.1.2	Z-5	unter Fig.5	<input type="checkbox"/>	Kästchen unter Fig.6	Den Inhalt vom erläuternden Kästchen unter Fig.6 in das erläuternde Kästchen zwischen Fig.5 und Fig.6 mit aufgenommen.
31.8.00	3.1.2	Z-8	Fig.12	Tab. ADT	Zeilen 4+5	die Worte "Eingabe-" und "Ausgabe-" waren vertauscht (also jetzt Zeile 4 mit "Eingabe-" und Zeile 5 mit "Ausgabe-")
31.8.00	3.1.2			Tab.:	je letzte Tabellen-Zeile:	je letzte Tabellen-Zeile: Beschreibung-Änderung nur bei ADT:
		Z-8	Fig.11	AST	Datentyp: Wertebereiche:	Datentyp: Wertebereiche:
			Fig.12	ADT	"short" "0..65536"	"signed short" "0..32767"
		Z-12	Fig.17	ELT	"varchar2" "<99 Bytes"	"signed short" "0..32767" 'Identifier der Zielnähe-Bewertungs-Funktion aus VFT
			Fig.18	EBT	"byte" "0..255"	"signed short" "-1..-32768"
					"byte" "0..255"	"signed short" "-1..-32768"
31.8.00	3.2.5	Z-19	Fig.24d	1.Blk	2 x "OBT"	2 x "CBT(2)"
14.9.00	2.	16	alle	PatA	Patentansprüche	Patentanwalt Weber ändert Patentansprüche
7.11.00	1.3.2.9	7	12	oben	"CBT(i)"	"CLT(i)" ["L" statt "B"]
7.11.00	3.1.2	Z-6	Fig.7	unten	"(KBT)"	"[CBT(i-1)]" [vorletzte Zeile, Bedeutungs-Spalte, letztes Wort korrigiert]
7.11.00	3.2.5	Z-19	Fig.24d	mitte	"letzter"	"letzter" [ein "r" am Schluß war zuviel]